

3  
29



UNIVERSIDAD NACIONAL AUTÓNOMA  
DE MEXICO

FACULTAD DE CIENCIAS

CATEGORIAS DERIVADAS DE ALGEBRAS  
DE DIMENSION FINITA.

T E S I S  
Que para obtener el Titulo de  
M A T E M A T I C O  
P r e s e n t a  
CARRILLO PACHECO JESUS



México, D. F. 1990



## **UNAM – Dirección General de Bibliotecas Tesis Digitales Restricciones de uso**

### **DERECHOS RESERVADOS © PROHIBIDA SU REPRODUCCIÓN TOTAL O PARCIAL**

Todo el material contenido en esta tesis está protegido por la Ley Federal del Derecho de Autor (LFDA) de los Estados Unidos Mexicanos (México).

El uso de imágenes, fragmentos de videos, y demás material que sea objeto de protección de los derechos de autor, será exclusivamente para fines educativos e informativos y deberá citar la fuente donde la obtuvo mencionando el autor o autores. Cualquier uso distinto como el lucro, reproducción, edición o modificación, será perseguido y sancionado por el respectivo titular de los Derechos de Autor.

# TESIS CON FALLA DE ORIGEN

# INTRODUCCION.

## Categorías Derivadas de álgebras de dimensión finita.

Este trabajo tiene como finalidad dar una introducción autocontenida del concepto de categoría derivada y de las aplicaciones que ha encontrado recientemente esta teoría en Representaciones de Álgebras.

El concepto de categoría derivada fue sugerido por Brothendick. El desarrollo axiomático del concepto de categoría triangulada y las localizaciones de ellas (en particular, las categorías derivadas) fue dado en Verdier [V] y casi independientemente por Hartshorne [H].

En el capítulo I se introduce axiomáticamente al concepto de categoría triangulada. Ejemplos importantes de categorías trianguladas son: la categoría de complejos acotados  $K^b(\mathcal{A})$  donde  $\mathcal{A}$  es una categoría abeliana, dada una categoría triangulada  $\mathcal{C}$  y un sistema multiplicativo  $S$  compatible con la triangulación, la localización  $\mathcal{C}_S$  es también categoría triangulada. El ejemplo más importante es el de categoría derivada  $D^b(\mathcal{A})$  que se obtiene como la localización  $K^b(\mathcal{A})_S$  donde  $S$  es el conjunto de casi-isomorfismos en  $K^b(\mathcal{A})$ .

Como categoría abeliana  $\mathcal{A}$  podemos elegir la categoría de  $A$ -mod de  $A$ -módulos izquierdos sobre una  $k$ -álgebra de dimensión finita  $A$ . Nuestro principal objeto de estudio será la categoría derivada  $D^b(A) = D^b(A\text{-mod})$ .

Sea  $A$  una  $k$ -álgebra de dimensión finita básica e indecomponible y supongamos que el campo  $k$  es algebraicamente cerrado. En el capítulo II se estudia la categoría derivada  $D^b(A)$  desde el punto de vista de la

teoría de Representaciones de Algebras. Estas consideraciones fueron recientemente desarrolladas principalmente en el trabajo de Happel [H], [H4].

Se demostrará que la categoría  $D^b(A)$  tiene triángulos de Auslander-Reiten. Con ello pueda definirse el carcaj de Auslander-Reiten  $\Gamma(D^b(A))$  asociado a la categoría derivada  $D^b(A)$ . Para un álgebra hereditaria  $A$ , se describe completamente el carcaj  $\Gamma(D^b(A))$ .

El punto central del trabajo es la relación de las categorías derivadas  $D^b(A)$  con la teoría de tilteo (ver [R6]).

El principal resultado muestra que un álgebra de dimensión global finita  $B$  tiene una categoría derivada  $D^b(B)$  que es equivalente triangular a la categoría derivada  $D^b(A)$  de una  $k$ -álgebra hereditaria  $A$  de tipo Dynkin si y solamente si existe una familia de álgebras  $A=A_0, A_1, \dots, A_n=B$  y módulos de tilteo  $A_i M_i$  de forma que  $A_{i+1} = \text{End}_{A_i}(M_i)$  y la teoría de torsión en  $A_{i+1}$ -mod asociada se ascinda. Esto a su vez es equivalente a la existencia de una isometría entre grupos de Brothandiack  $K_0(A)$  y  $K_0(B)$ .

El capítulo I está basado en los trabajos de Hartshorne Verdier [V]. El capítulo II en el trabajo de Happel [H], salvo el teorema principal cuyo contenido se prueba parcialmente en los artículos [H3] y [H].

Nuestra aportación consiste en dar pruebas completas autocontenidas de todos los resultados.

Los conceptos elementales de álgebras que usamos pueden consultarse en [G2] o [R2]. Sobre álgebra homológica pueden verse [R2] y sobre teoría de representaciones de álgebras [R6].

encuentra dividida entre los trabajos [H], [H3]  
(ver también [H4]).

Teorema: Sea  $A$  una  $k$ -álgebra de dimensión finita  
y  $\delta^0$  un carcaj de tipo Dynkin. Las siguientes  
afirmaciones son equivalentes:

- i)  $D(A)$  es equivalente triangular a  $D^*(k\delta^0)$
- ii)  $A$  es un álgebra Dynkin de tipo  $\delta^0$ .
- iii)  $A$  es una  $\delta^0$ -álgebra raíz simplemente conexa
- iv)  $A$  es un álgebra iterada de tildeo de tipo  $\delta^0$
- v)  $A$  y  $k\delta^0$  son equivalentes por tildeo.

Los conceptos necesarios para la comprensión del teo-  
rama se encuentran también desarrollados en este capí-  
tulo.

## § 1. Categorías trianguladas.

1.1 Sea  $C$  una categoría aditiva. Sea  $T: C \rightarrow C$  un isomorfismo aditivo. Diremos que  $T$  es una traslación. El inverso de  $T$  se denotará por  $T^{-1}$ .

Decimos que  $(X, Y, Z, u, v, w)$  es una séxtupla en  $C$  si  $X, Y, Z$  están en  $Ob C$  y  $u, v, w$  son morfismos  $X \xrightarrow{u} Y \xrightarrow{v} Z \xrightarrow{w} TX$  en  $C$ .

Un morfismo de séxtuplas de  $(X, Y, Z, u, v, w)$  a  $(X', Y', Z', u', v', w')$  es una terna  $(f, g, h)$  de morfismos de  $C$  tal que el siguiente diagrama conmuta:

$$\begin{array}{ccccccc}
 X & \xrightarrow{u} & Y & \xrightarrow{v} & Z & \xrightarrow{w} & TX \\
 f \downarrow & & g \downarrow & & h \downarrow & & Tf \downarrow \\
 X' & \xrightarrow{u'} & Y' & \xrightarrow{v'} & Z' & \xrightarrow{w'} & TX'
 \end{array}$$

Una categoría triangulada es una terna  $(C, T, \mathcal{T})$  donde:

- $C$  es categoría aditiva
- $T$  es una traslación
- $\mathcal{T}$  es una colección de séxtuplas llamadas triángulos sujetas a las siguientes axiomas:

Un triángulo  $(X, Y, Z, u, v, w)$  también se denota por

$$\begin{array}{ccc}
 & Z & \\
 w \swarrow & & \nwarrow v \\
 X & \xrightarrow{u} & Y
 \end{array}$$



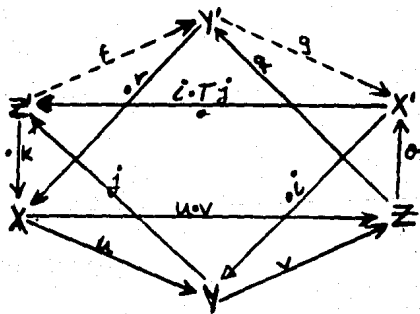
El punto sobre la flecha  $z \rightarrow x$  significa que un realidad termina en  $Tx$ .

(TR1) Cada séptupla  $(x, y, z, u, v, w)$  isomorfa a un triángulo es un triángulo. Cada morfismo  $u: x \rightarrow y$  forma parte de un triángulo  $(x, y, z, u, v, w)$ . La séptupla  $(x, x, 0, \text{Id}_x, 0, 0)$  es un triángulo.

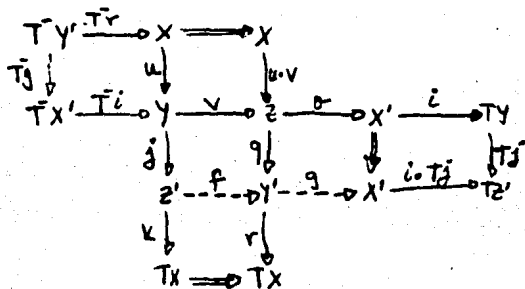
(TR2)  $(x, y, z, u, v, w)$  es un triángulo si y sólo si  $(y, z, Tx, v, w, -Tu)$  es un triángulo.

(TR3) Dados dos triángulos  $(x, y, z, u, v, w)$  y  $(x', y', z', u', v', w')$  y morfismos  $f: x \rightarrow x'$  y  $g: y \rightarrow y'$  tales que  $u'g = f \circ u$ , existe un morfismo  $h: z \rightarrow z'$  (no necesariamente único) tal que  $(f, g, h): (x, y, z, u, v, w) \rightarrow (x', y', z', u', v', w')$  es un morfismo de triángulos.

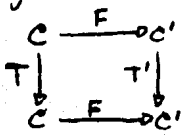
(TR4) (Axioma del octaedro).



entonces existen morfismos  $f: z' \rightarrow y'$  y  $g: y' \rightarrow x'$  tal que  $(z', y', x', f, g, i, r_j)$  es un triángulo y hacen conmutar el siguiente diagrama.



1.2.2 Sean  $C := (C, T, J)$  y  $C' := (C', T', J')$  dos categorías trianguladas. Sea  $F: C \rightarrow C'$  un funtor aditivo tal que el siguiente diagrama conmuta.



Se dice que  $F: C \rightarrow C'$  es un 2-functor si manda triángulos en triángulos (i.e. la séptupla  $(FX, FY, FZ, Fu, Fv, Fw)$  es un triángulo en  $C'$  si  $(X, Y, Z, u, v, w)$  es un triángulo en  $C$ .)

Un funtor aditivo contravariante  $F: C \rightarrow C'$  es un 2-functor si  $TF = FT^{-1}$  y para cada triángulo  $(X, Y, Z, u, v, w)$  la séptupla  $(T^{-1}FX, FZ, FY, Fw, Fv, Fu)$  es un triángulo en  $J'$ .

c) Sean  $(x, y, z, u, v, w)$  y  $(x', y', z', u', v', w')$  triángulos en  $\mathcal{J}$ .  
 Sea  $(f, g, h): (x, y, z, u, v, w) \rightarrow (x', y', z', u', v', w')$  un morfismo de triángulos. Entonces si  $f$  y  $g$  son isomorfismos, también lo es  $h$ .

### Demostración

a) Sea  $(x, y, z, u, v, w)$  un triángulo, probaremos que  $u \cdot v = 0$ .

Por (TR1)  $(x, x, 0, \text{Id}_x, 0, 0)$  es un triángulo. Por (TR3) exista un morfismo  $h: 0 \rightarrow z$  tal que la terna  $(\text{Id}_x, u, h): (x, x, 0, \text{Id}_x, 0, 0) \rightarrow (x, y, z, u, v, w)$  es morfismo, esto es, el siguiente diagrama conmuta:

$$\begin{array}{ccccccc}
 X & \xrightarrow{\text{Id}_x} & X & \longrightarrow & 0 & \longrightarrow & TX \\
 \text{Id}_x \downarrow & & u \downarrow & & h \downarrow & & \text{Id}_u \downarrow \\
 X & \xrightarrow{u} & Y & \xrightarrow{v} & Z & \xrightarrow{w} & TX
 \end{array}$$

Se sigue que  $u \cdot v = 0$ . Análogamente, por (TR2)  $(y, z, TX, v, w, -Tu)$  es triángulo, luego  $v \cdot w = 0$

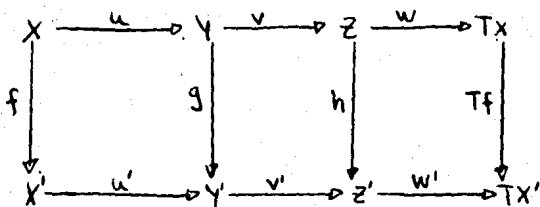
b) Sea  $M$  un  $\text{Ob } \mathcal{C}$  y sea  $(x, y, z, u, v, w)$  un triángulo. Para demostrar que  $\text{Hom}_{\mathcal{C}}(M, -)$  es un funtor cohomológico, por (TR2) es suficiente demostrar que la sucesión

$$\text{Hom}_{\mathcal{C}}(M, x) \xrightarrow{u_*} \text{Hom}_{\mathcal{C}}(M, y) \xrightarrow{v_*} \text{Hom}_{\mathcal{C}}(M, z)$$

es exacta (donde  $u_* = \text{Hom}_{\mathcal{C}}(M, u)$ , etc.)

Por el inciso (a) sabemos que la composición es cero. Por tanto supongamos que  $g \in \text{Hom}_R(M, Y)$  es tal que  $\forall (g) = g \cdot v = 0$ . Aplicando el axioma (TR3) y el (TR2) a los triángulos  $(M, M, 0, \text{Id}_M, 0, 0)$  y  $(X, Y, Z, u, v, w)$  y los morfismos  $g: M \rightarrow Y$  y  $0: 0 \rightarrow Z$ ; concluimos que exista  $f: M \rightarrow X$  tal que  $f \cdot u = g$ . Una prueba similar demuestra que  $\text{Hom}_R(-, M)$  es un funtor cohomológico.

c) Sean  $(X, Y, Z, u, v, w)$  y  $(X', Y', Z', u', v', w')$  triángulos y supongamos que el siguiente diagrama conmuta:



Aplicando al funtor cohomológico  $\text{Hom}_R(Z', -)$  al diagrama anterior obtenemos el siguiente diagrama conmutativo:

$$\begin{array}{ccccccccc}
 \text{Hom}_{\mathbb{C}}(z', x) & \xrightarrow{u_*} & \text{Hom}_{\mathbb{C}}(z', y) & \xrightarrow{v_*} & \text{Hom}_{\mathbb{C}}(z', z) & \xrightarrow{w_*} & \text{Hom}_{\mathbb{C}}(z', Tx) & \xrightarrow{(Tu)_*} & \text{Hom}_{\mathbb{C}}(z', Ty) \\
 f_* \downarrow & & g_* \downarrow & & h_* \downarrow & & (Tf)_* \downarrow & & (Tg)_* \downarrow \\
 \text{Hom}_{\mathbb{C}}(z', x') & \xrightarrow{u'_*} & \text{Hom}_{\mathbb{C}}(z', y') & \xrightarrow{v'_*} & \text{Hom}_{\mathbb{C}}(z', z') & \xrightarrow{w'_*} & \text{Hom}_{\mathbb{C}}(z', Tx') & \xrightarrow{(Tu')_*} & \text{Hom}_{\mathbb{C}}(z', Ty')
 \end{array}$$

(donde  $f_* := \text{Hom}_{\mathbb{C}}(z', f)$ , etc.). Ahora, dado que  $f$  y  $g$  son isomorfismos en  $\mathbb{C}$ , se sigue que  $f_*$ ,  $g_*$ ,  $(Tf)_*$ ,  $(Tg)_*$  son isomorfismos de grupos abelianos. De aquí, por el lema del cinco  $h_*$  es isomorfismo; concluimos que exista  $\varphi \in \text{Hom}_{\mathbb{C}}(z', z)$  tal que  $h_*(\varphi) = \varphi'_* h = \text{Id}_{z'}$ . Similarmente, usando el funtor cohomológico  $\text{Hom}_{\mathbb{C}}(-, z')$ , encontramos que exista un  $\psi \in \text{Hom}_{\mathbb{C}}(z, z')$  tal que  $h_* \psi = \text{Id}_z$ . Se sigue que  $h$  es un isomorfismo.

1.3 Sea  $\mathbb{C} = (\mathcal{C}, T, \mathcal{J})$  una categoría triangulada. Se dice que  $\mathbb{D} = (\mathcal{D}, T', \mathcal{J}')$  es subcategoría triangulada de  $\mathbb{C}$  si  $\mathcal{D}$  es categoría triangulada y el funtor inclusión  $i: \mathcal{D} \rightarrow \mathcal{C}$  es un  $\mathcal{J}$ -functor.

Observación: Sea  $\mathbb{C} = (\mathcal{C}, T, \mathcal{J})$  una categoría triangulada y  $\mathcal{D}$  una subcategoría aditiva de  $\mathcal{C}$  tal que:

- 1)  $\mathcal{D}$  es subcategoría plana de  $\mathcal{C}$ ;
- 2)  $\mathcal{D}$  es T-invariante (i.e.  $T\mathcal{D} = \mathcal{D}$ );
- 3) cada morfismo  $u: x \rightarrow y$  en  $\mathcal{D}$  forma parte de un triángulo  $(x, y, z, u, v, w) \in \mathcal{J}$  con  $z \in \text{Ob } \mathcal{D}$ .

Entonces  $\mathcal{D}$  hereda de  $\mathcal{C}$  una estructura  $(\mathcal{D}, T', \mathcal{J}')$  de subcategoría triangulada donde:  $T'$  es la restricción de  $T$  a  $\mathcal{D}$  y  $\mathcal{J}' = \{(x, y, z, u, v, w) \in \mathcal{J} \mid x, y, z \in \mathcal{D}\}$ .

## §2 $K(A)$ es categoría triangulada.

Sea  $A$  una categoría aditiva. En esta sección construiremos la categoría de complejos módulo homotopía  $K(A)$  y las subcategorías planas de  $K(A)$ ,  $K^+(A)$ ,  $K^-(A)$  y  $K^b(A)$  que juegan un papel importante en la construcción de las categorías derivadas.

2.1 Sea  $A$  una categoría aditiva.

Un complejo  $X := (X^n, \partial_x^n)$  con  $n \in \mathbb{Z}$  es una colección de objetos  $\{X^n\}_{n \in \mathbb{Z}}$  de  $A$ , y una colección de morfismos  $\{\partial_x^n: X^n \rightarrow X^{n-1}\}_{n \in \mathbb{Z}}$  tal que  $\partial_x^n \circ \partial_x^{n+1} = 0$  para todo  $n \in \mathbb{Z}$ .

Los morfismos  $\partial_x^n$  se denominan operadores frontera. Un complejo también lo representamos por diagramas de la siguiente forma:

$$X: \cdots \rightarrow X^n \xrightarrow{\partial_x^n} X^{n-1} \rightarrow \cdots \rightarrow X^1 \xrightarrow{\partial_x^1} X^0 \rightarrow \cdots$$

Un morfismo  $f: X \rightarrow Y$  entre complejos  $X$  y  $Y$  es una familia  $f := \{f^n: X^n \rightarrow Y^n\}_{n \in \mathbb{Z}}$  de morfismos en  $A$  tal que  $\partial_y^n \circ f^n = f^{n-1} \circ \partial_x^n$  para todo  $n \in \mathbb{Z}$ .

La colección de complejos y morfismos de complejos forman una categoría aditiva que denotamos por  $C(A)$ . Denotamos por  $\text{Hom}_A(X, Y)$  la colección de morfismos de  $X$  a  $Y$  en  $C(A)$ .

Dos morfismos  $f, g: X \rightarrow Y$  en  $C(A)$ , son homotópicos si existe una colección de morfismos

$$\{k^n: X^n \rightarrow Y^{n-1}\}_{n \in \mathbb{Z}}$$

tal que satisfacen las siguientes relaciones:

$$f^n - g^n = k^n \circ \partial_y^{n-1} + \partial_x^n \circ k^{n+1} \text{ para todo } n \in \mathbb{Z}.$$

cual es su inverso. El functor  $T$  será nuestra trans-  
 lación en  $k(A)$ .  $T^i$  denotará la composición de  $i$ -veces  
 al functor  $T$ .  $T$  se restringe de manera obvia a  
 automorfismos  $T: k^+(A) \rightarrow k^+(A)$ ,  $T: k^-(A) \rightarrow k^-(A)$  y  
 $T: k^0(A) \rightarrow k^0(A)$ .

2.1.1 Dado un morfismo  $u: X' \rightarrow Y'$  en  $C(A)$  se de-  
 fine el cono de  $u$  como el complejo

$$C'(u) = (C'u)^p, \partial_{C'u}^p$$

donde

$$C'(u)^p := (TX')^p \oplus Y'^p$$

$$y \quad \partial_{C'u}^p := \begin{pmatrix} (TX')^p & (TY')^p \\ 0 & \partial_{Y'}^p \end{pmatrix}$$

Dado un morfismo  $u: X' \rightarrow Y'$  en  $C(A)$  y su  
 cono existen morfismos  $v_u: Y' \rightarrow C'u$  y  
 $w_u: C'u \rightarrow TX'$  dados por  $v_u(b) = (a, b)$  y  $w_u(a, b) = a$   
 respectivamente.

2.1.2 Las sextuplas isomorfas en  $k(A)$  a sextuplas  
 de la forma  $(X', Y', C'(u), u, v_u, w_u)$  (con  $u, v_u, w_u$  de-  
 finidos como antes) serán nuestros triángulos  
 en  $C'(A)$ . Denotemos por  $\Delta u$  a los triángulos  
 $(X', Y', C'(u), u, v_u, w_u)$ . Denotemos este conjunto por  $\mathcal{T}_{u,1}$   
 o simplemente por  $\mathcal{T}$  cuando no exista ambigüedad.

Teorema :  $(k(A), T, \mathcal{T}_{u,1})$  es una categoría  
 triangulada.

La demostración nos ocupa el resto de esta sec-  
 ción.

2.2 Sea  $Z' \in C(A)$  que satisfaga  $Z^i = 0$  para  $i < 0$ . Denotemos por  $Z'$  el complejo truncado asociado a  $Z'$  que se define por  $Z'^i = 0$  para  $i \leq 0$  y  $Z'^i = Z^i$  para  $i > 0$  y  $\partial_{Z'}^i = \partial_{Z^i}$  para  $i \geq 1$ .

2.2.1 Existe una inmersión plana de  $A$  en  $C(A)$  que asigna a cada objeto  $X$  un complejo concentrado a nivel cero y a cada morfismo  $f \in \text{Hom}_A(X, Y)$  en un morfismo  $\bar{f}$  en  $C(A)$  tal que  $\bar{f}^i = 0$  si  $i \neq 0$  y  $\bar{f}^0 = f$  (que también denotamos  $X$  y  $f$  respectivamente). Esta inmersión la denotamos por  $\bar{\cdot}$ . Luego, un complejo concentrado a nivel  $i$  es de la forma  $T^i X$  con  $X$  en  $A$ . Un complejo concentrado a nivel cero también lo denotamos por  $X$ .

2.2.2 Sea  $X' = (X^n, \partial_{X'}^n)_{n \in \mathbb{Z}} \in C(A)$  con  $X^n = 0$  si  $n < 0$  y  $X^0 \neq 0$ . Definimos el morfismo inducido por  $\partial_{X'}^0$ , como el morfismo de complejos

$$\begin{aligned} \bar{\partial}_{X'}^0 : T^0 X' &\longrightarrow X' && \text{tal que} \\ (\bar{\partial}_{X'}^0)^n &= 0 && \text{si } n \neq 1 \\ \text{y } (\bar{\partial}_{X'}^0)^1 &= \partial_{X'}^0 && \text{si } n = 1 \end{aligned}$$

Al triángulo  $(T^0 X', X', c(\bar{\partial}_{X'}^0), \bar{\partial}_{X'}, \nu_{\bar{\partial}_{X'}^0}, \omega_{\bar{\partial}_{X'}^0})$  la llamaremos triángulo inducido por  $\partial_{X'}^0$ .

Lema: Los complejos  $C(\bar{\partial}_{X'}^0)$  y  $Z'$  son isomorfos.

Demostración

Consideraremos al siguiente isomorfismo de complejos.



Sea  $(a, b) \in X^{i+1} \oplus X^i$ . Entonces

$$(a, b) \begin{pmatrix} -\partial_x^{i+1} & \text{Id}_{X^{i+1}} \\ 0 & \partial_x^i \end{pmatrix} \begin{pmatrix} 0 & 0 \\ \text{Id}_{X^{i+1}} & 0 \end{pmatrix} = (-\partial_x^{i+1}(a), a + \partial_x^i(b)) \begin{pmatrix} 0 & 0 \\ \text{Id}_{X^{i+1}} & 0 \end{pmatrix} =$$

$$= (a + \partial_x^i(b), 0) \quad \gamma$$

$$(a, b) \begin{pmatrix} 0 & 0 \\ \text{Id}_X & 0 \end{pmatrix} \begin{pmatrix} -\partial_x^i & \text{Id}_{X^i} \\ 0 & \partial_x^{i-1} \end{pmatrix} = (b, 0) \begin{pmatrix} -\partial_x^i & \text{Id}_{X^i} \\ 0 & \partial_x^{i-1} \end{pmatrix} = (-\partial_x^i(b), b)$$

Por tanto  $\text{Id}_{C^i(X^i)} \sim 0$ .

2.3.1 En esta sección demostramos la proposición 2.3. Para lograr esto probaremos que las sextuplas,  $(X, X', 0, \text{Id}_X, 0, 0)$  y  $(X, X', C^i(\text{Id}_X), \text{Id}_X, V_{X^i}, W_{X^i})$  son isomorfas en  $k(A)$ .

Afirmamos que la clase de la terna

$$(\text{Id}_X, \text{Id}_X, 0) : (X, X', 0, \text{Id}_X, 0, 0) \longrightarrow (X, X', C^i(\text{Id}_X), \text{Id}_X, V_{X^i}, W_{X^i})$$

es un isomorfismo de sextuplas en  $k(A)$ .

Como antes vimos  $\text{Id}_{C^i(X^i)} \sim 0$ , luego

$$V_{X^i} = V_{X^i} \circ \text{Id}_{C^i(X^i)} \sim V_{X^i} \circ 0 = 0.$$

De lo que se sigue que la terna  $(\text{Id}_X; \text{Id}_X; 0)$  es un morfismo de séptuplas.

Similarmente la clase de la terna

$$(\text{Id}_X; \text{Id}_X; 0) : (X', X', C'(\text{Id}_{X'}), \text{Id}_X; V_{\text{Id}_X}, W_{\text{Id}_X}) \longrightarrow (X; X; 0, \text{Id}_X; 0, 0)$$

es un morfismo de séptuplas pues el diagrama

$$\begin{array}{ccccccc}
 X' & \xrightarrow{\text{Id}_X} & X' & \xrightarrow{V_{\text{Id}_X}} & C'(\text{Id}_{X'}) & \xrightarrow{W_{\text{Id}_X}} & TX' \\
 \text{Id}_X \downarrow & & \text{Id}_X \downarrow & & \downarrow & & \text{Id}_X \downarrow \\
 X' & \xrightarrow{\text{Id}_X} & X' & \longrightarrow & 0 & \longrightarrow & TX'
 \end{array}$$

conmuta.

Claramente el morfismo de séptuplas  $(\text{Id}_X; \text{Id}_X; 0)$  es inverso del morfismo  $(\text{Id}_X; \text{Id}_X; 0)$ , entonces la séptupla  $(X'; X; 0, \text{Id}_X; 0, 0)$  es isomorfa al triángulo  $(X'; X; C'(\text{Id}_{X'}), \text{Id}_X; V_{\text{Id}_X}, W_{\text{Id}_X})$  y así también la séptupla  $(X'; X; 0, \text{Id}_X; 0, 0)$  es triángulo.

## 2.4 Demostración de que TR2) se satisfacen en $k(A)$ .

2.4.1 Sea  $(X', Y', Z', u, v, w)$  un triángulo en  $k(A)$ . Sin pérdida de generalidad podemos suponer que  $Z' = C'(u)$ ,  $v = V_u$ ,  $w = W_u$ , y recordamos que  $V_u, W_u$  están definidos en 2.1.1.

En esta sección denotamos a  $V_u$  por  $\alpha$ . Por demostrar que  $\Delta = (Y; C'(u), TX', \alpha, W_u, -Tu)$  es triángulo.

Varemos que  $\Delta' \cong \Delta_\alpha$ .

Consideramos los morfismos de complejos

$$\begin{array}{ccc} \psi^0 : C^0(\alpha) & \longrightarrow & TX^0 \\ \psi^i : Y^{i+1} \oplus (X^{i+1} \oplus Y^i) & \longrightarrow & X^{i+1} \\ (b, (a, b')) & \longmapsto & a \end{array}$$

$$\begin{array}{ccc} \varphi^0 : TX^0 & \longrightarrow & C^0(\alpha) \\ \varphi^i : X^{i+1} & \longrightarrow & Y^{i+1} \oplus (X^{i+1} \oplus Y^i) \\ a & \longmapsto & (-u^{i+1}(a), (a, 0)). \end{array}$$

y los diagramas siguientes

$$\begin{array}{ccccccc} Y^0 & \xrightarrow{\alpha^0} & C^0(\alpha) & \xrightarrow{V_0} & C^0(\alpha) & \xrightarrow{W_0} & TY^0 \\ \text{Id}_{Y^0} \downarrow & & \text{Id}_{C^0(\alpha)} \downarrow & & \psi^0 \downarrow & & T\text{Id}_{Y^0} \downarrow \\ Y^0 & \xrightarrow{\alpha^0} & C^0(\alpha) & \xrightarrow{W_0} & TX^0 & \xrightarrow{-Tu^0} & TY^0 \end{array}$$

$$\begin{array}{ccccccc} Y^0 & \xrightarrow{\alpha^0} & C^0(\alpha) & \xrightarrow{W_0} & TX^0 & \xrightarrow{-Tu^0} & TY^0 \\ \text{Id}_{Y^0} \downarrow & & \text{Id}_{C^0(\alpha)} \downarrow & & \varphi^0 \downarrow & & T\text{Id}_{Y^0} \downarrow \\ Y^0 & \xrightarrow{\alpha^0} & C^0(\alpha) & \xrightarrow{V_0} & C^0(\alpha) & \xrightarrow{W_0} & TY^0 \end{array}$$

por construcción  $V_0 \cdot \psi^0 = W_0$  y  $-Tu^0 = \varphi^0 \cdot W_0$ .

Las siguientes colocaciones de morfismos

$$\Sigma_1^c := \{ \Sigma_1^c : Y^{i+1} \oplus (X^{i+1} \oplus Y^i) \rightarrow Y^i \} \text{ con } \Sigma_1^c(a, (b, c)) = c$$

$$\Sigma_2^c := \{ \Sigma_2^c : X^{i+1} \oplus Y^i \rightarrow Y^i \oplus (X^i \oplus Y^{i-1}) \} \text{ con } \Sigma_2^c(a, b) = (b, (0, 0))$$

Son tales que  $W_i^c - \bar{\psi}^i \cdot (-T(u_i)) = \partial^c(u_i) \cdot \Sigma_2^{i+1} + \Sigma_1^c \cdot d^c Y^{i-1}$  y

$$V_i^c - W_i^c Y^i = \partial^c(u_i) \cdot \Sigma_2^{i+1} + \Sigma_2^c \cdot \partial^c(u_i)$$

es decir  $W_\alpha = \psi \cdot (-T_\alpha)$  y  $V_\alpha = W_\alpha \cdot \gamma$  en  $K(A)$ .

Estas consideraciones prueban que las ternas.

$$(Id_Y, Id_{C(u)}, \psi) : (Y, C(u), C(u), \alpha; W_i^c, W_\alpha^c) \rightarrow (Y, C(u), TX, \alpha; W_i, -T_\alpha)$$

$$(Id_Y, Id_{C(u)}, \varphi) : (Y, C(u), TX, \alpha, W_\alpha, -T_\alpha) \rightarrow (Y, C(u), C(u), \alpha, V_i, W_i)$$

Son morfismos de sextuplas.

Además por construcción

$$(Id_Y, Id_{C(u)}, \varphi) \cdot (Id_Y, Id_{C(u)}, \psi) = (Id_Y, Id_{C(u)}, Id_{TX})$$

Se afirma que  $\varphi \cdot \psi = Id_{C(u)}$

Para probar esto sea  $\Sigma$  la colección de morfismos

$$\Sigma := \{ \Sigma^c : Y^{i+1} \oplus (X^{i+1} \oplus Y^i) \rightarrow Y^i \oplus (X^i \oplus Y^{i-1}) \} \text{ con}$$

$$\Sigma^c : (b, (a, b')) = (b', (0, 0)) \dots \text{La cual satisface que}$$

$$\psi^i \cdot \varphi^i - Id_{C(u_i)} = \Sigma^c \cdot \partial^c(u_i) + \partial^c(u_i) \cdot \Sigma^{i+1}$$

lo que prueba que

$$(Id_Y, Id_{C(u)}, \psi) \cdot (Id_Y, Id_{C(u)}, \varphi) = (Id_Y, Id_{C(u)}, Id_{C(u)})$$

Así hemos probado que  $(Id_Y, Id_{C^1(u)}, \Psi)$  es un isomorfismo de sextuplas y un consecuencia  $(\gamma, C^1(u), TX, \alpha, W_u, -Tu)$  es triángulo.

2.4.2. Para demostrar el converso se procede de manera similar: Si  $\Delta = (X; Y; Z; u, v, w) \in \mathcal{T}_{um}$  entonces se prueba que la sextupla  $(T\Delta; X, Y, Tw, u, v)$  es isomorfa a  $\Delta Tw \in \mathcal{T}_{um}$  (ver notación en (2.1.2)).  $\square$ .

2.5 En esta sección demostraremos que  $k(A)$  satisface al axioma (TR3).

Sean  $(X, Y, Z, u, v, w)$  y  $(X', Y', Z', u', v', w')$  dos triángulos y sean  $f: X \rightarrow X'$  y  $g: Y \rightarrow Y'$  morfismos tales que hacen conmutar al Cuadro (1)

$$\begin{array}{ccccc}
 X & \xrightarrow{u} & Y & \xrightarrow{v} & Z & \xrightarrow{w} & TX \\
 f \downarrow & \textcircled{1} & g \downarrow & & \downarrow h & & Tf \downarrow \\
 X' & \xrightarrow{u'} & Y' & \xrightarrow{v'} & Z' & \xrightarrow{w'} & TX'
 \end{array}$$

Probaremos que exista  $h: Z \rightarrow Z'$  morfismo tal que la terna  $(f, g, h): (X, Y, Z, u, v, w) \rightarrow (X', Y', Z', u', v', w')$  es un morfismo de triángulos.

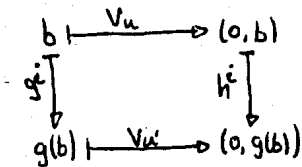
Sin pérdida de generalidad podemos suponer que  $Z = C^1(u)$  y  $Z' = C^1(u')$  y que  $v = v_u, v' = v_{u'}, w = w_u, w' = w_{u'}$  son como en la sección 2.1.1.

Sea  $h: C^1(u) \rightarrow C^1(u')$  tal que

$$h(a, b) = ((Tf')(a), g'(b)) \text{ para } (a, b) \in C^1(u)$$

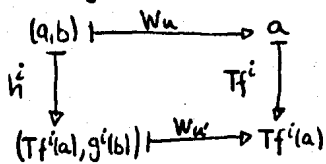
$h$  es el morfismo buscado como se muestra a continuación.

Sea  $b \in Y$



lo cual prueba que  $v_u \circ h = g \circ v_u'$

Análogamente sea  $(a, b) \in C'(u)$  entonces



conmuta y así  $w_u \circ T_f^i = h^i \circ w_u'$ . Y esto demuestra nuestra afirmación. □

2.6 (TR4) se satisface en  $K(A)$

Suponga dados los triángulos siguientes

$$(x', y', z'', u, j, k)$$

$$(y, z', x'', y, \sigma, i)$$

y

Mostraremos que  $\Delta \cong \Delta_f$ .  
 Para esto consideramos los morfismos de com-  
 plajos

$$\alpha: C'(f) \longrightarrow C'(g)$$

$$\alpha^i: (x^{i+2} \oplus y^{i+1}) \oplus (x^{i+1} \oplus z^i) \longrightarrow y^{i+2} \oplus z^i$$

$$(a, b), (a', c) \longmapsto (u^{i+2}(a') + b, c)$$

$$\beta: C'(g) \longrightarrow C'(f)$$

$$\beta^i: y^{i+1} \oplus z^i \longrightarrow (x^{i+2} \oplus y^{i+1}) \oplus (x^{i+1} \oplus z^i)$$

$$(b, c) \longmapsto (0, b), (a, c)$$

y los diagramas siguientes

$$\begin{array}{ccccccc} C'(u) & \xrightarrow{f} & C'(u, y) & \xrightarrow{V_f} & C'(f) & \xrightarrow{W_f} & TC'(u) \\ \text{Id}_{C'(u)} \downarrow & & \text{Id}_{C'(u, y)} \downarrow & & \alpha \downarrow & & \text{Id}_{TC'(u)} \downarrow \\ C'(u) & \xrightarrow{f} & C'(u, y) & \xrightarrow{g} & C'(g) & \xrightarrow{i \cdot T(g)} & TC'(u) \end{array}$$

$$\begin{array}{ccccccc} C'(u) & \xrightarrow{f} & C'(u, y) & \xrightarrow{g} & C'(g) & \xrightarrow{i \cdot T(g)} & TC'(u) \\ \text{Id}_{C'(u)} \downarrow & & \text{Id}_{C'(u, y)} \downarrow & & \beta \downarrow & & \text{Id}_{TC'(u)} \downarrow \\ C'(u) & \xrightarrow{f} & C'(u, y) & \xrightarrow{V_f} & C'(f) & \xrightarrow{W_f} & TC'(u) \end{array}$$

observa que  $g = V_f \cdot \alpha$  y  $\beta \cdot W_f = i \cdot T(g)$

las colecciones de morfismos

$$\Sigma := \{ \Sigma^i : (X^{i+1} \oplus Y^{i+1}) \oplus (X^{i+1} \oplus Z^i) \rightarrow X^{i+1} \oplus Y^i \} \text{ con}$$

$$\Sigma^i(a, b), (a', c) = (a', 0)$$

$$\Sigma_0 := \{ \Sigma_0^i : X^{i+1} \oplus Z^i \rightarrow (X^i \oplus Y^i) \oplus (X^i \oplus Z^{i-1}) \} \text{ con}$$

$$\Sigma_0^i(a, c) = (a, 0), (0, 0)$$

Son tales que

$$\alpha^i \cdot (i^i \cdot T(j^i)) - W_f^i = \partial_{C^i(f)}^i \cdot \Sigma^{i+1} + \Sigma^i \cdot \partial_{C^i(u)}^{i-1} \quad \gamma$$

$$V_f^i - g^i \cdot \beta^i = \Sigma_0^i \cdot \partial_{C^i(f)}^{i-1} + \partial_{C^i(u, y)}^i \cdot \Sigma_0^{i+1}$$

lo que demuestra que las ternas

$$(\text{Id}_{C(u)}, \text{Id}_{C(u, y)}, \beta) : (C(u), C(u, y), C(y), f, g, i \cdot (Tj)) \rightarrow (C(u), C(u, y), C(y), f, V_f, W_f) \quad \gamma$$

$$(\text{Id}_{C(u)}, \text{Id}_{C(u, y)}, \alpha) : (C(u), C(u, y), C(y), f, V_f, W_f) \rightarrow (C(u), C(u, y), C(y), f, g, i \cdot (Tj))$$

son morfismos de sextuplas.

$$\text{Es claro que } (\text{Id}_{C(u)}, \text{Id}_{C(u, y)}, \beta) \cdot (\text{Id}_{C(u)}, \text{Id}_{C(u, y)}, \alpha) = (\text{Id}_{C(u)}, \text{Id}_{C(u, y)}, \text{Id}_{C(y)}) .$$



Sea

$$\Sigma_i := \{ \Sigma_i^i : (X^{i-1} \oplus Y^i) \oplus (X^{i+1} \oplus Z^i) \rightarrow (X^i \oplus Y^i) \oplus (X^i \oplus Z^i) \}$$

la colocación de morfismos tal que

$$\Sigma_i^i \cdot (a, b), (a', c) = (a', 0), (0, 0).$$

satisfaca que

$$\alpha^i \cdot \beta^i - \text{Id}_{C^i(f)} = \Sigma_{i-1}^i \cdot \partial_{C^i(f)} + \partial_{C^i(f)} \cdot \Sigma_i^{i+1}$$

lo que prueba que

$$(\text{Id}_{C^i(u)}, \text{Id}_{C^i(u,y)}, \alpha) \cdot (\text{Id}_{C^i(u)}, \text{Id}_{C^i(u,y)}, \beta) = (\text{Id}_{C^i(u)}, \text{Id}_{C^i(u,y)}, \text{Id}_{C^i(f)})$$

luego  $(\text{Id}_{C^i(u)}, \text{Id}_{C^i(u,y)}, \alpha)$  es un isomorfismo de sextuplas y así  $(C^i(u), C^i(u,y), C^i(y), f, g, i \cdot (Tg))$  es un triángulo.

□

2.7 Sea  $A$  categoría abeliana. Definimos al funtor

$$H: K(A) \rightarrow A \text{ tal que}$$

$$X := (X^i, \partial_X^i)_{i \in \mathbb{Z}} \mapsto H(X) := \frac{\ker \partial_X^i}{\text{Im } \partial_X^{i-1}}$$

(Esto es desde luego un funtor pues es fácil ver que si  $f = g$  entonces  $H(f) = H(g)$ ). Escribimos por  $H^i$  a  $H \circ T^i$ , para todo  $i \in \mathbb{Z}$ .

Observación:  $H$  es funtor cohomológico de  $K(A)$  a  $A$ . Desde luego, es suficiente chequear que la sucesión larga

para triángulos contruidos con el cono  $c(u)$  de  $u: X \rightarrow Y$  es exacta y esto se puede checar directamente. A este funtor lo llamamos funtor de homología.

2.7.2 Un morfismo  $f: X \rightarrow Y$  de  $\mathcal{C}(A)$  (resp. de  $\mathcal{K}(A)$ ) es llamado un casí-isomorfismo si para todo  $i \in \mathbb{Z}$

$$H^i(f) : H^i(X) \rightarrow H^i(Y)$$

es un isomorfismo.

2.8 Sean  $A, B$  categorías aditivas.

Lema: Sea  $F: A \rightarrow B$  un funtor aditivo. Entonces  $F$  induce un  $\mathcal{A}$ -funtor  $\bar{F}: K^b(A) \rightarrow K^b(B)$ .

Demostación

Sean  $X := (X^i, \partial_X^i)$ ,  $Y := (Y^i, \partial_Y^i)$  complejos de cadenas en  $K^b(A)$  y sea  $f: X \rightarrow Y$  un morfismo de complejos. Definimos

$$\begin{aligned} \bar{F}: K^b(A) &\rightarrow K^b(B) \text{ tal que} \\ (X^i, \partial_X^i)_{i \in \mathbb{Z}} &\mapsto (F(X^i), F(\partial_X^i))_{i \in \mathbb{Z}} \\ f := \{f^i\}_i &\mapsto \{F(f^i)\}_{i \in \mathbb{Z}} \end{aligned}$$

Claramente  $\bar{F}$  está bien definido y conmuta con el funtor traslación

Basta ver que  $\bar{F}$  envía triángulos en triángulos.

Sea  $\Delta = (X \rightarrow Y \rightarrow Z; u, v, w)$  un triángulo en  $K^b(A)$ . Por definición podemos suponer que  $Z^i = c^i u, v = v_i, w = w_i$

$$\begin{array}{ccccccc}
 X^n & \xrightarrow{u^n} & Y^n & \xrightarrow{(0,1)} & X^{n+1} \oplus Y^n & \xrightarrow{\begin{pmatrix} 1 \\ 0 \end{pmatrix}} & X^{n+1} \\
 \partial_X^n \downarrow & & \partial_Y^n \downarrow & & \alpha = \begin{pmatrix} -\partial_X^{n+1} & u^{n+1} \\ 0 & \partial_Y^n \end{pmatrix} \downarrow & & -\partial_X^{n+1} \downarrow \\
 X^{n+1} & \xrightarrow{u^{n+1}} & Y^{n+1} & \xrightarrow{(0,1)} & X^{n+2} \oplus Y^{n+1} & \xrightarrow{\begin{pmatrix} 1 \\ 0 \end{pmatrix}} & X^{n+2}
 \end{array}$$

Aplicando  $F$  obtenamos el diagrama conmutativo:

$$\begin{array}{ccccccc}
 (FX)^n & \xrightarrow{(Fu)^n} & (FY)^n & \xrightarrow{(0,1)} & (FX)^{n+1} \oplus (FY)^n & \xrightarrow{\begin{pmatrix} 1 \\ 0 \end{pmatrix}} & (FX)^{n+1} \\
 \partial_{FX}^n \downarrow & & \partial_{FY}^n \downarrow & & F\alpha \downarrow & & -\partial_{FX}^{n+1} \downarrow \\
 (FX)^{n+1} & \xrightarrow{(Fu)^{n+1}} & (FY)^{n+1} & \xrightarrow{(0,1)} & (FX)^{n+2} \oplus (FY)^{n+1} & \xrightarrow{\begin{pmatrix} 1 \\ 0 \end{pmatrix}} & (FX)^{n+2}
 \end{array}$$

(por simplicidad abusamos del lenguaje y eliminamos la barra de  $\bar{F}$ ).

Pongamos  $F(\alpha) = \begin{pmatrix} a_{11} & a_{12} \\ a_{21} & a_{22} \end{pmatrix}$ . Entonces

$$(a_{21}, a_{22}) = (0, 1)F(\alpha) = \partial_{FY}^n(0, 1) = (0, \partial_{FY}^n)$$

$$\begin{pmatrix} a_{11} \\ a_{12} \end{pmatrix} = F(\alpha) \begin{pmatrix} 1 \\ 0 \end{pmatrix} = \begin{pmatrix} 1 \\ 0 \end{pmatrix} (-\partial_{FX}^{n+1}) = \begin{pmatrix} -\partial_{FX}^{n+1} \\ 0 \end{pmatrix}$$

Luego,  $a_{11} = -\partial_{FX}^{n+1}$ ,  $a_{22} = \partial_{FY}^n$ ,  $a_{21} = 0$ .

Además  $u^{n+1} = (X^{n+1} \xrightarrow{(1,0)} X^{n+1} \oplus Y^n \xrightarrow{\alpha} X^{n+2} \oplus Y^{n+1} \xrightarrow{(1)} Y^{n+1})$ .

Entonces  $F(u^{n+1}) = (1, 0)F(\alpha) \begin{pmatrix} 1 \\ 0 \end{pmatrix} = a_{12}$ . Esto prueba que  $F(\alpha) = \partial_C(F(u))$ . Entonces  $F_C(u) = C'(F(u))$  y  $F(\alpha)$  es triángulo en  $k^b(B)$ . □

con  $seS$ , puede completarse a un diagrama;

$$\begin{array}{ccc} Y & \xrightarrow{s} & Z \\ u \downarrow & & \downarrow v \\ X & \xrightarrow{t} & W \end{array}$$

con  $teS$ .

(FR3) Si  $f, g: X \rightarrow Y$  son morfismos en  $\mathcal{C}$ , las siguientes condiciones son equivalentes:

- i) Existe  $s: Y \rightarrow Y'$  con  $seS$ ,  $fs = g \circ s$
- ii) Existe  $t: X' \rightarrow X$  con  $teS$ ,  $t \circ f = t' \circ g$

Si  $\mathcal{C}$  es una categoría,  $S$  es una colección de morfismos de  $\mathcal{C}$ , entonces la localización de  $\mathcal{C}$  con respecto a  $S$  es una categoría  $\mathcal{C}_S$ , junto con un functor  $Q: \mathcal{C} \rightarrow \mathcal{C}_S$  tal que

- a)  $Q(s)$  es un isomorfismo para cada  $seS$
- b) Cada functor  $F: \mathcal{C} \rightarrow \mathcal{D}$  tal que  $F(s)$  es un isomorfismo para todo  $seS$  se factoriza de manera única a través de  $Q$ .

Observación :- Se puede demostrar que una tal localización existe sin la hipótesis de que  $S$  sea un sistema multiplicativo pero no necesitamos este resultado.

3.2 Sea  $C$  una categoría y  $S$  un sistema multiplicativo. Construiremos una nueva categoría  $C_S$ .

Antes de definir  $C_S$ , hagamos algunas consideraciones preliminares.

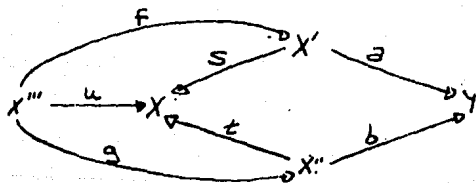
Dados  $X, Y \in \text{Ob } C$  definimos

$$A(X, Y) := \{ (s, X', a) : X \xleftarrow{s} X' \xrightarrow{a} Y \text{ en } C, s \in S \}.$$

En  $A(X, Y)$  definimos una relación  $\approx$  de la siguiente forma:

$(s, X', a) \approx (t, X'', b)$  con  $X' \xrightarrow{s} X'' \xrightarrow{b} Y$  y  $X' \xrightarrow{t} X'' \xrightarrow{a} Y$  si y sólo si existen morfismos  $u: X''' \rightarrow X'$ ,  $f: X''' \rightarrow X''$  y  $g: X''' \rightarrow X''$  con  $u \in S$  tal que  $fa = gb$  y  $fs = u = gt$ .

La relación anterior la podemos visualizar en el siguiente diagrama



Lema: Para cada  $X, Y \in \text{Ob } C$ , la relación  $\approx$  en  $A(X, Y)$  es de equivalencia.

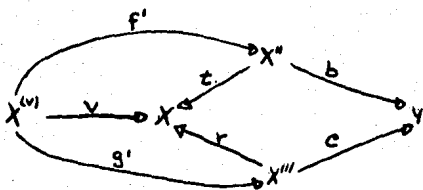
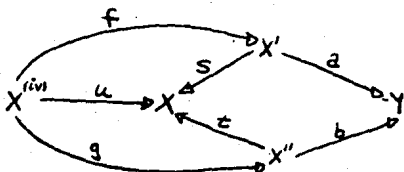
Demostración

La demostración de la propiedad reflexiva y

la propiedad de simetría es trivial.

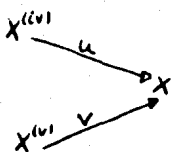
Para demostrar la transitividad supongamos que  $(s, x', a) \simeq (t, x'', b)$  y  $(t, x'', b) \simeq (r, x''', c)$ . Por demostrar que  $(s, x', a) \simeq (r, x''', c)$ .

Por ser  $(s, x', a) \simeq (t, x'', b)$  y  $(t, x'', b) \simeq (r, x''', c)$  tenemos los siguientes diagramas;

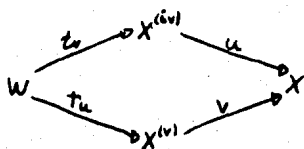


donde (\*) -  $\begin{cases} f \cdot s = u = g \cdot t & \text{y } f \cdot a = g \cdot b & \text{con } u \in S \\ f' \cdot t = v = g' \cdot r & \text{y } f' \cdot b = g' \cdot c & \text{con } v \in S \end{cases}$

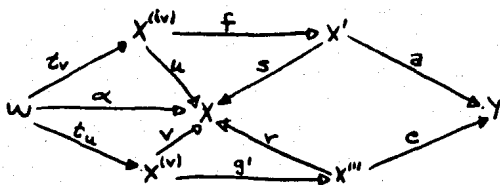
Ya que  $u, v \in S$  entonces al siguiente diagrama



Se puede completar a un diagrama:



con,  $t_u$  en  $S$ , por (FR2). Sea  $\alpha = t_u \circ v \in S$   
 De lo anterior podemos construir el siguiente diagrama:



donde  $t_v \circ f \circ s = t_u \circ g' \circ r$  (ya que  $f \circ s = u$  y  $v = g' \circ r$ ,  
 $t_v \circ u = t_u \circ v$ ),  $v = f' \circ t$ , entonces:

$(t_v \circ g') \circ t = t_v \circ u = t_u \circ v = t_u \circ (f' \circ t) = (t_u \circ f') \circ t$  con  $t \in S$ ,  
 por (FR3) existe  $r' : W' \rightarrow W$  en  $S'$  tal que

Definimos la composición  $\overline{(s, x', a) \cdot (t, y', b)}$  por la clase  $\overline{(t', s, x'', a', b)}$ .

\*v) Sea  $X \in \text{Ob } C_S$ . Definimos el morfismo identidad de  $X$  en  $C_S$  como la clase de equivalencia  $(\text{Id}_X, X, \text{Id}_X)$

Proposición :  $C_S$  es categoría.

Demostración

Veremos primero en a), b), c) que la composición está bien definida.

a) Ya que la composición la definimos usando (FR2), tenemos que demostrar que la composición es independiente de los morfismos dados por este axioma. Sean  $(s, x', a) \in \text{Hom}_{C_S}(X, Y)$  y  $(t, y', b) \in \text{Hom}_{C_S}(Y, Z)$ .

Supongamos que por (FR2) existen por una parte,  $X'' \in \text{Ob } C$ ,  $t' : X'' \rightarrow X'$  y  $a' : X'' \rightarrow Y'$  con  $t' \in S$  y por otra parte existan  $X''' \in \text{Ob } C$ ,  $t'' : X''' \rightarrow X'$  y  $a'' : X''' \rightarrow Y'$  con  $t'' \in S$  tal que conmutan los siguientes diagramas

$$\begin{array}{ccc} X'' & \xrightarrow{a'} & Y' \\ t' \downarrow & & \downarrow t \\ X' & \xrightarrow{a} & Y \end{array}$$

$$\begin{array}{ccc} X''' & \xrightarrow{a''} & Y' \\ t'' \downarrow & & \downarrow t \\ X' & \xrightarrow{a} & Y \end{array}$$



$$4) \varepsilon \cdot \alpha \cdot a' = \varepsilon \cdot \beta \cdot a''$$

de 4) se concluye que

$$5) \varepsilon \cdot \alpha \cdot a' \cdot b = \varepsilon \cdot \beta \cdot a'' \cdot b$$

Sea  $\phi := \varepsilon \cdot \alpha$ ,  $\tau := \varepsilon \cdot \beta$  y  $\gamma := \varepsilon \cdot \alpha \cdot \tau' \cdot s = \varepsilon \cdot \beta \cdot \tau' \cdot s$ . Así por 5) tenemos que  $\phi \cdot (a' \cdot b) = \tau \cdot (a'' \cdot b)$ . Es claro que  $\phi \cdot (\tau' \cdot s) = \gamma = \tau \cdot (\tau' \cdot s)$  de donde se sigue que

$$\overline{(\tau' \cdot s, x'', a' \cdot b)} = \overline{(\tau' \cdot s, x'', a'' \cdot b)}.$$

Y ésto demuestra la independencia de (FR2) en la composición.

b) En este inciso se prueba que la composición es independiente de los representantes elegidos. Es decir sean  $\overline{(s, x', a)} = \overline{(s', x'', a')}$  en  $\text{Hom}_2(x, y)$  y  $\overline{(t, y', b)} = \overline{(t', y'', b')}$  en  $\text{Hom}_2(y, z)$  por demostrar entonces que

$$\overline{(s, x', a)} \cdot \overline{(t, y', b)} = \overline{(s', x'', a')} \cdot \overline{(t', y'', b')}$$

Para demostrar ésto lo hacemos en dos casos:

caso 1) Sea  $\overline{(s, x', a)} = \overline{(s', x'', a')}$  en  $\text{Hom}_2(x, y)$  y sea  $\overline{(t, y', b)} \in \text{Hom}_2(y, z)$  arbitrario; por demostrar que

$$\overline{(s, x', a)} \cdot \overline{(t, y', b)} = \overline{(s', x'', a')} \cdot \overline{(t, y', b)}$$

La prueba del caso 1) es como sigue:

Ya que  $\overline{(s, x', a)} = \overline{(s', x'', a')}$  existen  $f: x''' \rightarrow x'$ ,  $g: x''' \rightarrow x''$  y  $u: x''' \rightarrow x$  con  $u \in \mathcal{P}$  tal que al siguiente diagrama conmuta:

Análogamente tenemos las siguientes dos aplicaciones de (F2). Primero completamos los siguientes dos diagramas:

$$\begin{array}{ccc} & & w_1 \\ & & \downarrow \bar{z}_1 \\ x''' & \xrightarrow{f} & x \end{array}$$

$$\begin{array}{ccc} & & w_2 \\ & & \downarrow \bar{z}_2 \\ x''' & \xrightarrow{g} & x'' \end{array}$$

a;

$$\begin{array}{ccc} \bar{w}_1 & \xrightarrow{\tilde{f}} & w_1 \\ z \in S \downarrow & & \downarrow z' \in S \\ x''' & \xrightarrow{f} & x' \end{array}$$

$$\begin{array}{ccc} \bar{w}_2 & \xrightarrow{\tilde{g}} & w_2 \\ z' \in S \downarrow & & \downarrow z'' \in S \\ x''' & \xrightarrow{g} & x'' \end{array}$$

$$\begin{cases} \text{(ai)} & \tilde{f} \cdot z_1 = z_1 \cdot f \\ \text{(a'ii)} & \tilde{g} \cdot z'_1 = z'_1 \cdot f \end{cases}$$

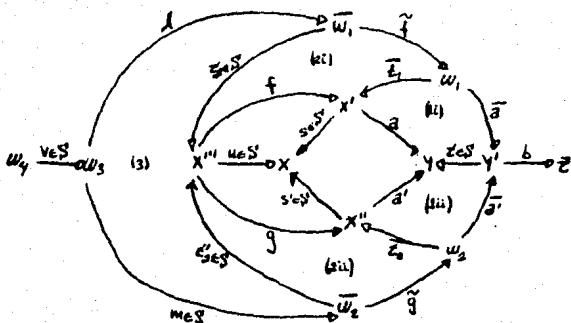
y el diagrama

$$\begin{array}{ccc} & & \bar{w}_1 \\ & & \downarrow z_1 \in S \\ w_2 & \xrightarrow{z_1 \in S} & x''' \end{array}$$

al diagrama

$$\begin{array}{ccc} w_3 & \xrightarrow{l} & \bar{w}_1 \\ m \in S \downarrow & & \downarrow z_1 \in S \\ \bar{w}_2 & \xrightarrow{z_1 \in S} & x''' \end{array}$$

estas construcciones derivan en el siguiente diagrama:



Usando (3) y (\*) tenemos

$$\begin{cases} \text{(4i)} & l \cdot t_2 \cdot f \cdot a = m \cdot t_2' \cdot g \cdot a' \\ \text{(4ii)} & l \cdot t_2 \cdot f \cdot s = m \cdot t_2' \cdot u = w \cdot t_2' \cdot j \cdot s' \end{cases}$$

usando (4i), (4ii), (2i), (2ii) tenemos

$$\begin{cases} \text{(5i)} & l \cdot \tilde{f} \cdot t_2 \cdot a = m \cdot \tilde{g} \cdot t_2' \cdot a' \\ \text{(5ii)} & l \cdot \tilde{f} \cdot t_2 \cdot s = m \cdot \tilde{t}_2' \cdot u = m \cdot \tilde{g} \cdot t_2' \cdot s' \end{cases}$$

usando 5i) y 5ii) tenemos

$$6) \quad l \cdot \tilde{f} \cdot \tilde{a} \cdot t = m \cdot \tilde{g} \cdot \tilde{a}' \cdot t$$

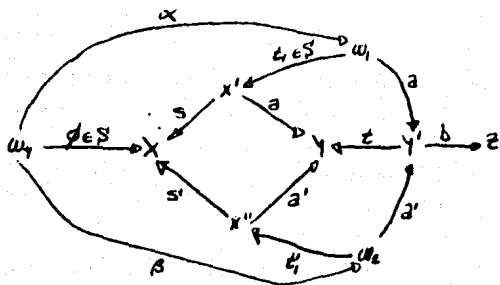
por (FR3) exista  $v: w_4 \rightarrow w_3$  en  $S'$  tal que

$$7) \quad v \cdot l \cdot \tilde{f} \cdot \tilde{a} = v \cdot m \cdot \tilde{g} \cdot \tilde{a}'$$

Sea  $\alpha := v_i \circ \tilde{f}$  y  $\beta := v_i \circ \tilde{g}$ . Usando (7) tenemos que.

$$\alpha \circ (\tilde{a} \circ b) = \beta \circ (\tilde{a}' \circ b)$$

Sea  $\phi := v_i \circ \tilde{t}_i \circ u$  (observa que  $\phi \in \mathcal{S}$ ), usando (ii).  $\alpha \circ (\tilde{t}_i \circ s) = \phi = \beta \circ (\tilde{t}_i' \circ s')$ . Esto prueba que el siguiente diagrama conmuta



lo que prueba que  $(\overline{s'x''a'}) \circ (\overline{t_2y'b}) = (\overline{sx'a}) \circ (\overline{t_1y'b})$ .

□

Caso 2) De manera similar  $\overline{(r, y', b)} = \overline{(r', y'', b')}$  en  $\text{Hom}_C(Y, Z)$  y  $\overline{(s, x', a)} \in \text{Hom}_C(X, Y)$  entonces  $\overline{(s, x', a)} \cdot \overline{(r, y', b)} = \overline{(s, x', a)} \cdot \overline{(r', y'', b')}$ . La demostración de este caso es similar a la del caso 1).

Sean  $\overline{(s, x', a)} = \overline{(s', x'', a')}$  y  $\overline{(r, y', b)} = \overline{(r', y'', b')}$ . Usando el caso 1) y el caso 2), podemos inferir al caso general del siguiente modo:

$$\overline{(s, x', a)} \cdot \overline{(r, y', b)} \stackrel{\text{caso 1)}}{=} \overline{(s', x'', a')} \cdot \overline{(r, y', b)} \stackrel{\text{caso 2)}}{=} \overline{(s', x'', a')} \cdot \overline{(r', y'', b')}. \text{ Así}$$

$\overline{(s, x', a)} \cdot \overline{(r, y', b)} = \overline{(s', x'', a')} \cdot \overline{(r', y'', b')}$ , concluya al caso general.

d) La composición es asociativa.

Para mostrar esto sean  $\overline{(s, x', a)} \in \text{Hom}_C(X, Y)$ ,  $\overline{(t, y', b)} \in \text{Hom}_C(Y, Z)$  y  $\overline{(r, z', c)} \in \text{Hom}_C(Z, W)$ , morfismos en  $C_S$ .

Así por (FR2) existan  $z'' \in \text{Ob } C$ ,  $b' : z'' \rightarrow z'$  y  $r' : z'' \rightarrow y'$  con  $r' \in S$  tal que

$$1) \quad r' \cdot b' = b \cdot r$$

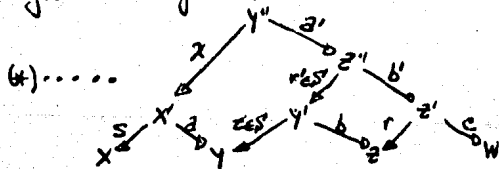
(observa que  $r', b' \in S$ ).

Análogamente, por (FR2) exista  $y'' \in \text{Ob } C$ ,  $a' : y'' \rightarrow z''$  y  $x : y'' \rightarrow x'$  con  $x \in S$  tal que

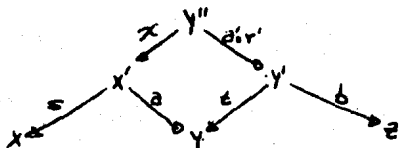
$$2) \quad x \cdot a' = a \cdot (r' \cdot t)$$

$$\text{luego } \overline{(s, x', a)} \cdot [\overline{(t, y', b)} \cdot \overline{(r, z', c)}] = \overline{(s, x', a)} \cdot \overline{(r' \cdot t, z'', b' \cdot c)} = \overline{(s, x, y'', a' \cdot b' \cdot c)}$$

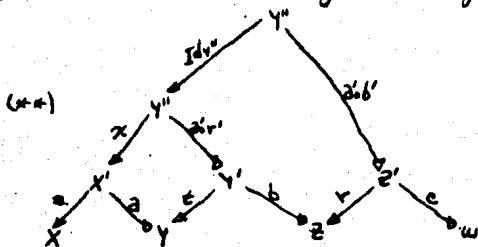
dicha composición queda expresada completamente en el siguiente diagrama:



Por a), 1) y 2) tenemos que la composición  $(s, x', a) \circ (t, y', b)$  es  $(x'', y'', a' \circ r')$  lo cual se expresa en el siguiente diagrama



De la misma forma por (FR2), 1) y 2) la composición de  $(x'', y'', a' \circ r')$  con  $(r, z', c)$  es  $(x, y, a \circ b \circ c)$  de donde se tiene el siguiente diagrama:



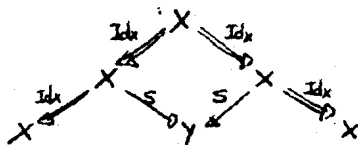
Por tanto de \*) y \*\*) se puede ver fácilmente que

$$\begin{aligned} \overline{(s, x', a) \circ [(t, y', b) \circ (r, z', c)]} &= \overline{(x'', y'', a' \circ r') \circ (r, z', c)} = \overline{(Id_{y''} \circ x'', y'', a' \circ b' \circ c)} = \\ &= \overline{(s, x', a) \circ (t, y', b) \circ (r, z', c)}. \end{aligned}$$

Así que la composición es asociativa.

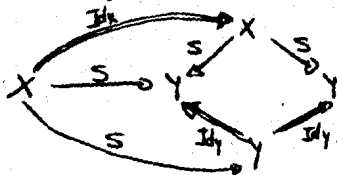
b)  $Q(s)$  es isomorfismo en  $C_B$ , si  $s \in S$ .

Sea  $s: x \rightarrow y$  con  $s \in S$ . Entonces  $Q(s) = \overline{(Id_x, x, s)}$  Sea  $\alpha := (s, x, Id_x)$ . Si calculamos  $Q(s) \cdot \alpha$  tenemos el siguiente diagrama



el cual demuestra que  $Q(s) \cdot \alpha = \overline{(Id_x, x, Id_x)}$  que es el morfismo identidad en  $C_B$ .

De manera análoga  $\alpha \cdot Q(s) = \overline{(Id_x \cdot s, x, Id_x \cdot s)} = \overline{(s, x, s)}$  el cual es la identidad en  $Y \in C_B$  como lo prueba el diagrama siguiente



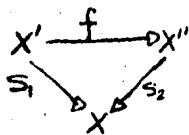
c)  $Q$  posee la propiedad universal.

Sea  $F: C \rightarrow D$  un funtor tal que  $F(s)$  es isomorfismo para todo  $s \in S$ .

Definimos el funtor  $G: C_B \rightarrow D$  tal que  $G(x) := F(x)$  si  $x \in Ob C$ , y  $G(s, x, a) := F(s) \circ F(a)$ , si  $(s, x, a) \in C_B$  está en  $C_B$ .

3.5 En esta sección y en (3.6) damos otra forma de construir  $C_S$  para  $S$  un sistema multiplicativo. Mostraremos que  $\text{Hom}_{C_S}(X, Y)$  es igual al  $\varinjlim \text{Hom}_C(L, Y)$  para una categoría superiormente dirigida  $I_X$  (ver [Hs, §20]). Fijamos  $X, Y \in \text{Ob } C$ .

Definimos  $I_X$  la categoría cuyas objetos son los morfismos  $s: X' \rightarrow X$  con  $s \in S$  y los cuales denotamos por  $(X', s)$  y un morfismo  $f: (X', s_1) \rightarrow (X'', s_2)$  es un diagrama conmutativo en la categoría  $C$  de la siguiente forma



Nota que  $I_X$  es superiormente dirigida (i.e. para cada  $(X', s_1)$  y  $(X'', s_2)$  en  $I_X$  existe  $(X'', s_2) \in I_X$  tal que  $s_1 = s_2 \circ h$  para algún  $h: X' \rightarrow X''$  tal que  $s_1 = s_2 \circ h$ ).

Consideremos al funtor  $F = \text{Hom}_C(-, Y): I_X \rightarrow \text{Ab}$ .

(Es decir  $F(X', s) = \text{Hom}_C(X', Y)$ )

$F(f) = \text{Hom}_C(f, Y)$  y para  $f: (X', s_1) \rightarrow (X'', s_2)$  en  $I_X$ ,

Proposición:  $\varinjlim \text{Hom}_C(-, Y)$  existe y es isomorfo a  $\varinjlim \text{Hom}_C(X, Y)$ .

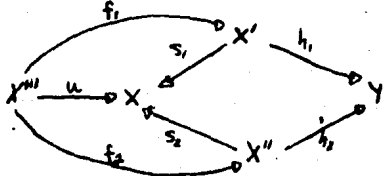
Demostración

Construiremos un pozo natural  $\varphi = (\text{Hom}_C(X, Y), (s, s))$  para el funtor  $F: I_X \rightarrow \text{Ab}$ ; esto es,

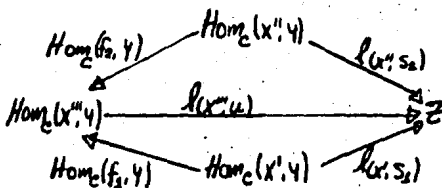


Sea  $l = (Z, (l_{(x',s)}))$  otro pozo natural para  $F$ . Construimos  $l: \text{Hom}_C(X, Y) \rightarrow Z$  tal que  $l_{(x',s)} = l \circ l_{(x',s)}$  para toda  $(x',s) \in I_X$ .

Construimos  $l: \text{Hom}_C(X, Y) \rightarrow Z, (s, x', h) \mapsto l_{(x',s)}(h)$ ; vamos que  $l$  está bien definida: en efecto, si  $(s_1, x', h_1) = (s_2, x'', h_2)$  en  $\text{Hom}_C(X, Y)$ , entonces existe  $(x''', u) \in I_X$  y morfismos  $f_1, f_2$  que hacen el siguiente diagrama conmutativo



Como  $l$  es pozo natural, el siguiente diagrama conmuta:



Como  $\text{Hom}_C(f_2, Y)(h_2) = \text{Hom}_C(f_1, Y)(h_1)$ , entonces

$$l_{(x',s_1)}(h_1) = l_{(x',u)}(\text{Hom}_C(f_1, Y)(h_1)) = l_{(x',u)}(\text{Hom}_C(f_2, Y)(h_2)) = l_{(x',s_2)}(h_2).$$

3.6.1 Proposición: Sea  $(C, T, \mathcal{J})$  una categoría triangulada y  $S$  un sistema multiplicativo compatible con la triangulación. Entonces exista una única categoría triangulada  $(C_S, T_S, \mathcal{J}_S)$  de forma que el funtor localización  $Q: C \rightarrow C_S$  es un  $\mathcal{J}$ -functor y  $Q$  satisfaca la propiedad universal:

Si  $F: C \rightarrow D$  es un  $\mathcal{J}$ -functor tal que  $F(s)$  es isomorfismo para todo  $s \in S$ , exista un único  $\mathcal{J}$ -functor  $F': C_S \rightarrow D$  tal que  $F = Q \circ F'$ .

### Demostración

Dividimos la prueba en los siguientes pasos:

I) Existencia de la triangulación.

- 1) Definición de  $T_S$
- 2) Definición de  $\mathcal{J}_S$
- 3)  $Q: (C, T, \mathcal{J}) \rightarrow (C_S, T_S, \mathcal{J}_S)$  es un  $\mathcal{J}$ -functor que satisfaca la propiedad universal.

II) Unicidad de la triangulación.

I 1): Definimos el funtor  $T_S: C_S \rightarrow C_S$  tal que en objetos  $T_S(x) = T(x)$ , si  $(s, x', h) \in \text{Hom}_S(x, y)$ , entonces  $T_S(s, x', h) = (T(s), T(x'), T(h))$ . Claramente  $T_S$  es el único automorfismo que hace conmutar al siguiente diagrama

$$\begin{array}{ccc} C & \xrightarrow{Q} & C_S \\ T \downarrow & & \downarrow T_S \\ C & \xrightarrow{Q} & C_S \end{array} \quad (\text{usá 3.4})$$

Es fácil probar que  $T_S(Qs) = Q(Ts)$ . Luego  $T_S(s, x', a) = T_S(Qs, Qx', a) = Q(Ts, Tx', a) = (T(s), T(x'), T(a))$ .

donde  $\bar{x}' \in \text{Ob } C$ ,  $a' \in \text{Hom}_C(X, \bar{x}')$  y  $s' \in \text{Hom}_C(Y, \bar{x}') \cap S$   
 en seguida extendemos  $a'$  a un triángulo  $(X, \bar{x}', w(a'), a', v_2', w_2')$   
 de  $\mathcal{J}$  (por (TR1)). Así tenemos el diagrama de triángulos

$$\begin{array}{ccccccc}
 X' & \xrightarrow{a} & Y & \xrightarrow{v_2} & w(a) & \xrightarrow{w_2} & TX' \\
 \downarrow s & & \downarrow s' & & & & \downarrow Ts \\
 X & \xrightarrow{a'} & \bar{x}' & \xrightarrow{v_2'} & w(a') & \xrightarrow{w_2'} & TX
 \end{array}$$

en  $C$ , con  $s, s' \in S$

Por (FR5) exista  $r: w(a) \rightarrow w(a')$  en  $S'$  que hace a la terna  $(s, s', r): (X', Y, w(a), a, v_2, w_2) \rightarrow (X, \bar{x}', w(a'), a', v_2', w_2')$  un morfismo de triángulos en  $\mathcal{J}$ . como lo muestra el siguiente diagrama

$$\begin{array}{ccccccc}
 X' & \xrightarrow{a} & Y & \xrightarrow{v_2} & w(a) & \xrightarrow{w_2} & TX' \\
 \downarrow s & & \downarrow s' & & \downarrow r & & \downarrow Ts \\
 X & \xrightarrow{a'} & \bar{x}' & \xrightarrow{v_2'} & w(a') & \xrightarrow{w_2'} & TX
 \end{array}$$

Es fácil comprobar que la terna

$$(Q(\text{Id}_X), Q(s'), Q(r)) = (X, Y, w(a), (\bar{x}', a), v_2, w_2, Ts) \rightarrow (X, \bar{x}', w(a'), a', v_2', w_2')$$

es un morfismo de sextuplas en  $C_S$ , pues un cálculo sencillo muestra la conmutatividad del diagrama en la categoría  $C_S$ .

II) Sea  $C'_S = (C_S, T', J')$  otra estructura de categoría triangulada tal que  $Q: (C, T, J) \rightarrow (C_S, T', J')$

es un  $\mathcal{A}$ -functor que satisfaga la propiedad universal. Probaramos que  $T' = T_S$  y  $J' = J'_S$ .

II 1):  $T' = T_S$ .

En efecto, dado que exista un único functor  $F: C_S \rightarrow C_S$  que haga conmutar al siguiente diagrama.

$$\begin{array}{ccc} C & \xrightarrow{Q} & C_S \\ T \downarrow & & \downarrow F \\ C & \xrightarrow{Q} & C_S \end{array}$$

y puesto que  $T'$  y  $T_S$  también hacen conmutar dicho diagrama entonces  $T' = F = T_S$ , lo que prueba que  $T' = T_S$ .

II 2):  $J' = J'_S$

Por (I.3), existe un único  $\mathcal{A}$ -functor  $F: (C_S, T_S, J'_S) \rightarrow (C_S, T', J')$  tal que

$$\begin{array}{ccc} C & \xrightarrow{Q} & C_S \\ Q \downarrow & \swarrow F & \\ C_S & & \end{array}$$

conmuta. Como  $Q: C \rightarrow C_S$  es una localización y  $QF = Q$ , (por la unicidad de su propiedad universal),  $F = \text{Id}_{C_S}$

Por tanto,  $\mathcal{T}_S = F(\mathcal{T}_S) \subset \mathcal{T}'$ .

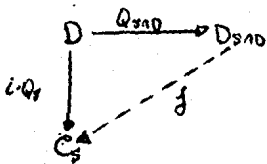
Como  $Q: \mathcal{C} \rightarrow \mathcal{C}'_S$  satisface la propiedad universal podemos también concluir que  $\mathcal{T}' \subset \mathcal{T}_S$ .

□

3.6.2 Sea  $\mathcal{C} = (\mathcal{C}, \mathcal{T}, \mathcal{J})$  una categoría triangulada y  $S$  un sistema multiplicativo compatible con la triangulación. Sea  $\mathcal{D} = (\mathcal{D}, \mathcal{T}', \mathcal{J}')$  subcategoría plana triangulada de  $\mathcal{C}$  (ver 1.3). Supongamos además que  $S \cap \mathcal{D}$  es un sistema multiplicativo compatible con la triangulación.

Sea  $\mathcal{C}_S = (\mathcal{C}_S, \mathcal{T}_S, \mathcal{J}_S)$  (resp.  $\mathcal{D}_{S \cap \mathcal{D}} = (\mathcal{D}_{S \cap \mathcal{D}}, \mathcal{T}_{S \cap \mathcal{D}}, \mathcal{J}_{S \cap \mathcal{D}})$ ) la única categoría triangulada (construida en 3.6.1) que hace al functor localización  $Q_S: \mathcal{C} \rightarrow \mathcal{C}_S$  (resp.  $Q_{S \cap \mathcal{D}}: \mathcal{D} \rightarrow \mathcal{D}_{S \cap \mathcal{D}}$ ) un  $\partial$ -functor que satisface la propiedad universal.

Por (3.6.1) exista un único  $\partial$ -functor  $j: \mathcal{D}_{S \cap \mathcal{D}} \rightarrow \mathcal{C}_S$  que hace conmutar el siguiente diagrama



donde  $i: \mathcal{D} \rightarrow \mathcal{C}$  es la inclusión

Proposición: Sea  $\mathcal{C} = (\mathcal{C}, \mathcal{T}, \mathcal{J})$  categoría triangulada. Sea  $\mathcal{D} = (\mathcal{D}, \mathcal{T}', \mathcal{J}')$  subcategoría plana triangulada de  $\mathcal{C}$  y supongamos que  $S \cap \mathcal{D}$  es un sistema multiplicativo en  $\mathcal{D}$ .

Supongamos que una de las siguientes condiciones

Se cumplen :

i) Cuando  $s: X' \rightarrow X$  es un morfismo en  $\mathcal{S}$  con  $X \in \text{Ob } \mathcal{D}$  entonces existe un morfismo  $f: X'' \rightarrow X'$  tal que  $X'' \in \text{Ob } \mathcal{D}$  y  $f \circ s \in \mathcal{S}$ .

ii) Cuando  $s: X \rightarrow X'$  es un morfismo en  $\mathcal{S}$  con  $X \in \text{Ob } \mathcal{D}$  entonces existe un morfismo  $f: X' \rightarrow X''$  tal que  $X'' \in \text{Ob } \mathcal{D}$  y  $f \circ s \in \mathcal{S}$ .

Entonces  $j: \mathcal{D}_{\text{no}} \rightarrow \mathcal{C}_{\mathcal{S}}$  es fiel y plano.

Demostración.

1) Para probar que  $j$  es fiel y plano mostraremos primero que  $j \circ \overline{(s, x', f)} = \overline{(s, x', f)}$ , para cada  $\overline{(s, x', f)} \in \text{Hom}_{\mathcal{D}_{\text{no}}}(X, Y)$ .

Claramente, se tiene que  $j(\overline{(Id_X, X', f)}) = j \circ \overline{(Id_X, X', f)} = \overline{(Id_X, X', f)}$ . Ahora vamos a ver que  $j(\overline{(s, x', Id_{X'})}) = \overline{(s, x', Id_{X'})}$ , para  $s \in \mathcal{S}$ .

Tenemos que  $\overline{(s, x', Id_{X'})} \cdot \overline{(Id_{X'}, X', s)} = Id_X$ , de

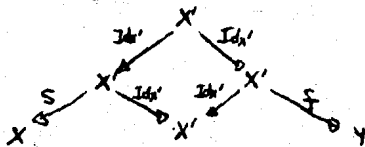
donde  $j(\overline{(s, x', Id_{X'})} \cdot \overline{(Id_{X'}, X', s)}) = j(\overline{(s, x', Id_{X'})}) \cdot j(\overline{(Id_{X'}, X', s)}) = Id_X$  en  $\mathcal{C}_{\mathcal{S}}$ ,

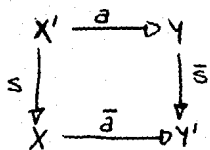
ya que  $j(\overline{(Id_{X'}, X', s)}) = \overline{(Id_{X'}, X', s)} = Id_X$ . Así  $j(\overline{(s, x', Id_{X'})}) \cdot \overline{(Id_{X'}, X', s)} = Id_X$ .

Se concluye que  $j(\overline{(s, x', Id_{X'})}) \cdot \overline{(Id_{X'}, X', s)} = Id_X = \overline{(s, x', Id_{X'})} \cdot \overline{(Id_{X'}, X', s)}$ .

Y esto implica  $j(\overline{(s, x', Id_{X'})}) = \overline{(s, x', Id_{X'})}$ .

Obsérvese que tenemos el siguiente diagrama conmutativo:

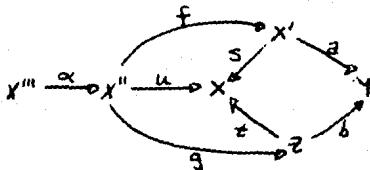




Como  $Y \in D$  y  $\bar{s} \in S$ , existan  $X'' \in D$  y  $s': Y' \rightarrow X''$  tal que  $\bar{s} \circ s' \in S \cap D$ . Es claro que  $(s, x', a) = (\text{Id}_X, x', \bar{a} \circ s')$   $(\bar{s} \circ s', Y, \text{Id}_Y)$  donde  $(\text{Id}_X, x', \bar{a} \circ s') \in \text{Hom}_{D \cap D_0}(X, X')$  y  $(\bar{s} \circ s', Y, \text{Id}_Y) \in \text{Hom}_{D \cap D_0}(X'', Y)$  y así  $f$  es plano.

4)  $f$  es fiel.

Caso i) : Supongamos que  $\overline{j(s, x', a)} = \overline{j(t, z, b)}$  en  $C_S$  entonces, exista  $u \in S$  de forma que al siguiente diagrama conmuta



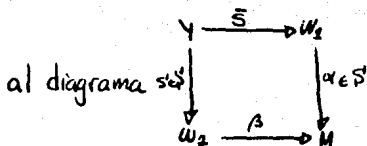
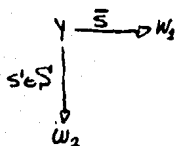
Por hipótesis existe  $\alpha: X''' \rightarrow X''$  con  $X''' \in D$  de forma que  $\alpha \circ u \in S$ . Luego  $(s, x', a) = (t, z, b)$  en  $D \cap D_0$ .

Caso ii) Supongamos que  $\overline{j(s, x', a)} = \overline{j(s', x'', a')}$  en  $C_S$ . Entonces existan  $f: X''' \rightarrow X'$ ,  $g: X''' \rightarrow X''$ ,  $u: X''' \rightarrow X$  con  $X \in S$  tal que conmuta al siguiente diagrama

en donde tenemos

$$\begin{cases} \text{i) } a \cdot \bar{s} = s \cdot \bar{a} \\ \text{ii) } a' \cdot \bar{s}' = s' \cdot \bar{a}' \end{cases}$$

Análogamente usando (FR2) podemos completar el diagrama



Así tenemos

$$2) \bar{s} \cdot \alpha = \bar{s}' \cdot \beta$$

Observa que  $Y, W_1, W_2$  están en  $D$ , esto implica que  $M \in D$ .  
Sea  $r := \bar{s} \cdot \beta$ , al cual pertenecerá a  $S \cap D$ . De donde deducimos

$$3) \bar{s} \cdot \alpha = r = \bar{s}' \cdot \beta$$

Por (ii) tenemos

$$4) f \cdot a' \cdot r = g \cdot a' \cdot r$$

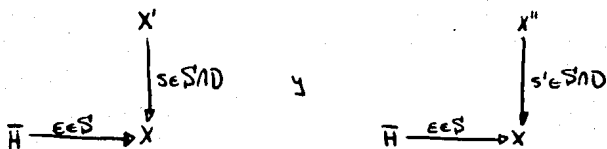
por (3) tenemos

$$5) f \cdot a \cdot \bar{s} \cdot \alpha = g \cdot a' \cdot \bar{s}' \cdot \beta$$

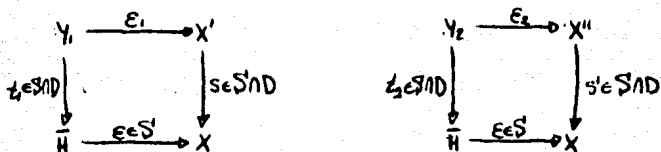


de (FR3) exista  $\bar{H} \in D$  y  $\epsilon: \bar{H} \rightarrow X$  en  $SND$  tal que  
 10)  $\epsilon \cdot \bar{\alpha} \cdot \alpha = \epsilon \cdot \bar{\alpha}' \cdot \beta$ .

Por (FR2) los diagramas



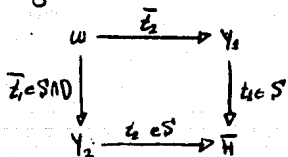
los diagramas



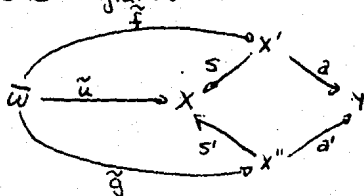
con  $Y_1, Y_2$  en  $D$ , de donde se tiene

$$\begin{cases}
 \text{(i)} & \epsilon_2 \cdot s = \epsilon_1 \cdot \epsilon \\
 \text{(ii)} & \epsilon_2 \cdot s' = \epsilon_1 \cdot \epsilon
 \end{cases}$$

Análogamente exista  $W \in D$  y un diagrama conmutativo



Sean  $\tilde{f} := \phi \cdot \bar{e}_2 \cdot \epsilon_1$ ,  $\tilde{g} := \phi \cdot \bar{e}_1 \cdot \epsilon_2$  y  $\tilde{u} := \phi \cdot \bar{e}_1 \cdot \epsilon_2 \cdot \epsilon_1 \cdot \epsilon_1$ , con  $\tilde{u} \in \text{ND}$ . Se afirma que estos morfismos hacen conmutar al siguiente diagrama



En efecto,

$$\tilde{f} \cdot a = \phi \cdot \bar{e}_2 \cdot \epsilon_2 \cdot a = \phi \cdot \bar{e}_1 \cdot \epsilon_2 \cdot a' = \tilde{g} \cdot a' \quad \begin{matrix} (\text{Def } \tilde{f}) \\ (13) \\ (\text{Def } \tilde{g}) \end{matrix}$$

$$\tilde{f} \cdot s = \phi \cdot \bar{e}_2 \cdot \epsilon_2 \cdot s = \phi \cdot \epsilon_2 \cdot \epsilon_1 \cdot \epsilon_1 = \phi \cdot \bar{e}_2 \cdot \epsilon_1 \cdot \epsilon_1 = \tilde{u} \quad \begin{matrix} (\text{Def } \tilde{f}) \\ (11) \\ (12) \end{matrix}$$

$$\tilde{g} \cdot s = \phi \cdot \bar{e}_1 \cdot \epsilon_2 \cdot s = \phi \cdot \bar{e}_1 \cdot \epsilon_2 \cdot \epsilon_1 = \tilde{u} \quad (\text{Def } \tilde{g})$$

Esta afirmación demuestra que  $\overline{(s, x', a)} = \overline{(s', x'', a')}$  en  $D_{3\text{ND}}$ . Por tanto,  $\tilde{f}$  es fiel. □

## Demostración

Basta demostrar (FR2), (FR3) y (FR5) pues (FR1) y (FR4) se satisfacen trivialmente.

Se satisface (FR5): Sean  $(X, Y, Z, u, v, w)$  y  $(X', Y', Z', u', v', w')$  triángulos en  $\mathcal{C}$  y  $f: X \rightarrow X', g: Y \rightarrow Y'$  morfismos en  $\mathcal{S}$ , tales que  $u' \circ g = f \circ u$ . Por (TR3) existe  $h: Z \rightarrow Z'$  que hace a  $(f, g, h): (X, Y, Z, u, v, w) \rightarrow (X', Y', Z', u', v', w')$  un morfismo de triángulos. Aplicando la sucesión larga de cohomología obtenemos el siguiente diagrama conmutativo.

$$\begin{array}{ccccccccc} \cdots & \rightarrow & H(T^i X) & \xrightarrow{H(T^i u)} & H(T^i Y) & \xrightarrow{H(T^i v)} & H(T^i Z) & \xrightarrow{H(T^i w)} & H(T^{i+1} X) & \xrightarrow{H(T^{i+1} u)} & H(T^{i+1} Y) & \rightarrow \cdots \\ & & \downarrow H(T^i f) & & \downarrow H(T^i g) & & \downarrow H(T^i h) & & \downarrow H(T^{i+1} f) & & \downarrow H(T^{i+1} g) & \\ \cdots & \rightarrow & H(T^i X') & \xrightarrow{H(T^i u')} & H(T^i Y') & \xrightarrow{H(T^i v')} & H(T^i Z') & \xrightarrow{H(T^i w')} & H(T^{i+1} X') & \xrightarrow{H(T^{i+1} u')} & H(T^{i+1} Y') & \rightarrow \cdots \end{array}$$

dada  $H(T^i f), H(T^i g), H(T^{i+1} f), H(T^{i+1} g)$  son isomorfismos. Por el lema del cinco  $H(T^i h)$  es iso, para todo  $i \in \mathbb{Z}$ . Así que  $h \in \mathcal{S}$ .

Se satisface (FR2): Consideremos el siguiente diagrama:

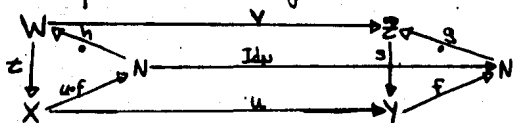


donde se  $\in S$ . Por (TR1) exista un triángulo  $(Z, Y, N, s, f, g)$ . Análogamente usando (TR1) y (TR2) podemos demostrar que exista un triángulo  $(W, X, N, z, u, f, h)$ .

Como  $u \circ f = (u \circ f) \circ \text{Id}_N$ , por (TR3) exista un morfismo  $v: W \rightarrow Z$  que hace a la terna

$$(u, \text{Id}_N, v): (W, X, N, z, u, f, h) \rightarrow (Z, Y, N, s, f, g)$$

un morfismo de triángulos:



De donde se tiene que  $vs = z \circ u$ . Resta chequear que  $z \in S$ .

Para esto consideraremos el triángulo  $(Z, Y, N, s, f, g)$  y la sucesión exacta larga asociada:

$$\dots \rightarrow H(T^1_Z) \xrightarrow{H(T^1_s)} H(T^1_Y) \xrightarrow{H(T^1_f)} H(T^1_N) \xrightarrow{H(T^1_g)} H(T^1_Z) \xrightarrow{H(T^1_s)} H(T^1_Y) \rightarrow \dots$$

- i') exista  $s: Y \rightarrow Y'$  en  $S$  tal que  $f \circ s = 0$   
 ii') exista  $z: X' \rightarrow X$  en  $S$  tal que  $z \circ f = 0$

Supongamos que  $s: Y \rightarrow Y'$  en  $S$  es tal que  $f \circ s = 0$ . Por (TR1) y (TR2) podamos encontrar un triángulo  $(Z, Y, Y', v, s, u)$  para un  $Z$  apropiado.

Como  $f \circ s = 0$  por la proposición (4.2) (b) exista un morfismo  $g: X \rightarrow Z$  tal que  $g \circ v = f$ . También por (TR1) y (TR2) podamos encontrar un triángulo  $(X', X, Z, z, g, w)$  para  $X'$  apropiado. Por la misma proposición aplicada a este segundo triángulo la existencia de  $v$  implica que  $z \circ f = 0$ . Necesitamos demostrar que  $Z \in S$ . Dado que  $s \in S$ ,  $H(T^i Z) = 0$  para todo  $i \in \mathbb{Z}$ , por la sucesión larga de cohomología, así  $Z \in S$ .

la implicación ii')  $\Rightarrow$  i') es similar.

□

Y supongamos que  $N^\bullet$  y  $s$  son de la siguiente forma

$$\begin{array}{ccccccc}
 X^\bullet & : & \rightarrow 0 & \rightarrow 0 & \rightarrow X^0 & \xrightarrow{\partial_1^0} & X^1 & \xrightarrow{\partial_2^1} & X^2 & \xrightarrow{\partial_3^2} & \dots & \rightarrow X^n & \xrightarrow{\partial_{n+1}^n} & \dots \\
 S \downarrow & & & & \downarrow S^0 & & \downarrow S^1 & & \downarrow S^2 & & & & \downarrow S^n & & \\
 N^\bullet & : & \rightarrow N^{-2} & \xrightarrow{\partial_1^{-2}} & N^{-1} & \xrightarrow{\partial_2^{-1}} & N^0 & \xrightarrow{\partial_3^0} & N^1 & \xrightarrow{\partial_4^1} & N^2 & \xrightarrow{\partial_5^2} & \dots & \rightarrow N^n & \xrightarrow{\partial_{n+1}^n} & \dots
 \end{array}$$

Sean  $X^\bullet \in \mathcal{K}^+(A)$  y  $S^\bullet: N^\bullet \rightarrow X^\bullet$  definidos de la siguiente forma:

$$\begin{array}{ccccccc}
 N^\bullet & : & \dots & \rightarrow N^{-2} & \xrightarrow{\partial_1^{-2}} & N^{-1} & \xrightarrow{\partial_2^{-1}} & N^0 & \xrightarrow{\partial_3^0} & N^1 & \xrightarrow{\partial_4^1} & N^2 & \xrightarrow{\partial_5^2} & \dots & \rightarrow N^n & \xrightarrow{\partial_{n+1}^n} & \dots \\
 S^\bullet \downarrow & & & \downarrow & & \downarrow \text{Id}_{N^{-1}} & & \downarrow \text{Id}_{N^0} & & \downarrow \text{Id}_{N^1} & & \downarrow \text{Id}_{N^2} & & & & \downarrow \text{Id}_{N^n} & & \\
 X^\bullet & : & \dots & \rightarrow 0 & \rightarrow 0 & \rightarrow N^0 & \xrightarrow{\partial_3^0} & N^1 & \xrightarrow{\partial_4^1} & N^2 & \xrightarrow{\partial_5^2} & \dots & \rightarrow N^n & \xrightarrow{\partial_{n+1}^n} & \dots
 \end{array}$$

claramente  $S^\bullet S^\bullet \in \mathcal{K}^+(A) \cap \mathcal{Q}is$ . Luego (ii) de (3.6.3) se satisface y así  $D^+(A) = (D^+(A), \mathcal{T}_{D^+(A)}, \mathcal{I}_{D^+(A)})$  es subcategoría triangulada de  $D(A) = (D(A), \mathcal{T}_A, \mathcal{I}_A)$ .

4.3.2 Análogamente si  $X^\bullet \in \mathcal{K}^-(A)$  y  $S^\bullet: N^\bullet \rightarrow X^\bullet$  tal que  $S^\bullet \in \mathcal{Q}is$

Sean  $X^\bullet$  y  $S^\bullet: X^\bullet \rightarrow N^\bullet$  tal que

$$\begin{array}{ccccccc}
 X^\bullet & : & \dots & \rightarrow N^n & \xrightarrow{\partial_{n+1}^n} & N^{n-1} & \xrightarrow{\partial_n^{n-1}} & \dots & \rightarrow N^1 & \xrightarrow{\partial_2^1} & N^0 & \xrightarrow{\partial_1^0} & \dots & \rightarrow 0 & \rightarrow 0 & \dots \\
 S^\bullet \downarrow & & & \downarrow \text{Id}_{N^n} & & \downarrow \text{Id}_{N^{n-1}} & & & \downarrow \text{Id}_{N^1} & & \downarrow \text{Id}_{N^0} & & & & & & \\
 N^\bullet & : & \dots & \rightarrow N^n & \xrightarrow{\partial_{n+1}^n} & N^{n-1} & \xrightarrow{\partial_n^{n-1}} & \dots & \rightarrow N^1 & \xrightarrow{\partial_2^1} & N^0 & \xrightarrow{\partial_1^0} & \dots & \rightarrow N^0 & \xrightarrow{\partial_1^0} & N^1 & \xrightarrow{\partial_2^1} & \dots
 \end{array}$$

los cuales son tales que  $S^\bullet S^\bullet \in \mathcal{K}^-(A) \cap \mathcal{Q}is$ , y así  $D^-(A) = (D^-(A), \mathcal{T}_{D^-(A)}, \mathcal{I}_{D^-(A)})$  es subcategoría triangulada de  $D(A) = (D(A), \mathcal{T}_A, \mathcal{I}_A)$ .

Observa que  $D^+(A) \cap D^-(A) = D^0(A)$ .

4.4 Sea  $\mathcal{A}$  categoría abeliana. Sea  $i_A: A \rightarrow K(A)$  la composición de la inmersión plana  $\mathcal{I}_A$  descrita en (2.2.2) y al funtor  $\Pi: C(A) \rightarrow K(A) := C(A)/N$ .

Por último sea  $F$  la composición  $i_A \circ Q$  de  $i_A$  seguida del funtor localización  $Q: K(A) \rightarrow D(A)$ . Así para cada  $X \in \text{Ob } \mathcal{A}$  y  $f \in \text{Hom}_{\mathcal{A}}(X, Y)$ ,  $FX$  es un complejo concentrado a nivel cero y  $Ff = (\text{Id}_{FX}, FX, f)$  donde  $f: FX^0 \rightarrow FY^0$  es el morfismo de complejos tal que  $f^n = 0$  si  $n \neq 0$  y  $f^0 = f$ .

4.4.1 Proposición:  $F$  determina una equivalencia entre  $\mathcal{A}$  y la subcategoría plana de  $D(\mathcal{A})$  formada por los complejos  $Y'$  tal que  $H^n(Y') = 0$  para todo  $n \neq 0$ .

Demostración

i) F es fiel

Sean  $f, g \in \text{Hom}_{\mathcal{A}}(X, Y)$  tales que  $F(f) = F(g)$ . Por definición de  $F$  tenemos que  $F(f) = (\text{Id}_{FX}, FX, f)$  y  $F(g) = (\text{Id}_{FY}, FY, g)$ . Esto implica que existan  $\alpha: X'' \rightarrow FX$ ,  $\beta: X'' \rightarrow FY$  y  $s: X'' \rightarrow FX$  con  $s \in Q$  tal que  $\alpha \cdot \text{Id}_{FX} = s = \beta \cdot \text{Id}_{FY}$  y  $\alpha \cdot f = \beta \cdot g$ ; esto permite concluir que  $\alpha = s = \beta$  y  $s \cdot f = s \cdot g$ . En particular tenemos que  $s \circ f = s \circ g$ .

Por ser  $s$  un casi-isomorfismo,  $s^0: X''^0 \rightarrow X^0$  es un epimorfismo. Luego,  $f^0 = g^0$  y así  $F$  es fiel.

ii) F es denso

Sea  $x \in D(\mathcal{A})$  tal que  $H^n(x) = 0$  si  $n \neq 0$  y es distinto de cero si  $n = 0$ .

Sea  $i: \text{Kar}_{\mathcal{A}}^0 \rightarrow x^0$  la inclusión de  $\text{Kar}_{\mathcal{A}}^0$  en  $x^0$ , considere el siguiente diagrama conmutativo:

$$\begin{array}{ccccccc}
 \cdots & \rightarrow & X^2 & \xrightarrow{\partial_x^2} & X^1 & \xrightarrow{\partial_x^1} & \text{Ker } \partial_x^0 \rightarrow \cdots \\
 & & \downarrow \text{Id}_{X^2} & & \downarrow \text{Id}_{X^1} & & \downarrow i \\
 \cdots & \rightarrow & X^2 & \xrightarrow{\partial_x^2} & X^1 & \xrightarrow{\partial_x^1} & X^0 \xrightarrow{\partial_x^0} X^{-1} \xrightarrow{\partial_x^{-1}} X^{-2} \rightarrow \cdots
 \end{array}$$

Consideraremos al complejo truncado

$$X^m : \cdots \rightarrow X^m \xrightarrow{\partial_x^m} X^{(m-1)} \rightarrow \cdots \rightarrow X^2 \xrightarrow{\partial_x^2} X^1 \xrightarrow{\partial_x^1} \text{Ker } \partial_x^0 \rightarrow \cdots$$

Sea  $\psi$  el siguiente morfismo de complejos

$$\begin{aligned}
 \psi^n : X^n &\rightarrow X^n \text{ tal que} \\
 \psi^n &= 0 \text{ si } n > 0 \\
 \psi^m &= \text{Id}_{X^m} \text{ si } n < 0 \\
 \psi^0 &= i
 \end{aligned}$$

entonces  $\psi$  es un casi-isomorfismo. A si,  $X^i$  y  $X^i$  son isomorfos en  $D(A)$ .

$$\text{Sea } \pi : \text{Ker } \partial_x^0 \rightarrow \frac{\text{Ker } \partial_x^0}{\text{Im } \partial_x^{-1}} =: H^0(X)$$

la proyección canónica en  $A$ .

$$\begin{aligned}
 \text{Sea } \varphi : X^i &\rightarrow FH^0(X) \text{ tal que} \\
 \varphi^n &= 0 \text{ si } n \neq 0 \\
 \varphi^0 &= \pi
 \end{aligned}$$

por construcción  $\varphi$  es un casi-isomorfismo. Lo que implica que  $X^i$  es isomorfo a  $FH^0(X)$  en  $D(A)$ .



4.6 Sea  $s: X' \rightarrow Y'$  un morfismo de complejos, decimos que  $s$  tiene inverso homotópico por la derecha (resp. por la izquierda) si existe  $z: Y' \rightarrow X'$  tal que  $z \circ s \sim \text{id}_X$  (resp.  $z \circ s \sim \text{id}_Y$ ).

Lema: Sea  $A$  categoría abeliana y sea  $s: I' \rightarrow Y'$  un morfismo de complejos de objetos de  $A$ . Supongamos que

- i)  $M^n(s)$  es isomorfismo para todo  $n \in \mathbb{Z}$ .
- ii)  $I^p$  es inyectivo, para todo  $p \in \mathbb{Z}$ .
- iii)  $I$  es acotado por abajo.

Entonces  $s$  tiene inverso homotópico por la derecha.

### Demostración

Sea  $s: I' \rightarrow Y'$  un morfismo que satisfaga las hipótesis del lema.

Consideramos el triángulo

$$I' \xrightarrow{s} Y' \xrightarrow{v_s} C'(s) \xrightarrow{w_s} 0 \rightarrow I \quad (\text{ver 2.1.1 y 2.1.2}).$$

Aplicando al funtor cohomológico dado en (2.7) se ve fácilmente que  $C'(s)$  es acíclico. Así el morfismo

$w_s: C'(s) \rightarrow 0 \rightarrow I$  satisface las condiciones del lema (4.5).

Luego  $w_s$  es homotópico a cero.

En consecuencia existe un morfismo  $z: Y' \rightarrow I'$  que hace conmutar al siguiente diagrama:

$$\begin{array}{ccccccc}
 \text{TC}(s) & \xrightarrow{U_s} & I & \xrightarrow{s} & Y & \xrightarrow{V_s} & \text{DC}(s) \\
 \text{Tr} \downarrow & & \text{Id}_I \downarrow & & z \downarrow & & r \downarrow \\
 0 & \xrightarrow{\quad} & I & \xrightarrow{\text{Id}_I} & I & \xrightarrow{\quad} & 0
 \end{array}$$

Esto demuestra que  $s = z \circ \text{Id}_I$ .

□

Observación: Observa que el dual del lema (4.5) también es cierto.

Esto permite ver que el dual de (4.6.1) también lo es.

4.7 Sea  $A$  categoría abeliana y sea  $\mathcal{O}$  la subcategoría (aditiva) de objetos inyectivos de  $A$ . Por la observación (1.3)  $k^+(\mathcal{O})$  es una subcategoría triangulada de  $k^+(A)$ . Sea  $i: k^+(\mathcal{O}) \rightarrow k^+(A)$  el funtor inclusión, al cual es un  $\mathcal{O}$ -funtor por definición.

Por (1.4) y (4.2)  $k^+(\mathcal{O})_{\text{inj}}$  es un sistema multiplicativo compatible con la triangulación. Denotamos por  $D^+(\mathcal{O})$  a la localización  $k^+(\mathcal{O})_{\text{inj}}$ .

Denotamos por  $Q_{\mathcal{O}}: k^+(\mathcal{O}) \rightarrow D^+(\mathcal{O})$  al funtor localización.

4.7.1 Lema:  $Q_{\mathcal{O}}: k^+(\mathcal{O}) \rightarrow D^+(\mathcal{O})$  es fiel y pleno.

Demostración

a)  $Q_{\mathcal{O}}$  es fiel

Sean  $a, b \in \text{Hom}_{k^*(d)}(X', Y')$ , tales que  $Q(a) = Q(b)$  (i.e.  $(\text{Id}_X, X', a) = (\text{Id}_X, X', b)$  en  $D^*(d)$ ), esto implica que exista  $z \in k^*(d)$  y  $s: z \rightarrow X'$  en  $k^*(d)$  tal que  $s \cdot a = s \cdot b$ .

Por (FR3) exista  $t: Y' \rightarrow Y''$  con  $t \in k^*(d)$  tal que  $a \cdot t = b \cdot t$ . Por (4.6)  $t$  tiene inverso homotópico, digamos  $h: Y'' \rightarrow Y'$ . Entonces se tiene  $a = a \cdot t \cdot h = b \cdot t \cdot h = b \circ \text{ank}^*(d)$ .  
Luego  $Q_d$  es fiel.

b)  $Q_d$  es plano

Sea  $(s, X', a) \in \text{Hom}_{k^*(d)}(X, Y)$ . Por (FR2) exista el siguiente diagrama conmutativo

$$\begin{array}{ccc} X' & \xrightarrow{a} & Y \\ s \downarrow & & \downarrow \bar{s} \\ X & \xrightarrow{\bar{a}} & Y' \end{array}$$

donde  $\bar{s} \in k^*(d)$  y  $\bar{a} = a \cdot \bar{s} = s \cdot \bar{a}$ .

Ya que  $\bar{a} \in k^*(d)$  y  $\bar{s} \in Q_d$  exista  $t: Y' \rightarrow Y$  inverso homotópico de  $\bar{s}: Y' \rightarrow Y$ . Así  $\bar{s} \circ t = \text{Id}_Y$ .

Componiendo con  $t: Y' \rightarrow Y$  la ecuación en tenemos:

$$a = a \cdot \text{Id}_Y = a \cdot \bar{s} \cdot t = s \cdot \bar{a} \cdot t$$

Esto demuestra que  $(s, X', a) = (\text{Id}_X, X, \bar{a} \circ t)$  pues el siguiente diagrama conmuta.

$$\begin{array}{ccc}
 k^+(\mathcal{A}) & \xrightarrow{Q_{\mathcal{A}}} & D^+(\mathcal{A}) \\
 \alpha \downarrow & \searrow j & \\
 D^+(A) & & 
 \end{array}$$

Por tanto si queremos demostrar que  $\alpha$  es fiel y pleno, basta demostrar que  $Q_{\mathcal{A}}$  y  $j$  lo son.

Por el lema (4.7.1)  $Q_{\mathcal{A}}$  es fiel y pleno.

Por (4.6.1) la condición (ii) de (3.6.2) es satisfecha para  $k^+(\mathcal{A})$  y  $Q_{\mathcal{A}}$ ; luego  $j: D^+(\mathcal{A}) \rightarrow D^+(A)$  es fiel y pleno.

□

**4.7.3 Observación:** Se puede demostrar que si  $A$  tiene suficientes inyectivos (i.e., si cada objeto de  $A$  admite una inyección en algún objeto inyectivo) entonces  $\alpha$  es una equivalencia de categorías trianguladas. Ver por ejemplo a [Ha, Prop. 4.7].

**4.7.4** Sea  $X' = \{X^n, \partial^n\}_{n \in \mathbb{Z}}$  un complejo.

Supongamos que  $X^n = 0$  para  $i < r$  y  $s < i$  y  $X^r \neq 0 \neq X^s$ . Entonces el ancho  $w(X')$  de  $X'$  es por definición igual a  $s - r + 1$ .

**4.7.5** Sea  $A$  categoría abeliana y sea  $\mathcal{A}$  la subcategoría (aditiva) de objetos inyectivos de  $A$ . Por consideraciones semejantes a las hechas en (4.7) podemos decir que:

1)  $k^b(\mathcal{A})$  es subcategoría triangulada de  $k^b(A)$ .  
Llamamos  $i^b: k^b(\mathcal{A}) \rightarrow k^b(A)$  a la inclusión de  $k^b(\mathcal{A})$  en  $k^b(A)$ .

2)  $k^b(\mathcal{A}) \cap Q^b$  es un sistema multiplicativo compatible con la triangulación.  
Llamemos  $Q^b: k^b(\mathcal{A}) \rightarrow D^b(\mathcal{A})$  al funtor localización.

3) Es fácil demostrar que  $Q^b: k^b(\mathcal{A}) \rightarrow D^b(\mathcal{A})$  es fiel y plano (prueba análoga a la de 4.7.1).

Como en (4.7.2) sea  $\alpha^b: k^b(\mathcal{A}) \rightarrow D^b(A)$  el  $\mathcal{A}$ -functor dado por la composición  $i^b \circ Q^b$ , donde  $Q^b: k^b(\mathcal{A}) \rightarrow D^b(\mathcal{A})$  es el funtor localización.

Proposición: Sea  $A$  categoría abeliana tal que  $\dim \text{gl iny } A < \infty$ . Sea  $\mathcal{A}$  la subcategoría (aditiva) de objetos inyectivos de  $A$ . Entonces el funtor

$$\alpha^b: k^b(\mathcal{A}) \rightarrow D^b(A)$$

es una equivalencia de categorías trianguladas.

Demostración

a)  $\alpha^b$  es fiel y plano.

Esto se sigue fácilmente de la demostración de (4.7.2).

b)  $\alpha^b$  es denso.

Para demostrar que  $\alpha^b$  es denso, procedamos por inducción en el ancho  $w(x')$ , de  $x'$ .

i)  $w(x') = 1$

Sin pérdida de generalidad podemos suponer que  $x'$  es un complejo concentrado a nivel cero.

Sea  $0 \rightarrow x^0 \xrightarrow{r} I^1 \xrightarrow{\delta_1} I^2 \xrightarrow{\delta_2} \dots \xrightarrow{\delta_{r-1}} I^r \rightarrow 0$

una resolución inyectiva para  $x^0 \in A$ .

Sean  $I' \in k^+(d)$  y  $\tilde{r}: x^0 \rightarrow I'$  definidos por el siguiente diagrama

$$\begin{array}{ccccccccccc}
 X' : & \dots & \rightarrow & 0 & \rightarrow & x^0 & \rightarrow & 0 & \rightarrow & \dots & \rightarrow & 0 & \rightarrow & 0 & \rightarrow & \dots \\
 \tilde{r} \downarrow & & & \downarrow & & \downarrow r & & \downarrow & & & & \downarrow & & \downarrow & & \downarrow \\
 I' : & \dots & \rightarrow & 0 & \rightarrow & I^1 & \xrightarrow{\delta_1} & I^2 & \xrightarrow{\delta_2} & \dots & \rightarrow & I^r & \rightarrow & 0 & \rightarrow & \dots
 \end{array}$$

Claramente  $\tilde{r} \in Qis$ . En consecuencia  $x^0 \cong I'$  en  $D^b(A)$  y así  $\alpha^b$  es denso si  $w(x') = 1$ .

ii) Supongamos que para todo complejo  $Y \in D^b(A)$  tal que  $w(Y) \leq n-1$  existe  $I' \in k^+(d)$  tal que  $\alpha^b(I') \cong Y$ .

Sea  $x' := (x^i, \alpha^i)_{i \in \mathbb{Z}}$  mez en  $D^b(A)$  tal que  $w(x') = n$ .

Por demostrar que existe  $I' \in k^+(d)$  tal que  $\alpha^b(I') \cong x'$ .

Sin pérdida de generalidad podemos suponer que  $x^m = 0$  si  $m < 0$  y  $x^0 \neq 0$ .

4.7.6 Aquí  $A$  denota una  $k$ -álgebra, sobre un campo algebraicamente cerrado (de característica arbitraria), de dimensión finita.

Por  $A\text{-mod}$  denotamos la categoría de  $A$ -módulos izquierdos finitamente generados.

Corolario: Sea  $A$  una  $k$ -álgebra de dimensión global finita. Sea  $\text{mod}$  la subcategoría plana de  $A\text{-mod}$  de objetos inyectivos. Entonces  $k^b(\text{mod})$  es equivalente triangular a  $D^b(A\text{-mod})$ .

□

4.8 Sean  $\text{mod}$  y  $\text{mod}$  las subcategorías planas de  $A$ -módulos, definidos por los objetos proyectivos e inyectivos respectivamente. Denotamos por  $\nu$  el functor de Nakayama definido por  $\nu := D\text{Hom}_A(-, A)$ , para más información ver por ejemplo [62] o [Ri6]. En el capítulo II secciones (3.6.1) y (3.6.2) se prueba que  $\nu$  induce una equivalencia triangular entre  $k^b(\text{mod})$  y  $k^b(\text{mod})$ .

Corolario: Las categorías  $k^b(\text{mod})$ ,  $k^b(\text{mod})$  y  $D^b(A\text{-mod})$  son equivalentes como categorías trianguladas.

4.9 Lema: Si  $X' \cong Y'$  en  $D(A)$  entonces  $H^n(X') \cong H^n(Y')$  para todo  $n \in \mathbb{Z}$ . Donde  $H^n$  se define en (2.7).

### Demostración

Sea  $f: X' \rightarrow Y'$  un isomorfismo de  $X'$  a  $Y'$  en  $D(A)$ . Sea  $g: Y' \rightarrow X'$  el inverso de  $f$  en  $D(A)$ . Por (1.2(c)) exista  $h: C'(f) \rightarrow 0$  isomorfismo en  $D(A)$  que hace conmutativo el siguiente diagrama:

$$\begin{array}{ccccccc}
 X' & \xrightarrow{f} & Y' & \xrightarrow{V_f} & C'(f) & \xrightarrow{W_f} & TX' \\
 \downarrow & & \downarrow g & & \downarrow h & & \downarrow \\
 X' & \xrightarrow{\cong} & X' & \longrightarrow & 0 & \longrightarrow & TX'
 \end{array}$$

Luego tenemos el siguiente diagrama conmutativo:

$$\begin{array}{cccccccc}
 \dots & \rightarrow & H^n(X') & \xrightarrow{H^n(f)} & H^n(Y') & \xrightarrow{H^n(V_f)} & H^n(C'(f)) & \xrightarrow{H^n(W_f)} & H^n(TX') & \xrightarrow{H^n(h)} & H^n(Y') & \xrightarrow{H^n(V_f)} & \dots \\
 & & \downarrow H^n(g) & & \downarrow H^n(g) & & \downarrow H^n(h) & & \downarrow H^n(g) & & \downarrow H^n(g) & & \\
 \dots & \rightarrow & H^n(X') & \xrightarrow{H^n(1_{X'})} & H^n(X') & \rightarrow & 0 & \rightarrow & H^n(X') & \xrightarrow{H^n(1_{TX'})} & H^n(TX') & \rightarrow & \dots
 \end{array}$$

Por el lema del cinco  $H^n(h)$  es un isomorfismo de grupos abelianos. Luego  $H^n(C'(f)) = 0$  para todo  $n \in \mathbb{Z}$ .  
 Observe que  $Y' \xrightarrow{V_f} C'(f) \xrightarrow{W_f} TX'$  es una sucesión exacta corta en  $A$  para todo  $n \in \mathbb{Z}$ . De esto se concluye que  $H^n(C'(f)) = H^n(Y') + H^n(TX') = H^n(Y') + H^n(X') = H^n(Y') - H^n(X')$  para todo  $n \in \mathbb{Z}$ . Luego  $H^n(X') = H^n(Y')$  para todo  $n \in \mathbb{Z}$ .  $\square$



Por (TR1) el morfismo  $u: X^* \rightarrow Y^*$  forma parte de un triángulo, como el siguiente

$$X^* \xrightarrow{u} Y^* \xrightarrow{V_u} C^*(u) \xrightarrow{W_u} TX^*$$

Sea  $g: C^*(u) \rightarrow Z^*$  tal que

$$g^i: X^i \oplus Y^i \rightarrow Z^i$$

$$(a, b) \mapsto V^i(b)$$

por construcción

$$\begin{array}{ccc} Y^* & \xrightarrow{V_u} & C^*(u) \\ \text{Id}_{Y^*} \downarrow & & \downarrow g \\ Y^* & \xrightarrow{V} & Z^* \end{array}$$

es un diagrama conmutativo.

Usando la sucesión larga de cohomología para el triángulo  $(X^*, Y^*, C^*(u), u, V_u, W_u)$  y la sucesión larga de cohomología para la sucesión exacta corta  $0 \rightarrow X^* \xrightarrow{u} Y^* \xrightarrow{V} Z^* \rightarrow 0$  el siguiente diagrama es conmutativo

$$\begin{array}{ccccccccc} \rightarrow H^i(X^*) & \xrightarrow{H^i(u)} & H^i(Y^*) & \xrightarrow{H^i(V_u)} & H^i(C^*(u)) & \xrightarrow{H^i(W_u)} & H^i(TX^*) & \xrightarrow{H^i(u)} & H^i(Y^*) & \rightarrow \dots \\ \text{Id}_{H^i(X^*)} \downarrow & & \text{Id}_{H^i(Y^*)} \downarrow & & H^i(g) \downarrow & & \text{Id}_{H^i(TX^*)} \downarrow & & \text{Id}_{H^i(Y^*)} \downarrow & \\ \rightarrow H^i(Y^*) & \xrightarrow{H^i(u)} & H^i(Y^*) & \xrightarrow{H^i(V)} & H^i(Z^*) & \xrightarrow{w} & H^i(X^*) & \xrightarrow{H^i(u)} & H^i(Y^*) & \rightarrow \dots \end{array}$$

donde  $w$  es el homomorfismo de conexión. ver [RE].

donde por el lema del cinco  $H^1(g)$  es isomorfismo. De aquí que  $g$  es un casi-isomorfismo en  $K(A)$ .

Sea  $g^{\dagger}: Z^{\circ} \rightarrow C(A)$  el morfismo inverso de  $g$  en  $D(A)$ .

Por construcción, la sextupla  $(X^{\circ}, Y^{\circ}, Z^{\circ}, u, v, g^{\dagger}, w)$  es un triángulo en  $D(A)$  (ver 3.6.2). Lo cual concluye nuestra demostración (por 1.2.b).

□

5.3 Observación: Se sigue de la prueba que cuando

$$0 \rightarrow X^{\circ} \xrightarrow{u} Y^{\circ} \xrightarrow{v} Z^{\circ} \rightarrow 0$$

es una sucesión exacta corta de objetos de  $C(A)$  entonces existe un morfismo  $w: Z^{\circ} \rightarrow TX^{\circ}$  en  $D^0(A)$  que hace a la sextupla  $(X^{\circ}, Y^{\circ}, Z^{\circ}, u, v, w)$  un triángulo.

5.4 Proposición: Si  $A$  tiene suficientes proyectivos entonces para cada  $X, Y \in A$  el  $\text{Ext}_{D(A)}^i(X, Y)$  definido antes es el  $\text{Ext}_A^i(X, Y)$  usual en  $A$ .

Demostración

Antes, hagamos las siguientes consideraciones.

5.4.1 Sea  $X^{\bullet}$  un complejo concentrado a nivel cero

$$X^{\bullet}: \cdots \rightarrow 0 \rightarrow X^0 \rightarrow 0 \rightarrow \cdots$$

Sea  $\dots \rightarrow P^r \xrightarrow{d^r} P^{r-1} \xrightarrow{d^{r-1}} \dots \rightarrow P^1 \xrightarrow{d^1} P^0 \xrightarrow{\pi} X \rightarrow 0$   
 una resolución proyectiva de  $X^0$  en  $A$ .

A continuación definimos un complejo  $P^\bullet$  y un morfismo  $\pi^\bullet: P^\bullet \rightarrow X^\bullet$  como sigue

$$P^\bullet: \dots \rightarrow P^{r+1} \rightarrow P^r \xrightarrow{d^r} P^{r-1} \rightarrow \dots \rightarrow P^1 \xrightarrow{d^1} P^0 \rightarrow 0 \rightarrow \dots$$

donde  $P^{r+1}$  está en el nivel  $-(r+1)$ ,  $P^r$  en el nivel  $-r$  etc, etc. Y así se concluye que  $P^0$  está en el nivel cero, y  $d^i = d_i$  para  $i \in \{1, 2, \dots, r, r+1, \dots\}$ .

El morfismo de complejos  $\pi^\bullet: P^\bullet \rightarrow X^\bullet$  se define por

$$\begin{array}{ccccccccccc} P^\bullet: & \dots & \rightarrow & P^{r+1} & \rightarrow & P^r & \rightarrow & P^{r-1} & \rightarrow & \dots & \rightarrow & P^1 & \rightarrow & P^0 & \rightarrow & 0 & \rightarrow & \dots \\ \pi^\bullet \downarrow & & & \downarrow & & \downarrow & & \downarrow & & & & \downarrow & & \downarrow & & \downarrow & & \downarrow \\ X^\bullet: & \dots & \rightarrow & 0 & \rightarrow & 0 & \rightarrow & 0 & \rightarrow & \dots & \rightarrow & 0 & \rightarrow & X^0 & \rightarrow & 0 & \rightarrow & \dots \end{array}$$

Observación: Nota al lector que  $\pi$  es un casi-isomorfismo en  $k(A)$  y por tanto un isomorfismo en  $D(A)$ .

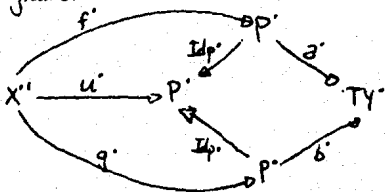
5.4.2 Lema: Sean  $X^\bullet, Y^\bullet \in D(A)$  concentrados a nivel cero. Entonces  $\text{Hom}_{D(A)}(X^\bullet, Y^\bullet) \cong \text{Hom}_{k(A)}(P^\bullet, Y^\bullet)$  donde  $P^\bullet$  es el complejo definido en 5.4.1.

Demostración

Con  $(Id_p, p', \pi') \in \text{Hom}_{\mathcal{D}(A)}(P', X')$  tenemos

$$\begin{aligned} (Id_p, p', a') &= (Id_p, p', \pi') \cdot (\pi', p', a') = (Id_p, p', \pi') \cdot (\pi', p', b') = \\ &= (Id_p, p', b') \end{aligned}$$

Si  $(Id_p, p', b') = (Id_p, p', a')$  entonces existe  $x' \in \text{Ob } K(A)$ ,  $f, g: X' \rightarrow P'$  y  $u': X' \rightarrow P' \in \mathcal{Q}(A)$  tal que el siguiente diagrama conmuta



se sigue que  $f = u = g$  y así  $u \cdot a = u \cdot b$ . Por la observación (4.6)  $u$  tiene inverso homotópico por la izquierda.

Entonces  $a = b$  en  $K(A)$  luego  $\Psi$  es inyectiva. Esto prueba que  $\Psi$  es un isomorfismo.

$\Psi$  es isomorfismo

Primero damos a  $\text{Hom}_{\mathcal{D}(A)}(X', TY')$  una estructura

$$\overline{(s_1, x_1', a)} + \overline{(r_1, x_1'', b)} = \overline{(s_1, x_1', a)} + \overline{(r_1, x_1'', b_1)}.$$

Esto demuestra la independencia de los representantes.

b) Es asociativa.

Sean  $\overline{(s_1, x_1, a_1)}$ ,  $\overline{(s_2, x_2, a_2)}$  y  $\overline{(s_3, x_3, a_3)} \in \text{Hom}_{D(M)}(X; T^c Y)$ .

$$\begin{aligned} & [\overline{(s_1, x_1, a_1)} + \overline{(s_2, x_2, a_2)}] + \overline{(s_3, x_3, a_3)} = \overline{(\pi, p', \alpha \cdot a_1 + \beta a_2)} + \overline{(s_3, x_3, a_3)} = \\ & = \overline{(\pi, p', \text{Id}_p \circ (\alpha a_1 + \beta a_2) + \gamma a_3)} = \overline{(\pi, p', (\alpha a_1 + \beta a_2) + \gamma a_3)} = \\ & = \overline{(\pi, p', \alpha a_1 + (\beta a_2 + \gamma a_3))} = \overline{(\pi, p', \alpha a_1 + \text{Id}_p \circ (\beta a_2 + \gamma a_3))} = \\ & = \overline{(\pi, p', a_1)} + \overline{(\pi, p', \text{Id}_p \circ (\beta a_2 + \gamma a_3))} = \\ & = \overline{(\pi, p', a_1)} + [\overline{(s_2, x_2, a_2)} + \overline{(s_3, x_3, a_3)}] \end{aligned}$$

lo que prueba la asociatividad de +.

c)  $\text{Hom}_{D(M)}(X; T^c Y)$  tiene neutro aditivo.

Sea  $(\pi, p', c) \in \text{Hom}_{D(M)}(X; T^c Y)$  donde  $c \in \text{Hom}_{D(M)}(P; T^c Y)$  y es el morfismo cero en el grupo  $\text{Hom}_{D(M)}(P; T^c Y)$ .

5.4.3 Lema: Sean  $X, Y \in D(A)$  concentrados a nivel cero y sea  $P^\bullet$  el complejo definido en 5.4.1. Entonces  $\text{Hom}_{K(A)}(P^\bullet, T^i Y) \cong \text{Ext}_A^i(X, Y)$  donde  $X^0 := X$  y  $Y^0 := Y$ .

### Demostración

Un morfismo  $f: P^\bullet \rightarrow T^i Y^\bullet$  en  $K(A)$  se va así:

$$\begin{array}{ccccccccccc}
 P^\bullet: & \dots & \rightarrow & P^{i+1} & \xrightarrow{\partial^{i+1}} & P^i & \xrightarrow{\partial^i} & P^{i-1} & \rightarrow & \dots & \rightarrow & P^0 & \rightarrow & 0 & \rightarrow & \dots \\
 f \downarrow & & & \downarrow & & \downarrow f^i & & \downarrow & & & & \downarrow & & \downarrow & & \\
 T^i Y^\bullet: & \dots & \rightarrow & 0 & \rightarrow & Y^0 & \rightarrow & 0 & \rightarrow & \dots & \rightarrow & 0 & \rightarrow & 0 & \rightarrow & \dots
 \end{array}$$

y es tal que  $\partial^{-(i+1)} \circ f^i = 0$ .

Teníamos que  $\dots \xrightarrow{\partial^{-2}} P^1 \xrightarrow{\partial^{-1}} P^0 \xrightarrow{\partial^0} X \rightarrow 0$  es una resolución proyectiva de  $X$ , así define un complejo:

$$0 \rightarrow \text{Hom}_A(X, Y) \xrightarrow{\partial^i} \text{Hom}_A(P^1, Y) \xrightarrow{\partial^i} \text{Hom}_A(P^0, Y) \xrightarrow{\partial^i} \text{Hom}_A(P^{-1}, Y) \rightarrow \dots$$

y, por definición,  $\text{Ext}_A^i(X, Y) = \frac{\text{Ker } \partial^{-(i+1)}}{\text{Im } \partial^{-i}}$ .

Las consideraciones hechas al principio de la demostración, muestran que:

$$\gamma: \text{Ker } \partial^{-(i+1)} \rightarrow \text{Hom}_{K(A)}(P^\bullet, T^i Y^\bullet) \text{ tal que } \gamma(g) = g^\bullet \text{ con } g^i = g \text{ y } g^j = 0 \text{ si } j \neq i.$$

Es morfismo sobre grupos (iban definido). Pero, resulta que  $\gamma(g)$  es homotópico a cero si y sólo si  $g$  se factoriza

por  $\partial p^i$  (i.e.  $g \in \text{Im } \partial p^{i*}$ ). Entonces  $f$  induce un isomorfismo  $\text{Ext}_R^i(x, y) \rightarrow \text{Hom}_{k(A)}(P^i, T^i y)$ .

□.

**CAPITULO II:**  
**CATEGORIAS DERIVADAS**  
**Y**  
**REPRESENTACION**  
**DE**  
**ALGEBRAS .**



## §1 Módulos de tildeo.

Sea  $A$  una  $k$ -álgebra de dimensión finita, la cual se supone de dimensión global finita a lo largo de este capítulo. En este capítulo también denotamos por  $D^b(A)$  ( $D(A)$ ,  $D^+(A)$ ,  $D^-(A)$ ) a la categoría  $D^b(A\text{-mod})$  donde  $A\text{-mod}$  es la categoría  $A$ -módulos izquierdos de dimensión finita, (respectivamente  $D(A\text{-mod})$ ,  $D^+(A\text{-mod})$  y  $D^-(A\text{-mod})$ ).

Sea  $M$  un  $A$ -módulo, entonces obtenemos de manera natural un funtor  $\gamma: K^b(\text{add}M) \rightarrow D^b(A)$ , el cual es la composición del funtor inclusión  $K^b(\text{add}M)$  en  $K^b(A\text{-mod})$  y el funtor localización  $Q: K^b(A\text{-mod}) \rightarrow D^b(A)$ . Entonces  $\gamma$  es  $\partial$ -funtor.

1.1 Lema: Supongamos que  $\text{Ext}_A^i(M, M) = 0$  para todo  $i > 0$ . Entonces  $\gamma$  es fiel y plano.

### Demostración

Sea  $M_1, M_2$  en  $K^b(\text{add}M)$ . Nos proponemos demostrar que  $\gamma$  induce un isomorfismo de  $\text{Hom}_{D^b(A)}(M_1, M_2)$  en  $\text{Hom}_{K^b(A)}(\gamma(M_1), \gamma(M_2))$ .

Para demostrarlo procedamos por doble inducción en el ancho,  $w(M_1)$  de  $M_1$  y en el ancho  $w(M_2)$  de  $M_2$ .

Caso I)  $w(M_1) = w(M_2) = 1$

Usando  $T$  o  $T^-$  podemos suponer que  $M_2$  es un complejo concentrado a nivel cero. Escribiremos  $M_2 = M_2$  con  $M_2 \in \text{add}M$ . Como  $w(M_1) = 1$ , exista  $M_1 \in \text{add}M$  tal que  $M_1 = T^i M_1$ .

Si  $i = 0$ , entonces  $\text{Hom}_{D^b(A)}(M_1, M_2) \cong \text{Hom}_A(M_1, M_2) \cong \text{Hom}_{K^b(\text{add}M)}(M_1, M_2)$ .  
(ver Cap I 4.4).

donde  $u_+ := \text{Hom}_{K(\text{add}M)}(M_i, u)$ ,  $\bar{u}_+ := \text{Hom}_{U(A)}(M_i, u)$ . (de manera

similar se definen  $v_+$ ,  $w_+$ ,  $(-Tu)_+$ ,  $\bar{v}_+$ ,  $\bar{w}_+$  y  $(-T\bar{u})_+$ . Ya que el ancho de  $T^0M_2^0$ ,  $M_2^0$ ,  $M_2^0$ ,  $T^0M_2^0$  es menor que  $r$  entonces  $\varphi_1, \varphi_2, \varphi_4, \varphi_5$  son isomorfismos por hipótesis de inducción.

Por el lema del cinco concluimos que  $\varphi_3$  es isomorfismo.

Caso III) Sea  $M_2$  un complejo arbitrario en  $K^b(\text{add}M)$ . Y supongamos que  $\varphi$  induce un isomorfismo.

$$\bar{\varphi} : \text{Hom}_{K(\text{add}M)}(X_i, M_2) \rightarrow \text{Hom}_{U(A)}(X_i, M_2)$$

Para cada complejo  $X_i \in K^b(\text{add}M)$  tal que  $w(X_i) \leq r-1$ . Sea  $M_i$  complejo de  $K^b(\text{add}M)$  tal que  $w(M_i) = r$ . Entonces  $\varphi$  induce un isomorfismo.

$$\bar{\varphi} : \text{Hom}_{K(\text{add}M)}(M_i, M_2) \rightarrow \text{Hom}_{U(A)}(M_i, M_2)$$

La demostración de esta afirmación es análoga a la demostración del caso II). □

1.2. Decimos que un  $A$ -módulo  $X$  tiene  $M$ -codimensión finita s/lo que denotamos por  $M\text{-codim}(X) = s$  si existe una sucesión exacta de la forma

$$0 \rightarrow X \rightarrow M_0 \rightarrow M_1 \rightarrow \dots \rightarrow M_s \rightarrow 0$$

con  $M_i \in \text{add}M$  para  $0 \leq i \leq s$  y  $s$  es el mínimo natural con esta propiedad.

Lema: Sea  $M$  un  $A$ -módulo tal que  $\text{Ext}_A^i(M, M) = 0$  para  $i > 0$  y suponga que  $A$  tiene  $M$ -codimensión finita. Entonces  $\dim \text{proy } M \leq r$  implica que  $M\text{-codim}(A) \leq \dim \text{proy } M$ .

### Demostración

Por hipótesis sabemos que existe una sucesión exacta de la forma:

$$0 \rightarrow A \rightarrow M_0 \xrightarrow{\partial^0} M_1 \xrightarrow{\partial^1} \dots \rightarrow M_{s-1} \xrightarrow{\partial^{s-1}} M_s \rightarrow 0, \text{ con } M_i \in \text{add } M,$$

donde  $s$  es mínima, esto es,  $K^{s-1} := \ker \partial^{s-1} = \text{Im } \partial^{s-2}$  no está en  $\text{add } M$ .

Supongamos que  $s > r$ . Se sigue que  $\text{Ext}_A^1(M, K^{s-1})$  es isomorfo a  $\text{Ext}_A^{s-1}(M, A) = 0$ , ya que  $\dim \text{proy } M \leq r < s$ . Luego, la sucesión  $0 \rightarrow K^{s-1} \rightarrow M_{s-1} \xrightarrow{\partial^{s-1}} M_s \rightarrow 0$  se ascinda y se tiene que  $K^{s-1} \in \text{add } M$ , contradicción. Así,  $s \leq r$ .

□

1.3. Proposición: Sea  $M$  un  $A$ -mod tal que  $\text{Ext}_A^i(M, M) = 0$  para todo  $i > 0$ . Sea  $P$  proyectivo indecible entonces la  $M$ -codim( $P$ )  $< \infty$  si la  $M$ -codim( $A$ )  $< \infty$ .

Para la demostración desarrollamos antes una serie de resultados auxiliares.

1.3.1 Sea  $M$  un  $A$ -mod tal que  $\text{Ext}_A^i(M, M) = 0$  para todo  $i > 0$ . Denotamos por  $B$  al anillo de endomorfismos de  $M$ .  $M$  tiene estructura de  $B$ -módulo derecho por  $m \cdot f := f(m)$ .

para cada  $m \in M$  y para cada  $f \in B$ , da la misma manera cada  $x \in \text{add } M$  tiene estructura de  $B$ -módulo derecho. Denotamos por  $\mathcal{B}$  la subcategoría plena  $B$ -módulos izquierdos proyectivos.

Lema:  $\text{Hom}_A(M, -) : \text{add } M \rightarrow \mathcal{B}$  es una equivalencia.

### Demostración

Sea  $\bigoplus_{i=1}^n M_i$  una descomposición de  $M$  en indecomposables entonces  $B = \bigoplus_{i=1}^n \text{Hom}_A(M, M_i)$  es una descomposición de  $B$  en proyectivos indecomposables. Sea  $B_i := \text{Hom}_A(M, M_i)$ .

Claramente  $\text{Hom}_A(M, -)$  es denso pues si  $X \in \mathcal{B}$  entonces  $X$  es isomorfo a una suma finita de  $X_i$  donde  $X_i$  es isomorfo a  $B_i$  para algún  $i \in \{1, \dots, n\}$ , pero ya que  $B_i \in \text{Im } \text{Hom}_A(M, -)$  entonces exista  $\bar{x} \in \text{add } M$  tal que  $\text{Hom}_A(M, \bar{x}) = X_i$ , lo cual demuestra que el funtor  $\text{Hom}_A(M, -)$  es denso.

Sólo resta demostrar que  $\text{Hom}_A(M_i, M_j)$  es isomorfo naturalmente a  $\text{Hom}_B(\text{Hom}_A(M, M_i), \text{Hom}_A(M, M_j))$  bajo el morfismo inducido por  $\text{Hom}_A(M, -)$ . Para esto demostraremos que  $M \otimes_B \text{Hom}_A(M, M_i)$  es isomorfo a  $M_i$ .

Para  $X \in A\text{-mod}$  definimos  $f_X : M \otimes_B \text{Hom}_A(M, X) \rightarrow X$ ,  $m \otimes f \mapsto f(m)$ .

Claramente,  $f_X$  es natural y  $f_M$  es iso. Luego si  $x \in \text{add } M$ ,  $f_X$  es iso.

Obtenemos entonces

$$\begin{aligned} \text{Hom}_B(\text{Hom}_A(M, M_i), \text{Hom}_A(M, M_j)) &\stackrel{\cong}{\leftarrow} \text{Hom}_A(M \otimes_B \text{Hom}_A(M, M_i), M_j) \stackrel{\cong}{\leftarrow} \\ &\cong \text{Hom}_A(M_i, M_j) \end{aligned}$$

donde  $\alpha$  es el isomorfismo dado por la adjunción y

$\mathcal{P}_{M_j}^* = \text{Hom}_A(\mathcal{P}_{M_j}, M_j)$ . Es fácil checar que la composición  $\mathcal{P}_{M_j}^* \circ a$  es igual a  $\text{Hom}_A(M_j, -)$ .  $\square$

1.3.2 Sea  $\mathcal{P}: A \rightarrow \text{End}_B(M_0)$ , donde

$$a \mapsto \mathcal{P}_a$$

$$\mathcal{P}_a: M \rightarrow M$$

$$m \mapsto am.$$

Claramente  $\mathcal{P}$  está bien definida,  $\mathcal{P}$  es un morfismo de álgebras  $\mathcal{P}_a$  es  $B$ -homomorfismo, para cada  $a \in A$ .

Lema: Supongamos que  $M$  es un  $A$ -módulo tal que  $\text{Ext}_A^i(M, M) = 0$  para todo  $i > 0$  y la  $M$ -codim  $(A) < \infty$ . Entonces  $\mathcal{P}$  es isomorfismo.

Demostración

Las mona:

Sea  $a \in A$  tal que  $\mathcal{P}_a = 0$ , esto implica que  $am = 0$  para todo  $m \in M$ .

Ya que  $M$ -codim  $(A) < \infty$ , exista un morfismo inyectivo  $i: A \rightarrow M_0$  con  $M_0 \in \text{add } M$ . Esto implica que  $i(a) = a i(1) = 0$ .

Las epi:

Como  $M$ -codim  $(A) < \infty$ , exista una sucesión exacta

$$0 \rightarrow A \xrightarrow{i} M_0 \xrightarrow{g_0} M_1 \xrightarrow{g_1} M_2 \rightarrow \dots \xrightarrow{g_{s-1}} M_s \rightarrow 0$$

Con  $M_i \in \text{add } M$ .

El functor  $\text{Hom}_A(-, M)$  induce una sucesión exacta

$$0 \rightarrow \text{Hom}_A(M_s, M) \xrightarrow{g_{s-1}^*} \text{Hom}_A(M_{s-1}, M) \rightarrow \dots \xrightarrow{g_0^*} \text{Hom}_A(M_0, M) \xrightarrow{i^*} M \rightarrow 0$$

En efecto, llamamos  $K_i = \ker g_i$ . Entonces la sucesión exacta

$$0 \rightarrow K_{s-1} \rightarrow M_{s-1} \xrightarrow{g_{s-1}} M_s \rightarrow 0 \text{ induce la sucesión exacta}$$

$$0 \rightarrow \text{Hom}_A(M_s, M) \xrightarrow{g_{s-1}^*} \text{Hom}_A(M_{s-1}, M) \rightarrow \text{Hom}_A(K_{s-1}, M) \rightarrow 0 \rightarrow 0 \rightarrow \text{Ext}_A^1(K_{s-1}, M) \rightarrow 0$$

Luego  $\text{Ext}_A^1(K_{s-1}, M) = 0$  y la sucesión

$$0 \rightarrow \text{Hom}_A(K_{s-1}, M) \rightarrow \text{Hom}_A(M_{s-2}, M) \rightarrow \text{Hom}_A(K_{s-2}, M) \rightarrow 0$$

es exacta y  $\text{Ext}_A^1(K_{s-2}, M) = 0$ . Continuando así, se checka la afirmación.

Sea  $b \in \text{End}_B(M)$ . Como cada  $\text{Hom}_A(M_i, M)$  es un  $B$ -módulo proyectivo obtenemos un diagrama conmutativo de  $B$ -módulos:

$$\begin{array}{ccccccc} 0 \rightarrow \text{Hom}_A(M_s, M) & \xrightarrow{g_{s-1}^*} & \text{Hom}_A(M_{s-1}, M) & \rightarrow \dots & \xrightarrow{g_0^*} & \text{Hom}_A(M_0, M) & \xrightarrow{i^*} M \rightarrow 0 \\ & & \downarrow b_{s-1} & & & \downarrow b_0 & \downarrow b \\ 0 \rightarrow \text{Hom}_A(M_s, M) & \rightarrow & \text{Hom}_A(M_{s-1}, M) & \rightarrow \dots & \rightarrow & \text{Hom}_A(M_0, M) & \rightarrow M \rightarrow 0 \end{array}$$

Por el lema anterior,  $b_i = a_i^*$  con  $a_i \in \text{Hom}_A(M_i, M_i)$ . Luego exista  $a \in A$  tal que el siguiente diagrama, de  $A$ -mód, es conmutativo

$$\begin{array}{ccccccc}
 0 \rightarrow A & \xrightarrow{i} & M_0 & \rightarrow \dots & \rightarrow M_{s-1} & \rightarrow & M_s \\
 & & \downarrow a_0 & & \downarrow a_{s-1} & & \downarrow a_s \\
 0 \rightarrow A & \xrightarrow{i} & M_0 & \rightarrow \dots & \rightarrow M_{s-1} & \rightarrow & M_s
 \end{array}$$

Se sigue que  $b = a^* = faw$ .

□

### 1.3.3 Demostración de la proposición 1.3

Sea  $B = \text{End}_A(M)$ . Aplicando el funtor  $\text{Hom}_A(-, M)$  a la sucesión exacta  $0 \rightarrow A \rightarrow M_0 \rightarrow M_1 \rightarrow \dots \rightarrow M_s \rightarrow 0$ , por (1.3.1), se obtiene que  $\dim \text{proy } M_i \leq s$ .

Sea  $P$  un  $A$ -módulo proyectivo indecomponible, digamos  $P = Ae$  para algún idempotente primitivo  $e \in A$ . Como  $(eM)_B$  es sumando sumando directo de  $M_B$ , podemos tomar una resolución proyectiva  $0 \rightarrow Q_t \rightarrow \dots \rightarrow Q_0 \rightarrow (eM)_B \rightarrow 0$  en  $B\text{-mod}$ , entes.

Como  $\text{Hom}_B(eM, M) \cong \text{Hom}_B(M, M)e \cong Ae = P$  (1.3.2), además como en (1.3.1)  $\text{Hom}_B(-, M) : P_B \rightarrow \text{add } M$  es equivalencia. luego  $M\text{-codim}(P) \leq t$

□

1.4 Lema: Sean  $A$  y  $B$   $K$ -álgebras de dimensión finita de forma que  $D^*(A)$  y  $D^*(B)$  sean equivalentes como categorías trianguladas. Entonces  $\text{gldim } A < \infty$  si y sólo si  $\text{gldim } B < \infty$ .

Demostración

1.5 Lema Sea  $M$  un  $A$ -módulo tal que  $\text{Ext}_A^i(M, M) = 0$  para  $i > 0$ . Si la  $M$ -codim  $(A) < \infty$ , entonces el functor  $\gamma: K^b(\text{add } M) \rightarrow D^b(A)$  es denso.

### Demostración

Ya que  $\text{gldim } A < \infty$  entonces  $D^b(A)$  es equivalente a  $K^b(A/P)$  como categorías trianguladas (ver cap. I. 9.9). Así sea  $P \in K^b(A/P)$  por demostrar que  $P \cong \gamma(M)$  con  $M \in K^b(\text{add } M)$ . La demostración es por inducción en el ancho  $w(P)$  de  $P$ . Si  $w(P) = 1$ , sin pérdida de generalidad, podemos suponer que  $P$  está concentrado a nivel cero, así podemos ver a  $P$  como  $P \in A/P$ . Como  $M$ -codim  $(A) < \infty$  entonces exista una sucesión exacta

$$0 \rightarrow P \xrightarrow{i} M^0 \xrightarrow{a_0} M^1 \xrightarrow{a_1} \dots \xrightarrow{a_{r-1}} M^r \rightarrow 0$$

(ver 1.3). Sea  $M'$  el complejo definido por

$$M' : \dots \rightarrow 0 \rightarrow M^0 \xrightarrow{\partial_0^M} M^1 \xrightarrow{\partial_1^M} \dots \rightarrow M^r \rightarrow 0 \rightarrow \dots$$

donde  $\partial_i := \partial_i^M$ .

Sea  $i'$  el morfismo de complejos definido por

$$\begin{array}{ccccccccccc}
 P' : & \dots & \rightarrow & 0 & \rightarrow & P & \rightarrow & 0 & \rightarrow & 0 & \rightarrow & \dots \\
 i' \downarrow & & & & & \downarrow i & & \downarrow & & \downarrow & & \downarrow \\
 M' : & \dots & \rightarrow & 0 & \rightarrow & M^0 & \xrightarrow{\partial_0^M} & M^1 & \xrightarrow{\partial_1^M} & \dots & \xrightarrow{\partial_{r-1}^M} & M^r & \rightarrow & 0 & \rightarrow & \dots
 \end{array}$$

al cual es claramente un casi-isomorfismo. Así  $\gamma(M') = P$ .

Supongamos que  $P \in K^b(A/P)$  tal que  $w(P) > 1$ . Por la sucesión (cap. I 7.2.2), podemos considerar

$$T^0 P \xrightarrow{\partial_0^P} P' \xrightarrow{\partial_1^P} P \xrightarrow{\partial_2^P} P^0$$



al triángulo inducido por  $\partial \bar{A}$ . Por construcción  $\omega(\mathcal{T}P^0), \omega(P'') \in \text{Ext}^0$

Por hipótesis de inducción existen  $M_1, M_2 \in k^b(\text{add } M)$  tales que  $\mathcal{Y}(M_1) \cong \mathcal{T}P^0, \mathcal{Y}(M_2) \cong P''$  es decir existen  $\psi_1: \mathcal{T}P^0 \rightarrow M_1$  y  $\psi_2: P'' \rightarrow M_2$  isomorfismos en  $D^b(A)$ . Tenemos

$$\begin{array}{ccccccc} \mathcal{T}P^0 & \xrightarrow{\partial \bar{P}^0} & P'' & \xrightarrow{\psi_3} & P & \xrightarrow{\omega \bar{P}^0} & \mathcal{O}P^0 \\ \psi_1 \downarrow & & \psi_2 \downarrow & & \psi_3 \downarrow & & \mathcal{T}\psi_1 \downarrow \\ M_1 & \xrightarrow{\partial} & M_2 & \xrightarrow{\partial} & C(\psi_1^{-1} \circ \partial \bar{P}^0 \circ \psi_2) & \xrightarrow{\partial} & \mathcal{T}M_1 \end{array}$$

donde  $\psi_3: P \rightarrow C(\psi_1^{-1} \circ \partial \bar{P}^0 \circ \psi_2)$  existe por (TR3) y por (cap. I, 1.2).  $\psi_3$  es isomorfismo en  $D^b(A)$ ; pero  $C(\psi_1^{-1} \circ \partial \bar{P}^0 \circ \psi_2) \in k^b(\text{add } M)$  luego,  $\psi_3$  es un isomorfismo.

**1.6 Teorema.** Sea  $M$  un  $A$ -módulo tal que  $\text{Ext}_A^i(M, M) = 0$  para  $i > 0$  y supongamos que  $A$  tiene  $M$ -codim. finita. Sea  $B = \text{End } M$  y suponga que  $\text{gl dim } B < \infty$ . Entonces el funtor  $F = \text{Hom}_A(M, -): A\text{-mod} \rightarrow B\text{-mod}$  induce una equivalencia triangulada  $\tilde{F}: D^b(A) \rightarrow D^b(B)$ .

### Demostración

Como en (1.3.1),  $\text{Hom}_A(M, -): \text{add } M \rightarrow \mathcal{P}$  es una equivalencia. Usando (cap. I, (2.8)) es fácil inducir una equivalencia triangular  $\text{Hom}_A(M, -): k^b(\text{add } M) \rightarrow k^b(\mathcal{P})$

Por (Cap. I, (4.8)),  $k^b(\mathcal{P})$  y  $D^b(B)$  son equivalentes y por (1.1) y (1.5)  $k^b(\text{add } M)$  y  $D^b(A)$  son equivalentes triangulares.  $\square$

1.7 El interés por el estudio de estas propiedades de  $A$ -módulos proviene de la teoría de tildeo [HR], ver también [BB]. Un  $A$ -módulo  $M$  es llamado un módulo de tildeo si las siguientes condiciones son satisfechas: i)  $\text{proj. dim } M \leq 1$ , ii)  $\text{Ext}_A^n(M, M) = 0$ , iii)  $M\text{-dim } ({}_A A) \leq 1$ . Llamamos a la terna  $(A, {}_A M_B, B)$  una terna de tildeo si  ${}_A M$  es un módulo y  $B = \text{End } M$ .

Corolario. Sea  $(A, {}_A M_B, B)$  una terna de tildeo. Entonces  $D^b(A)$  y  $D^b(B)$  son equivalentes como categorías trianguladas.

Demostración

Esto se sigue de 1.6. □

1.8 Dos  $k$ -álgebras, de dimensión finita,  $A$  y  $B$  son equivalentes por tildeo si existe una sucesión  $(A_i, {}_A M_{A_{i+1}}, A_{i+1})$  de ternas de tildeo, tal que  $A = A_0$  y  $B = A_n$ .

## § 2 ISOMETRIA EN GRUPOS DE BROTHENDIECK.

En esta sección definiremos el grupo de Brothendieck  $ko(D^b(A))$  para la categoría derivada  $D^b(A)$  y probaremos algunas propiedades relacionadas con él.

Extendamos el concepto de dimensión,  $\dim X$  de módulos a la categoría  $D^b(A)$ .

Se mostrará que si  $A$  y  $B$  son álgebras de dimensión global finita y  $F: D^b(A) \rightarrow D^b(B)$  es una equivalencia de categorías trianguladas, entonces se tiene una isometría  $f: ko(D^b(A)) \rightarrow ko(D^b(B))$  tal que  $f(\dim X) = \dim FX$ . En particular, el número de clases de isomorfía de módulos simples de  $A$  y  $B$  es el mismo.

2.1 Sea  $A$  una  $K$ -álgebra básica de dimensión finita. Sea  $\mathcal{F}$  el grupo abeliano libre generado por las clases de isomorfía  $[X]$  de los objetos  $X$  en  $D^b(A)$ .

Sea  $\mathcal{F}_0$  el subgrupo de  $\mathcal{F}$  generado por  $[X] - [Y] + [Z]$  para todos los triángulos  $(X, Y, Z, u, v, w)$  en  $D^b(A)$ .

El grupo de Brothendieck de  $D^b(A)$  es por definición el grupo cociente  $\mathcal{F}/\mathcal{F}_0$  y se denota por  $ko(D^b(A))$ .

Una función valuada en los enteros y definida en los objetos de  $D^b(A)$  es llamada aditiva si  $a(x) - a(y) + a(z) = 0$  para todo triángulo  $(X, Y, Z, u, v, w)$  en  $D^b(A)$ . En particular  $a(x) = -a(Tx)$ . En efecto, consideramos el triángulo  $X \xrightarrow{u} Y \xrightarrow{v} c'(u) \xrightarrow{w} TX$ . Entonces  $Y \xrightarrow{v} c'(u) \xrightarrow{w} TX \xrightarrow{Tu} TY$  es un triángulo y se tiene  $a(x) - a(y) + a(c'(u)) = 0$  y  $a(y) - a(c'(u)) + a(Tx) = 0$  y luego  $a(x) + a(Tx) = 0$ .

2.2 A lo largo de esta sección  $A$  denota una  $k$ -álgebra de dimensión finita.

Sea  $\bar{F}$  el grupo abeliano libre generado

por las clases de isomorfía de módulos en  $A\text{-mod}$ .

Si  $X \in A\text{-mod}$  denotamos por  $[X]$  la clase de isomorfía de  $X$  en  $A\text{-mod}$ . Sea  $\bar{F}_0$  el subgrupo de  $\bar{F}$  generado por  $[X] - [Y] + [Z]$  para toda sucesión exacta

$$0 \rightarrow X \rightarrow Y \rightarrow Z \rightarrow 0 \text{ en } A\text{-mod}.$$

El grupo de Srothandiack de  $A$  es por definición el grupo cociente  $\bar{F}/\bar{F}_0$  y se denota por  $K_0(A)$ . (ver [G2]).

2.3 En el siguiente lema demostraremos que  $K_0(A)$  y  $K_0(D^n(A))$  son isomorfos como grupos abelianos y por consiguiente  $K_0(D^n(A))$  es isomorfo a  $\mathbb{Z}^n$  donde  $n$  es el número de clases de isomorfía de módulos simples en  $A\text{-mod}$ .

Lema:  $K_0(A)$  y  $K_0(D^n(A))$  son isomorfos.

Demostración.

Sea  $\psi: K_0(A) \rightarrow K_0(D^n(A))$  tal que

$$[X] \mapsto [\circ X] \text{ donde } \circ X \text{ es el complejo}$$

concentrado a nivel cero, donde  $\circ X$  en el nivel cero es igual a  $X$ .

a)  $\psi$  es función

Si  $0 \rightarrow X \xrightarrow{u} Y \xrightarrow{v} Z \rightarrow 0$  es sucesión exacta en  $A\text{-mod}$ .

Entonces  $0 \rightarrow \circ X \rightarrow \circ Y \rightarrow \circ Z \rightarrow 0$  es sucesión exacta

de complejos en  $K^b(A)$ . Luego por (cap. 6.3) se tiene un triángulo  $0 \rightarrow X_i \rightarrow Y_i \rightarrow Z_i \rightarrow 0$  y

$$\overline{[0X_i]} - \overline{[0Y_i]} + \overline{[0Z_i]} = 0 \text{ en } K_0(D^b(A)).$$

Si  $\overline{[X]} = \overline{[Y]}$  en  $K_0(A)$ , entonces

$$[X] - [Y] = \sum_i m_i ([X_i] - [Y_i] + [Z_i]) \text{ en } \mathbb{F} \text{ donde } m_i \in \mathbb{Z}$$

y  $0 \rightarrow X_i \rightarrow Y_i \rightarrow Z_i \rightarrow 0$  es sucesión exacta. Entonces

$$[0X_i] - [0Y_i] = \sum m_i ([X_i] - [Y_i] + [Z_i]) \text{ en } \mathbb{F} \text{ y}$$

$$\overline{[0X_i]} = \overline{[0Y_i]} \text{ en } K_0(D^b(A))$$

b)  $\Psi$  es mono:

Sabemos que las clases  $\overline{[S_1]}, \dots, \overline{[S_n]}$  de los módulos simples son una base de  $K_0(A)$ . Supongamos que  $\sum m_i \overline{[S_i]} = 0$ , podemos suponer que  $m_1, \dots, m_r \geq 0$  y  $m_{r+1}, \dots, m_n < 0$ , entonces

$$\overline{[S]} = \sum_{i=1}^r m_i \overline{[S_i]} = \sum_{j=r+1}^n (-m_j) \overline{[S_j]} = \overline{[S']}$$

donde  $S = \bigoplus_{i=1}^r S_i^{m_i}$ ,  $S' = \bigoplus_{j=r+1}^n S_j^{-m_j}$  son dos  $A$ -módulos

semisimples.

Por tanto,  $[S] - [S'] \in \mathcal{F}_0$ , o sea existen triángulos

$$X_i \rightarrow Y_i \rightarrow Z_i \rightarrow TX_i, \quad i=1, \dots, a \text{ en } D^b(A) \text{ y números}$$

$b_i \in \mathbb{Z}$ ,  $i=1, \dots, a$ . de forma que  $[S] - [S'] = \sum_{i=1}^a b_i ([X_i] - [Y_i] + [Z_i])$

Podamos suponer  $b_1, \dots, b_t \geq 0$  y  $b_{t+1}, \dots, b_a < 0$ ; defini-  
mos  $c_i := -b_i$  para  $i = t+1, \dots, a$ . Luego,

$$[S] + \sum_{i=1}^t b_i [y_i] + \sum_{i=t+1}^a c_i ([x_i] + [z_i]) = [S'] + \sum_{i=1}^t c_i [y_i] + \sum_{i=1}^t b_i ([x_i] + [z_i]) \text{ en } \mathcal{F},$$

O sea,

$$S \oplus \left( \bigoplus_{i=1}^t y_i^{b_i} \right) \oplus \left( \bigoplus_{i=t+1}^a (x_i^{c_i} \oplus z_i^{c_i}) \right) \cong S' \oplus \left( \bigoplus_{i=1}^t y_i^{c_i} \right) \oplus \left( \bigoplus_{i=1}^t (x_i^{b_i} \oplus z_i^{b_i}) \right) \text{ en } D(A).$$

Por (Cap. I, (4.9)).

$$S \oplus H^0 \left( \bigoplus_{i=1}^t y_i^{b_i} \right) \oplus \left( \bigoplus_{i=t+1}^a (x_i^{c_i} \oplus z_i^{c_i}) \right) \cong S' \oplus H^0 \left( \left( \bigoplus_{i=1}^t y_i^{c_i} \right) \oplus \left( \bigoplus_{i=1}^t (x_i^{b_i} \oplus z_i^{b_i}) \right) \right) \quad (1)$$

$$\text{y } H^i \left( \bigoplus_{i=1}^t y_i^{b_i} \right) \oplus \left( \bigoplus_{i=t+1}^a (x_i^{c_i} \oplus z_i^{c_i}) \right) \cong H^i \left( \left( \bigoplus_{i=1}^t y_i^{c_i} \right) \oplus \left( \bigoplus_{i=1}^t (x_i^{b_i} \oplus z_i^{b_i}) \right) \right) \text{ si } i > 0$$

Por otra parte, del triángulo  $x_i \rightarrow y_i \rightarrow z_i \rightarrow TX_i$  obtena-  
mos la sucesión exacta larga acotada,

$$0 \rightarrow H^q(x_i) \rightarrow H^q(y_i) \rightarrow H^q(z_i) \rightarrow H^q(X_i) \rightarrow \dots$$

Entonces en  $k_0(A)$  se obtiene,  $\sum_{j=0}^{\infty} (-1)^j ([H^j(x_i)] - [H^j(y_i)] + [H^j(z_i)]) = 0$   
da donde

$$\sum_{j=0}^{\infty} (-1)^j \overline{[H^j \left( \left( \bigoplus_{i=1}^t y_i^{b_i} \right) \oplus \left( \bigoplus_{i=t+1}^a (x_i^{c_i} \oplus z_i^{c_i}) \right) \right)]} = \sum_{j=0}^{\infty} (-1)^j \overline{[H^j \left( \left( \bigoplus_{i=1}^t y_i^{c_i} \right) \oplus \left( \bigoplus_{i=1}^t (x_i^{b_i} \oplus z_i^{b_i}) \right) \right)]} \quad (2)$$

Para de (1) obtenemos en  $k_0(A)$

$$\overline{[S]} + \sum_{j=0}^{\infty} (-1)^j \overline{[H^j \left( \left( \bigoplus_{i=1}^t y_i^{b_i} \right) \oplus \left( \bigoplus_{i=t+1}^a (x_i^{c_i} \oplus z_i^{c_i}) \right) \right)]} = \overline{[S']} + \sum_{j=0}^{\infty} (-1)^j \overline{[H^j \left( \left( \bigoplus_{i=1}^t y_i^{c_i} \right) \oplus \left( \bigoplus_{i=1}^t (x_i^{b_i} \oplus z_i^{b_i}) \right) \right)]}.$$

De 2) se sigue que  $\overline{[S]} = \overline{[S']}$  en  $k_0(A)$ . Luego,  $S \cong S'$

que sólo es posible si  $m_1 = m_2 = \dots = m_n = 0$ .

c) Y as sobre:

Sea  $[\bar{x}'] \in \text{Ker}(D^0(A))$ . Probaremos que  $[\bar{x}'] \in \text{Im } \Psi$  por inducción sobre el ancho  $w(x')$ .

Si  $w(x') = 1$ ,  $x' = T^3(\alpha y')$ , donde  $Y \in A\text{-mod}$ . Supongamos primero que  $s < 0$ . Como  $x' \rightarrow D^0(x') \rightarrow TX' \rightarrow TX^0$  es triángulo y  $\text{Id}_x$  es isomorfismo, por (Cap. I, 4.9) se tiene que  $0 = [C^0(x')] = [\bar{x}'] + [TX^0]$  y  $[\bar{x}'] = -[T^3(\alpha y')]$ . Luego  $[\bar{x}'] = (-1)^3 [\alpha y'] \in \text{Im } \Psi$ . Similarmente si  $s \geq 0$ . Si  $w(x') > 1$ , consideramos el triángulo (Cap. I 2.2)  $T^s x^0 \rightarrow x'' \rightarrow x' \rightarrow x^0$  con  $w(x'') < w(x')$ . Como  $[\bar{x}'] = [\bar{x}^0] - [\bar{x}'']$ , el resultado se sigue por inducción.

Observación: Si  $[\bar{x}'] \in \text{Ker}(D^0(A))$  se tiene,  $[\bar{x}'] = \sum (-1)^i [\alpha x^i]$  (por inducción sobre  $w(x')$  procediendo como en c)).

2.4 Sea  $A$  una  $k$ -álgebra básica de dimensión finita  $\alpha$  indecomponible.

Sea  $P_1, P_2, \dots, P_n$  un conjunto completo de representantes de las clases de isomorfía de  $A$ -módulos proyectivos indecomponibles. Para un  $A$ -módulo  $X$  el vector dimensión es definido por  $\dim X = (\dim_k \text{Hom}_A(P_i, X))_{i=1}^n$ .

El mapeo  $X \mapsto \dim X$  induce un isomorfismo de  $\text{Ker}(A)$  a  $\mathbb{Z}^n$ . Usando 2.3, este mapeo puede extenderse a  $D^0(A)$  de la siguiente manera: si  $X = (x^n, \partial x^n)$  está en  $D^0(A)$  entonces  $\dim X = \sum_{n \in \mathbb{Z}} (-1)^n \dim X^n$  (dado que  $X$  es un complejo acotado

la suma es finita).

2.5 Nótese que por el lema (1.7) de [H4],  $x \cong y$  en  $D^0(A)$  implica que  $\alpha(x) \cong \alpha(y)$  para cualquier función aditiva  $\alpha$ .

Entonces las funciones aditivas a  $\text{Ob} D^0(A) \rightarrow \mathbb{Z}^n$  son los morfismos de grupos  $k_0(D^0(A)) \xrightarrow{\alpha} \mathbb{Z}^n$ . La función aditiva  $\text{dim} : \text{Ob} D^0(A) \rightarrow \mathbb{Z}^n$  es la composición  $k_0(D^0(A)) \xrightarrow{\cong} k_0(A) \xrightarrow{\text{dim}} \mathbb{Z}^n$  que, siendo morfismo de grupos al componerse con cualquiera de las proyecciones a  $\mathbb{Z}$  resulta nuevamente morfismo de grupos, luego cada  $\text{dim}^i$  es función aditiva en los objetos de  $D^0(A)$ .

2.6 Para el resto de esta sección supongamos que  $A$  tiene dimensión global finita, con esta suposición el grupo de Grothendieck  $k_0(A)$  de  $A$ , está dotado automáticamente de una forma bilineal.

Aquí sólo recordamos las definiciones relevantes para un tratamiento más profundo de estos conceptos consultar 2.4 de [R6].

Definimos a matriz de Cartan, denotada por  $C = C_A$ , como la matriz de  $n \times n$  con entradas en  $\mathbb{Z}$  tal que  $C_{ij} = \dim_k \text{Hom}_A(P_i, P_j)$  para  $1 \leq i, j \leq n$ . Así la  $j$ -ésima columna de  $C$  es  $(\dim P_j)^t$ , donde  $t$  denota al transpuesto. En [R6] se demuestra que  $C = C_A$  es invertible.

La matriz  $C^{-t} = (C^{-1})^t$  define una forma bilineal  $\langle -, - \rangle_A$  en  $k_0(A) \cong \mathbb{Z}^n$  dada por:  $\langle x, y \rangle_A = x C^{-t} y$ . La correspondiente forma cuadrática  $\chi_A(x) = \langle x, x \rangle_A$  es llamada la característica de Euler de  $A$ .

La forma bilineal introducida tiene la siguiente interpretación homológica:

Sea  $X, Y \in A\text{-mod}$ . entonces

$$(*) \quad \langle \text{dim } X, \text{dim } Y \rangle_A = \sum_{i \geq 0} (-1)^i \dim_k \text{Ext}_A^i(X, Y).$$

(ver, por ejemplo, [H4, Lam página 98]).



2.7 Lema: Sea  $X, Y$  en  $D^b(A)$

$$\text{Entonces } \langle \dim X, \dim Y \rangle_A = \sum_{i \in \mathbb{Z}} (-1)^i \dim_k \text{Hom}_{D^b(A)}(X[i], Y)$$

Demostración

Ya que  $\text{gl dim } A < \infty$  entonces  $D^b(A)$  es equivalente triangular a  $k^b(\mathbb{A}^1)$  (ver cap. I §.9); por tanto sin pérdida de generalidad, podemos suponer que los complejos considerados aquí están en  $k^b(\mathbb{A}^1)$ .

Haremos la demostración usando doble inducción en el ancho,  $w(X)$ , de  $X$  y en el ancho,  $w(Y)$ , de  $Y$ .

Caso a)  $w(X) = 1 = w(Y)$

Usando el funtor traslación  $T$ , podemos suponer que  $X$  es el complejo concentrado a nivel cero  $X^i = {}^0U$ . Supongamos que  $Y$  está concentrado a nivel  $j$ ,  $Y^i = T^{j-i} v$ . Luego

$$\begin{aligned} \langle \dim X, \dim Y \rangle_A &= \langle \dim X^0, (-1)^j \dim Y^j \rangle_A = (-1)^j \langle \dim X^0, \dim Y^j \rangle_A \\ &= (-1)^j \sum_{i \geq 0} (-1)^i \dim_k \text{Ext}_A^i(U, v) = (-1)^j \sum_{i \geq 0} (-1)^i \dim_k \text{Ext}_{D^b(A)}^i({}^0U, {}^jv) \\ &= (-1)^j \sum_{i \geq 0} (-1)^i \dim_k \text{Ext}_{D^b(A)}^i(X^0, T^{j-i} v) = \sum_{i \geq 0} (-1)^{i-j} \dim_k \text{Hom}_{D^b(A)}(X^0, T^{j-i} v) \\ &= \sum_{k \in \mathbb{Z}} (-1)^k \dim_k \text{Hom}_{D^b(A)}(X^0, T^k Y) \text{ con } k := i - j \text{ para } j \in \mathbb{Z} \text{ fijo.} \end{aligned}$$

$$\text{Por tanto } \langle \dim X, \dim Y \rangle_A = \sum_{k \in \mathbb{Z}} (-1)^k \dim_k \text{Hom}_{D^b(A)}(X^0, T^k Y)$$

Caso b)

Supongamos que  $w(Y) = 1$  y que para todo  $z \in D^b(A)$  tal que  $w(z) \leq n-1$  entonces

$$\langle \dim z, \dim Y \rangle_A = \sum_{k \in \mathbb{Z}} (-1)^k \dim_k \text{Hom}_{D^b(A)}(z, T^k Y)$$

Sea  $X' \in \mathcal{D}^b(A)$  tal que  $w(X') = n$  por (cap I 2.2.2) sabemos que exista un morfismo  $u: T^{\circ}X' \rightarrow X'$  tal que  $X'$  es el cono del morfismo  $u$ ; es decir  $X' = c(u)$ .

Así en el triángulo

$$T^{\circ}X' \xrightarrow{u} X' \xrightarrow{v} X' \xrightarrow{w} X'$$

tanemos que por construcción

$$0 \rightarrow X'' \xrightarrow{v} X' \xrightarrow{w} X' \rightarrow 0.$$

es una sucesión exacta en  $K^b(A)$ . Ya que  $Y^n \in A\text{-mod}$  del complejo  $Y$  es  $A\text{-mod}$  proyectivo para todo  $n \in \mathbb{Z}$  tanemos la siguiente sucesión exacta.

$$0 \rightarrow \text{Hom}_{K(A)}(X', T^i Y) \rightarrow \text{Hom}_{K(A)}(X'', T^i Y) \rightarrow \text{Hom}_{K(A)}(X', T^{i+1} Y) \rightarrow 0$$

$$\text{Puesto que } : \text{Hom}_{K(A)}(X', T^i Y) \cong \text{Hom}_{K(A)}(X', T^{i+1} Y),$$

$$\text{Hom}_{K(A)}(X'', T^i Y) \cong \text{Hom}_{K(A)}(X'', T^{i+1} Y) \text{ y } \text{Hom}_{K(A)}(X', T^i Y) \cong \text{Hom}_{K(A)}(X', T^{i+1} Y)$$

tanemos que

$$\dim_K \text{Hom}_{K(A)}(X', T^i Y) = \dim_K \text{Hom}_{K(A)}(X'', T^i Y) + \dim_K \text{Hom}_{K(A)}(X', T^{i+1} Y).$$

en consecuencia -

$$\sum_{i \in \mathbb{Z}} (-1)^i \dim_K \text{Hom}_{K(A)}(X', T^i Y) = \sum_{i \in \mathbb{Z}} (-1)^i \dim_K \text{Hom}_{K(A)}(X'', T^i Y) + \sum_{i \in \mathbb{Z}} (-1)^i \dim_K \text{Hom}_{K(A)}(X', T^{i+1} Y) =$$

$$= \langle \dim X'', \dim Y \rangle_A + \langle \dim X', \dim Y \rangle_A = \langle \dim X' + \dim X'', \dim Y \rangle_A = \langle \dim X', \dim Y \rangle_A.$$

El caso general es similar. □.

2.8 Sean  $A$  y  $B$   $k$ -álgebras básicas de dimensión finita. Decimos que  $k_0(A)$  y  $k_0(B)$  son isométricas si existe una isometría  $f: k_0(A) \rightarrow k_0(B)$  es decir una biyección lineal tal que  $\langle x, y \rangle_A = \langle f(x), f(y) \rangle_B$  para todo  $x, y \in k_0(A)$ .

Proposición. Sean  $A$  y  $B$   $k$ -álgebras básicas de dimensión finita y supongamos que  $A$  tiene dimensión global finita. Si  $F: D^b(A) \rightarrow D^b(B)$  es una equivalencia triangular, existe una isometría  $f: k_0(A) \rightarrow k_0(B)$  tal que  $\dim Fx = f(\dim x)$  para  $x \in D^b(A)$ . En particular,  $A$  y  $B$  tienen el mismo número de módulos simples hasta isomorfía.

Demostración.

Sean  $a: k_0(A) \rightarrow k_0(D^b(A))$ ,  $[x] \mapsto [\circ x]$  el isomorfismo definido en (2.5).

Observamos que  $a$  es una isometría. En efecto, si  $x, y \in A\text{-mod}$ , entonces

$$\begin{aligned} \langle a(\dim x), a(\dim y) \rangle_{D^b(A)} &= \langle \dim \circ x, \dim \circ y \rangle_{D^b(A)} = \sum_{i \in \mathbb{Z}} (-1)^i \dim_{D(A)}(\circ x, T^i \circ y) = \\ &= \sum_{i \in \mathbb{Z}} (-1)^i \dim_{D(A)} \text{Ext}_{D(A)}^i(\circ x, \circ y) = \sum_{i \in \mathbb{Z}} (-1)^i \dim_{D(A)} \text{Ext}_{D(A)}^i(x, y) = \langle \dim x, \dim y \rangle \end{aligned}$$

(cap I 2.7) (cap I 5.1) (cap II 2.6)

Similarmente  $b: k_0(B) \rightarrow k_0(D^b(B))$  es isometría.

Como  $F$  es equivalencia triangular, se induce un isomorfismo

Llamamos  $f = a \circ F \circ b^{-1} : K_0(A) \rightarrow K_0(B)$  isomorfismo.  
 Si  $X, Y \in A\text{-mod}$ , como  $a$  y  $b$  son isometrías, tenemos

$$\begin{aligned} \langle f(\dim X), f(\dim Y) \rangle_B &= \langle \dim F \circ X, \dim F \circ Y \rangle_B = \\ &= \sum_{i \in \mathbb{Z}} (-1)^i \dim_k \text{Hom}_{D(A)}(F X, T^i F Y) = \sum_{i \in \mathbb{Z}} (-1)^i \dim_k \text{Hom}_{D(A)}(X, T^i Y) = \\ &= \langle \dim X, \dim Y \rangle_A. \end{aligned}$$

□.

### § 3. Triángulos de Auslander-Reiten.

3.1 Sea  $\mathcal{B}$  una categoría triangulada tal que  $\text{Hom}_{\mathcal{B}}(X, Y)$  es un  $k$ -espacio vectorial de dimensión finita para todo  $X, Y \in \mathcal{B}$  y suponga que al anillo de endomorfismos de cada objeto inascindible es local.

Esto implica que  $\mathcal{B}$  es una categoría Krull-Schmidt (ver 2.2 de [Ri:6]).

Un triángulo  $X \xrightarrow{u} Y \xrightarrow{v} Z \xrightarrow{w} TX$  en  $\mathcal{B}$  es llamado un triángulo de Auslander-Reiten si las siguientes condiciones son satisfechas:

AR1)  $X, Z$  son inascindibles.

AR2)  $w \neq 0$

AR3) Si  $f: w \rightarrow Z$  no es retracción entonces existe  $f': w \rightarrow Y$  tal que  $f' \cdot v = f$

Decimos que  $\mathcal{B}$  tiene triángulos de Auslander-Reiten si para todo objeto inascindible  $Z \in \mathcal{B}$  existe un triángulo  $(X, Y, Z, u, v, w)$  que satisfaga las condiciones (AR1), (AR2) y (AR3).

Nuestra motivación proviene de sucesiones de Auslander-Reiten, las cuales son por definición sucesiones exactas no ascindibles  $0 \rightarrow X \rightarrow Y \rightarrow Z \rightarrow 0$  de módulos de dimensión finita que satisfacen (AR1) y (AR3).

Aquí presentamos algunas de las propiedades básicas para triángulos de Auslander-Reiten.

**3.2. Lema:** Las siguientes condiciones son equivalentes para triángulos  $(X, Y, Z, u, v, w)$  arbitrarios en  $\mathcal{B}$ .

- i) (AR2)
- ii)  $u$  no es sección
- iii)  $v$  no es retracción

### Demostración

i)  $\Rightarrow$  ii) La demostración es por reducción al absurdo. Supongamos que  $w \neq 0$  y  $u$  es sección, esto implica que existe  $u': Y \rightarrow X$  tal que  $u \circ u' = Id_X$ .

De esto tenemos el siguiente morfismo de triángulos:

$(Id_X, u', 0): (X, Y, Z, u, v, w) \rightarrow (X, X, 0, Id_X, 0, 0)$   
 así conmuta al siguiente diagrama:

$$\begin{array}{ccccccc}
 X & \xrightarrow{u} & Y & \xrightarrow{v} & Z & \xrightarrow{w} & TX \\
 \downarrow Id_X & & \downarrow u' & & \downarrow & & \downarrow Id_{TX} \\
 X & \xrightarrow{Id_X} & X & \longrightarrow & 0 & \longrightarrow & TX
 \end{array}$$

esto implica que  $w = w \circ Id_{TX} = 0$  lo cual es una contradicción, y así  $u$  no es sección.  $\checkmark$

ii)  $\Rightarrow$  i)  
 Aquí también la demostración es por reducción al absurdo.

Supongamos que  $u$  no es sección y  $w = 0$  por TR3) existe  $u': Y \rightarrow X$  tal que

$(Id_X, u', 0) : (X, Y, Z, u, v, w) \rightarrow (X, X, 0, Id_X, 0, 0)$  es un morfismo de triángulos. Esto implica que  $u \circ u' = Id_X$  y  $u$  es sección, lo cual es una contradicción.

Análogamente se prueba  $i) \Leftrightarrow iii)$  usando el siguiente diagrama de triángulos:

$$\begin{array}{ccccccc}
 0 & \longrightarrow & Z & \xrightarrow{Id_Z} & Z & \longrightarrow & 0 \\
 \downarrow & & \downarrow v' & & \downarrow Id_Z & & \downarrow \\
 X & \longrightarrow & Y & \xrightarrow{v} & Z & \longrightarrow & TX
 \end{array}$$

□

**3.3 Lemma:** Las siguientes incisos son equivalentes para triángulos  $(X, Y, Z, u, v, w)$  arbitrarios en  $\mathcal{E}$

- i) AR3)
- ii) Si  $f: W \rightarrow Z$  no es retracción entonces  $f \circ w = 0$

Demostración

Por ser  $\mathcal{E}$  una categoría triangulada entonces  $Hom_{\mathcal{E}}(W, -)$  es un funtor cohomológico.

Como  $(X, Y, Z, u, v, w)$  es triángulo en  $\mathcal{E}$  entonces

$$\dots \rightarrow Hom_{\mathcal{E}}(w, X) \xrightarrow{u_*} Hom_{\mathcal{E}}(w, Y) \xrightarrow{v_*} Hom_{\mathcal{E}}(w, Z) \xrightarrow{w_*} Hom_{\mathcal{E}}(w, TX) \rightarrow \dots$$

es sucesión exacta.

Entonces (AR3) implica la existencia de  $f' \in Hom_{\mathcal{E}}(w, Y)$  tal que  $f' \circ v = f = v_* (f')$  esto es equivalente a que  $f' \in \ker v_*$  y esto es equivalente a que  $w_*(f') = f \circ w = 0$  □

3.4 Lema: (Autodualidad para triángulos Auslander-Raitan).  
 Sea  $(x, y, z, u, v, w)$  un triángulo de Auslander-Raitan.  
 Si  $f: x \rightarrow w$  no es sección, entonces existe  $f': y \rightarrow w$  con  $u \circ f' = f$ .

Demostración.

Por TR1) al morfismo  $f: x \rightarrow w$  pueda ser anejado en un triángulo  $(x, w, w', f, g, h)$ . Usando TR2) vamos que también  $(T^{-1}w', x, w, -T^{-1}h, f, g)$  es un triángulo. Aplicando al axioma del octaedro (TR4) a la composición  $(-T^{-1}h) \circ u$  obtenamos el siguiente diagrama de triángulos.

$$\begin{array}{ccccccc}
 T^{-1}w' & \xrightarrow{\text{Id}_{T^{-1}w'}} & T^{-1}w' & & & & \\
 \downarrow -T^{-1}h & & \downarrow (-T^{-1}h) \circ u & & & & \\
 x & \xrightarrow{u} & y & \xrightarrow{v} & z & \xrightarrow{w} & Tx \\
 \downarrow f & & \downarrow v & & \downarrow \text{Id}_z & & \downarrow Tf \\
 w & \xrightarrow{t_1} & y' & \xrightarrow{t_2} & z & \xrightarrow{w \circ Tf} & Tw \\
 \downarrow g & & \downarrow s & & & & \\
 w' & \xrightarrow{\text{Id}_{w'}} & w' & & & & 
 \end{array}$$

Si  $t_2$  es retracción entonces  $t_1$  es sección por 3.2. Así existe  $t_1'$  con  $t_1 \circ t_1' = \text{Id}_w$ . Definimos



Ahora a  $f' := r \circ t'$ , pero  $u \cdot f' = u \cdot r \circ t' = f \circ z \circ t' = f$ . Si ponemos ahora que  $z_2$  no es retracción. Por (AR3), existe  $t'_2: Y' \rightarrow Y$  con  $t'_2 \circ v = z_2$ .

Considera los siguientes morfismos de triángulos (f exista por TR3):

$$\begin{array}{ccccccc}
 X & \xrightarrow{u} & Y & \xrightarrow{v} & Z & \xrightarrow{w} & TX \\
 \downarrow f & & \downarrow r & & \downarrow \text{Id}_Z & & \downarrow Tf \\
 W & \xrightarrow{z_1} & Y' & \xrightarrow{z_2} & Z & \xrightarrow{w \circ Tf} & TW \\
 \downarrow \bar{f} & & \downarrow t'_2 & & \downarrow \text{Id}_Z & & \downarrow T\bar{f} \\
 X & \xrightarrow{u} & Y & \xrightarrow{v} & Z & \xrightarrow{w} & TX
 \end{array}$$

Dado que  $f$  no es sección y  $X$  es indecomponible, inferimos que  $f \circ \bar{f}$  es nilpotenta, de aquí que exista  $n \in \mathbb{N}$  tal que  $(f \circ \bar{f})^n = 0$ . En consecuencia,

$$\begin{array}{ccccccc}
 X & \xrightarrow{u} & Y & \xrightarrow{v} & Z & \xrightarrow{w} & TX \\
 \downarrow 0 & & \downarrow (r \circ t'_2)^n & & \downarrow \text{Id}_Z & & \downarrow 0 \\
 X & \xrightarrow{u} & Y & \xrightarrow{v} & Z & \xrightarrow{w} & TX
 \end{array}$$

es un morfismo de triángulos. Pero entonces  $w=0$  y esto contradice (AR2).  $\square$

3.5 Un morfismo  $h: Z_1 \rightarrow Z_2$  de una categoría aditiva arbitraria es llamado irreducible si  $h$  no es sección ni retracción pero para cada factorización de  $h = h_2 \circ h_1$  o bien  $h_1$  es sección o  $h_2$  es retracción.

Para una definición usando al radical de la categoría ver por ejemplo [62] o [Ri6].

Proposición: Sea  $(X, Y, Z, u, v, w)$  un triángulo de Auslander-Raitan. Entonces

- i) Este triángulo está determinado (hasta isomorfía) por  $Z$ .
- ii)  $u$  y  $v$  son morfismos irreducibles.
- iii) Si  $f: Z \rightarrow Z$  es irreducible, exista una sección  $g: Z \rightarrow Y$  con  $f = gv$ .
- iv) Si  $f: X \rightarrow X$  es irreducible, exista una retracción  $g: Y \rightarrow X$  con  $f = ug$ .

Demostración

i) Sea  $(X', Y', Z, u', v', w')$  un triángulo de Auslander-Raitan. Dado que  $v'$  no es retracción exista  $g$  con  $v' = gv$ . Por (R3) obtenamos al siguiente morfismo de triángulos:

$$\begin{array}{ccccccc}
 X' & \xrightarrow{u'} & Y' & \xrightarrow{v'} & Z & \xrightarrow{w'} & TX' \\
 \downarrow f & & \downarrow g & & \downarrow \text{Id}_Z & & \downarrow Tf \\
 X & \xrightarrow{u} & Y & \xrightarrow{v} & Z & \xrightarrow{w} & TX
 \end{array}$$

Si  $f$  no es un isomorfismo obtenamos un morfismo  $f'$  con  $u' \cdot f' = f$  por (3.8). Pero  $w = w' \cdot Tf = w' \cdot Tu' \cdot Tf' = 0$  da una contradicción. Así  $f$  es un isomorfismo. Luego  $(f, g, \text{Id}_Z) = (X', Y', Z, u', v', w') \rightarrow (X, Y, Z, u, v, w)$  es isomorfismo de triángulos por (Cap I, 1.2). □

ii) Demostraríamos que  $u$  es irreducible.  
 Considerárese una factorización  $u = h_1 \circ h_2$ . Si  $h_1$  no es  
 sacción, exista  $h'_1$  con  $u \circ h'_1 = h_1$ . Por TR3) obtenamos un  
 morfismo de triángulos:

$$\begin{array}{ccccccc}
 X & \xrightarrow{u} & Y & \xrightarrow{v} & Z & \xrightarrow{w} & TX \\
 \downarrow \text{Id}_X & & \downarrow h'_1 \circ h_2 & & \downarrow h & & \downarrow \text{Id}_{TX} \\
 X & \xrightarrow{u} & Y & \xrightarrow{v} & Z & \xrightarrow{w} & TX
 \end{array}$$

Si  $h$  no es un isomorfismo, entonces  $w \circ h \circ w = 0$   
 por (3.3), es una contradicción. Así  $h'_1 \circ h_2$  es un iso-  
 morfismo. Consecuenteamante  $h_2$  es una retracción.  
 Análogamante se prueba que  $v$  es irreducible.

iii) Sea  $f: Z_1 \rightarrow Z$  un morfismo irreducible. Dado  
 que  $f$  no es retracción obtenamos  $g: Z_1 \rightarrow Y$  con  
 $f = g \circ v$ . Como  $v$  no es retracción,  $g$  es sacción.

iv) Esto es dual a (iii). □

3.6. Sea  $A$  una  $k$ -álgebra de dimensión finita y  
 dimensión global finita.

Teorema: La categoría derivada  $\mathcal{D}(A)$  tiene  
 triángulos de Auslander-Reiten.

La demostración de este teorema se propone hasta la  
 sacción (3.7) después de algunas consideraciones previas.

3.6.1. Sean  $\mathcal{P}$  y  $\mathcal{M}$  las subcategorías planas de  $A\text{-mod}$  que tienen por objetos los  $A$ -módulos proyectivos y los  $A$ -módulos inyectivos respectivamente. El functor de Nakayama está definido por  $\mathcal{N} = D\text{Hom}_A(-, A)$  donde  $D$  denota la dualidad  $D = \text{Hom}_A(-, k) : A\text{-mod} \rightarrow B\text{-mod}$ .

Proposición: a)  $\mathcal{P}$  y  $\mathcal{M}$  son equivalentes bajo el functor de Nakayama.

b) El functor de Nakayama induce una transformación natural invertible.

$$\alpha_P : D\text{Hom}_A(P, -) \rightarrow \text{Hom}_A(-, \mathcal{N}P)$$

para cada  $P \in \mathcal{P}$ , natural en  $P$ .

c) Son equivalentes:

I) : Exista una transformación invertible  $\alpha_{P,X} : D\text{Hom}_A(P, X) \rightarrow \text{Hom}_A(X, \mathcal{N}P)$  para cada  $P \in \mathcal{P}$  y  $X \in A\text{-mod}$ , natural en ambas variables,  $P \in \mathcal{P}$ ,  $X \in A\text{-mod}$ .

II) : Para cada  $P \in \mathcal{P}$  y cada  $X \in A\text{-mod}$  exista una función bilineal  $(-, -) : \text{Hom}_A(P, X) \times \text{Hom}_A(X, \mathcal{N}P) \rightarrow k$  (usamos la notación  $(\xi/\eta)$  para la imagen de  $(\xi, \eta)$  en  $k$ ), que satisfaga (\*):

$$(*) \begin{cases} \text{(i)} & (\xi/\eta) = (\xi/\eta) \text{ para cualquier ternu de morfismos } \xi, \eta, \eta. \\ \text{(ii)} & (\pi\xi/\eta) = (\xi/\eta\mu) \text{ para } \pi \text{ morfismo de } \mathcal{P} \text{ y } \xi, \eta \text{ morfismos.} \\ \text{(iii)} & (-, -) \text{ es no degenerada (i.e. Sea } \eta \in \text{Hom}_A(X, \mathcal{N}P), \\ & \xi \in \text{Hom}_A(P, X). \text{ Entonces } [(\xi/\eta) = 0 \text{ para todo } \xi \text{ si y sólo si } \eta = 0] \text{ y} \\ & [(\xi/\eta) = 0 \text{ para todo } \eta \text{ si y sólo si } \xi = 0] \end{cases}$$

Una familia de funciones bilineales que satisficaren (\*) se llama dualidad asociada a  $\alpha$

### Demostración

Aquí ofrecemos una demostración completa de (c).  
Para la demostración de (a) y (b) ver por ejemplo [G2] o [Ri6].

¶): Por ser  $\alpha_P$  invertible, dado  $\eta \in \text{Hom}_R(X, YP)$  existe un único  $\zeta \in \text{Hom}_R(P, X)$  tal que  $\alpha_P(\zeta) = \eta$ .  
Definimos a nuestra función bilineal de la siguiente forma:

$$(-|-): \text{Hom}_R(P, X) \times \text{Hom}_R(X, YP) \rightarrow K \text{ tal que} \\ (\zeta, \eta) \mapsto (-|\zeta|\eta) := \zeta(\zeta).$$

Se satisface (\*)

(\*) (i):

Sea  $\zeta \in \text{Hom}_R(P, X)$ ,  $\mu \in \text{Hom}_R(X, Y)$  y  $\eta \in \text{Hom}_R(Y, YP)$ . De la naturalidad de  $\alpha_P$  se tiene el siguiente diagrama conmutativo

$$\begin{array}{ccc} \text{Hom}_R(P, Y) & \xrightarrow{\alpha_P(Y)} & \text{Hom}_R(Y, YP) \\ \downarrow D\mu & & \downarrow \mu \\ \text{Hom}_R(P, X) & \xrightarrow{\alpha_P(X)} & \text{Hom}_R(X, YP) \end{array}$$

de donde se deduce la siguiente ecuación:

$$1) \int_{\mu} \eta = D\mu_*(\int_{\eta}) = \mu_* \int_{\eta}$$

donde  $\int_{\eta} \in D\text{Hom}_A(P, X)$  es el único tal que  $\alpha_P(\int_{\eta}) = \mu_* \eta$  y  $\int_{\eta} \in D\text{Hom}_A(P, Y)$  es el único tal que  $\alpha_P(\int_{\eta}) = \eta$ .

Sea  $f \in \text{Hom}_A(P, X)$ . Usando la ecuación (1) tenemos

$$\int_{\mu} (f) = (\mu_* \int_{\eta})(f) = \int_{\eta}(\mu_*(f)) = \int_{\eta}(f, \mu)$$

Por definición de (-) se tiene  $(f, \mu) = (f, \mu)_*$ , lo que prueba (i) (ii).

(ii) :

Sea  $\pi \in \text{Hom}_A(P, P_2)$  con  $P_1, P_2 \in \mathcal{P}$ . Sea  $\eta \in \text{Hom}_A(X, U_{P_1})$ .

De la naturalidad de  $\alpha_P$  se tiene que el siguiente diagrama conmuta:

$$\begin{array}{ccc} D\text{Hom}_A(P_1, X) & \xrightarrow{\alpha_{P_1}(X)} & \text{Hom}_A(X, U_{P_1}) \\ D(\pi) \downarrow & & \downarrow (\pi)_* \\ D\text{Hom}_A(P_2, X) & \xrightarrow{\alpha_{P_2}(X)} & \text{Hom}_A(X, U_{P_2}) \end{array}$$

de donde se deduce la siguiente ecuación:

$$\int_{\mu, \pi} \eta = D(\pi)_*(\int_{\eta})$$

Sea  $f \in \text{Hom}_A(P_2, X)$  esto implica que

$$\int_{\mu, \pi} (f) = [D(\pi)_*(\int_{\eta})](f) = \int_{\eta}(\pi_*(f)) = \int_{\eta}(\pi_* f)$$

Y así hemos probado que  $(f, \mu, \pi) = (\pi_* f, \mu)$ .

Observación:  $(\mathcal{I}/\eta) = [(\alpha_{P,X}^{-1})^*(\bar{\mathcal{I}})](\eta)$  donde

$$(\alpha_{P,X}^{-1})^* = D\alpha_{P,X}^{-1} : D^2 \text{Hom}_A(P, X) \rightarrow D\text{Hom}_A(X, UP),$$

$\bar{\mathcal{I}} := \mathcal{C}_V(\mathcal{I})$  donde  $\mathcal{C}_V : \text{Hom}_A(P, X) \rightarrow D^2 \text{Hom}_A(P, X)$  es la evaluación definida por  $\mathcal{C}_V(\mathcal{I}) = \bar{\mathcal{I}} : \text{Hom}_k(D\text{Hom}_A(P, X), k) \rightarrow k$  tal que  $\bar{\mathcal{I}}(f) = f(\mathcal{I})$ .

Ya que tenemos la siguiente composición de isomorfismos:

$$\begin{array}{ccccc} \text{Hom}_A(P, X) & \xrightarrow{\mathcal{C}_V} & D^2 \text{Hom}_A(P, X) & \xrightarrow{(\alpha_{P,X}^{-1})^*} & D\text{Hom}_A(X, UP) \\ \mathcal{I} & \longmapsto & \bar{\mathcal{I}} & \longmapsto & (\alpha_{P,X}^{-1})^*(\bar{\mathcal{I}}) \end{array}$$

Se concluya que  $[(\alpha_{P,X}^{-1})^*(\bar{\mathcal{I}})](\eta) = \bar{\mathcal{I}}(\alpha_{P,X}^{-1}(\eta)) = \bar{\mathcal{I}}(\mathcal{I}_\eta) = \mathcal{I}_\eta(\mathcal{I}) = (\mathcal{I}/\eta)$ .  
Lo que justifica nuestra afirmación.

(-1-) es no degenerada.

Sea  $\eta \in \text{Hom}_A(X, UP)$  tal que  $(\mathcal{I}/\eta) = 0$  para todo  $\mathcal{I} \in \text{Hom}_A(P, X)$ . Por definición  $(\mathcal{I}/\eta) = \mathcal{I}_\eta(\mathcal{I})$  donde  $\mathcal{I}_\eta \in D\text{Hom}_A(P, X)$  es el único tal que  $\alpha_{P,X}(\mathcal{I}_\eta) = \eta$ . Dado que  $\mathcal{I}_\eta = 0$  entonces  $\eta = \alpha_{P,X}(\mathcal{I}_\eta) = \alpha_{P,X}(0) = 0$ .

Análogamente, sea  $\bar{\mathcal{I}} \in \text{Hom}_A(P, X)$  tal que  $(\bar{\mathcal{I}}/\eta) = 0$  para todo  $\eta \in \text{Hom}_A(X, UP)$ . Por la observación anterior tenemos  $(\bar{\mathcal{I}}/\eta) = (\alpha_{P,X}^{-1})^*(\bar{\mathcal{I}})(\eta) = 0$  para todo  $\eta \in \text{Hom}_A(X, UP)$ .

Luego  $(\alpha_{P,X}^{-1})^*(\bar{\mathcal{I}}) = 0$ , y siendo  $\alpha_{P,X}^{-1}$  un isomorfismo, entonces  $\bar{\mathcal{I}} = 0$ . Como  $\mathcal{C}_V$  es también isomorfismo, concluimos que  $\mathcal{I} = 0$ .

Esto prueba que (-1-) es no degenerada.

$\Leftarrow$ ): Sea  $\beta_{P,X} : \text{Hom}_A(X, UP) \rightarrow D \text{Hom}_A(P, X)$  tal que  
 $\eta \mapsto (-\eta)$ .

Claramente está bien definida.

$\beta_{P,X}$  es inyectiva y suprayectiva.

Sea  $\eta \in \text{Hom}_A(X, UP)$  tal que  $(-\eta) = 0$ . Por la propiedad

(\*) (iii) tenemos que  $\eta = 0$ . Luego  $\beta_{P,X}$  es inyectiva.

Entonces,  $\dim_L \text{Hom}_A(X, UP) \leq \dim_L D \text{Hom}_A(P, X)$ .

Probaremos ahora que  $\dim_L D \text{Hom}_A(P, X) \leq \dim_L \text{Hom}_A(X, UP)$ ,  
 lo que implica que  $\beta_{P,X}$  es isomorfismo.

Para probar esta afirmación definimos a

$$\phi_{P,X} : \text{Hom}_A(P, X) \rightarrow D \text{Hom}_A(X, UP)$$

$$\xi \mapsto (\xi|-).$$

$\phi_{P,X}$  es inyectiva ya que si  $(\xi|-) = 0$  entonces  $\xi = 0$  por  
 (\*) (iii). Aplicando  $D = \text{Hom}_L(-, K)$  a  $\phi_{P,X}$  tenemos que

$$(\phi_{P,X})^* = D\phi_{P,X} : \text{Hom}_A(X, UP) \rightarrow D \text{Hom}_A(P, X).$$

es suprayectiva lo que implica que

$$\dim_L D \text{Hom}_A(P, X) \leq \dim_L \text{Hom}_A(X, UP).$$

$\beta_{P,X}$  es natural en  $P$  y en  $X$ .

Esto es una consecuencia fácil de (ii) y (iii).

Definimos a  $\alpha_{P,X} := \beta_{P,X}^{-1}$ .

□



3.6.2. Proposición: Si  $V: A\text{-mod} \rightarrow A\text{-mod}$  es el funtor de Nakayama,  $\bar{V}: K^b(A\text{-mod}) \rightarrow K^b(A\text{-mod})$  induce una equivalencia triangular de  $K^b(A\mathcal{B})$  a  $K^b(A\mathcal{A})$ .

### Demostración

Dado que  $V$  induce una equivalencia aditiva  $F: A\mathcal{B} \rightarrow A\mathcal{A}$ . (3.6.1 (a)).

Por (Cap. I (3.8))  $F$  induce una equivalencia triangular  $\bar{F}: K^b(A\mathcal{B}) \rightarrow K^b(A\mathcal{A})$  donde  $\bar{F} := \bar{V}$  restringida a  $K^b(A\mathcal{B})$ .

□

3.6.3 Probarémos que el funtor de Nakayama  $U: K^b(A, \mathcal{P}) \rightarrow K^b(\text{Mod})$  induce una transformación invertible:

$$\mathcal{Y}_P: D\text{Hom}_{K^b(A\text{-mod})}(P_i, -) \rightarrow \text{Hom}_{K^b(A\text{-mod})}(-, \bar{U}P_i)$$

Para cada  $\eta \in \text{Hom}_{K^b(A\text{-mod})}(X_i, \bar{U}P_i)$  consideramos la siguiente correspondencia:

$$\begin{aligned} (-|\eta): \text{Hom}_{K^b(A\text{-mod})}(P_i, X_i) &\rightarrow K \quad \text{tal que} \\ \int^{\bullet} \dashrightarrow &\sum_{n \in \mathbb{Z}} (-1)^n (\int^n |\eta^n) \end{aligned}$$

$(-|\eta)$  está bien definido: supongamos que  $\int^{\bullet}: P^{\bullet} \rightarrow X^{\bullet}$  es un morfismo de complejos homotópico a 0, debemos probar que  $\sum_{n \in \mathbb{Z}} (-1)^n (\int^n |\eta^n) = 0$ . Sea  $\{h_n\}$  una colección de morfismos tales que  $\int^n = h_n \partial_X^{n-1} - \partial_P^n h_{n+1}$ .  
Por tanto,

$$\begin{aligned} \sum_{n \in \mathbb{Z}} (-1)^n (\int^n |\eta^n) &= \sum_{n \in \mathbb{Z}} (-1)^n (h_n \partial_X^{n-1} - \partial_P^n h_{n+1} | \eta^n) = \\ &= \sum_{n \in \mathbb{Z}} (-1)^n (h_n \partial_X^{n-1} | \eta^n) - \sum_{n \in \mathbb{Z}} (-1)^n (\partial_P^n h_{n+1} | \eta^n) = \\ &= \sum_{n \in \mathbb{Z}} (-1)^n (h_n | \partial_X^{n-1} \cdot \eta^n) - \sum_{n \in \mathbb{Z}} (-1)^n (h_{n+1} | \eta^n \vee (\partial_P^n)) = \\ &= \sum_{n \in \mathbb{Z}} (-1)^n [(h_n | \partial_X^{n-1} \eta^n) - (h_n | \eta^{n-1} \vee (\partial_P^{n-1}))] = \\ &= \sum_{n \in \mathbb{Z}} (-1)^n [(h_n | \partial_X^{n-1} \eta^n - \eta^{n-1} \vee (\partial_P^{n-1}))] = 0 \end{aligned}$$

Así hemos demostrado que  $(-|\eta)$  no depende de

la elección en la clase de homotopía de  $f$ , análogamente podemos demostrar que no depende de la elección de  $\eta$ .

Sea  $\beta_{x;p}: \text{Hom}_{k(A\text{-mod})}(X; \bar{U}P) \rightarrow D\text{Hom}_{k(A\text{-mod})}(P, X)$  tal que

$$\eta \longmapsto (-\eta)$$

Lema:  $\beta_{x;p}$  es una transformación natural invertible. Definimos  $\alpha_{x;p} := \beta_{x;p}^{-1}$ .

Demostración.

Es fácil ver que  $\beta$  es natural en  $X$  y en  $P$ . Veremos que  $\beta_x$  es un isomorfismo. La demostración es por doble inducción en el ancho  $w(P)$ ,  $w(X)$  de  $P \in k^b(A\text{-mod})$  y  $X \in k^b(A\text{-mod})$  respectivamente.

a)  $w(P) = 1 = w(X)$

Si  $P, X$  son complejos concentrados a nivel  $i, j$  con  $i \neq j$  entonces

$\text{Hom}_{k^b(A\text{-mod})}(X; \bar{U}P) = 0 = D\text{Hom}_{k^b(A\text{-mod})}(P, X)$ , por tanto  $\beta_x$  es un iso.

Si  $P, X$  son complejos concentrados a nivel  $i, j$  con  $i = j$ . Podemos suponer que  $i = 0$  así que:

$\text{Hom}_{k^b(A\text{-mod})}(X; \bar{U}P) \cong \text{Hom}_k(X^0; U^0P) \cong D\text{Hom}_k(P^0, X^0) \cong D\text{Hom}_{k^b(A\text{-mod})}(P, X)$

$\eta \longmapsto \eta \longmapsto (-\eta) \longmapsto (-\eta)$

y así  $\beta_x$  induce un isomorfismo.

b) Supongamos que  $P^\circ$  es un complejo tal que  $w(P^\circ) = 1$  sin pérdida de generalidad podemos suponer que  $P^\circ$  es un complejo concentrado a nivel cero.

Sea  $X^\circ$  un complejo tal que  $w(X^\circ) = n$ . Por (Cap 2.22) podemos construir un triángulo de la forma  $(X_1, X_2, X', u, v, w)$  donde  $w(X_1), w(X_2) < w(X')$ . Por ser  $\text{Hom}_{\mathcal{C}(n\text{-mod})}(-, \bar{D}P^\circ)$  y  $\text{Hom}_{\mathcal{C}(n\text{-mod})}(P^\circ, -)$

funtores cohomológicos tenemos el siguiente diagrama conmutativo con renglonas exactas:

$$\begin{array}{ccccccccc}
 \cdots & \rightarrow & \text{Hom}_{\mathcal{C}(n\text{-mod})}(TX_2, \bar{D}P^\circ) & \xrightarrow{(\beta_{TX_2})^*} & \text{Hom}_{\mathcal{C}(n\text{-mod})}(TX_1, \bar{D}P^\circ) & \xrightarrow{W^*} & \text{Hom}_{\mathcal{C}(n\text{-mod})}(X', \bar{D}P^\circ) & \xrightarrow{V^*} & \text{Hom}_{\mathcal{C}(n\text{-mod})}(X_2, \bar{D}P^\circ) & \rightarrow & \text{Hom}_{\mathcal{C}(n\text{-mod})}(X_1, \bar{D}P^\circ) & \rightarrow \cdots \\
 & & \beta_{TX_2} \downarrow & & \beta_{TX_1} \downarrow & & \beta_{X'} \downarrow & & \beta_{X_2} \downarrow & & \beta_{X_1} \downarrow & \\
 \cdots & \rightarrow & \text{DHom}_{\mathcal{C}(n\text{-mod})}(P^\circ, TX_2) & \xrightarrow{D(\beta_{TX_2})} & \text{DHom}_{\mathcal{C}(n\text{-mod})}(P^\circ, TX_1) & \xrightarrow{D(W)} & \text{DHom}_{\mathcal{C}(n\text{-mod})}(P^\circ, X') & \xrightarrow{D(V)} & \text{DHom}_{\mathcal{C}(n\text{-mod})}(P^\circ, X_2) & \rightarrow & \text{DHom}_{\mathcal{C}(n\text{-mod})}(P^\circ, X_1) & \rightarrow \cdots
 \end{array}$$

Por hipótesis de inducción (ya que  $w(X_1), w(X_2), w(TX_1), w(TX_2)$  son menores que  $n$ ),  $\beta_{X_1}, \beta_{X_2}, \beta_{TX_1}, \beta_{TX_2}$  son isomorfismos, y por el lema del cinco se sigue que  $\beta_{X'}$  es un isomorfismo, para cada  $P^\circ, X^\circ$  tal que  $w(P^\circ) = 1$  y  $w(X^\circ) = n$ .

El caso general es similar al anterior.  $\square$

### 3.7 Demostración del teorema 3.6.

#### Demostración

Dado que  $\text{gldim } A < \infty$  entonces  $D^b(A)$  es equivalente a triangular a  $k^b(\text{rad } P)$  y a  $k^b(\text{rad } A)$ .

Así cada objeto en  $D^b(A)$  pueda escribirse en la forma  $P'$ , donde  $P' \in k^b(\text{rad } P)$ . Supongamos que  $P'$  es inescindible en  $D^b(A)$ . Sea  $f \in \text{Hom}_{k^b(\text{rad } P)}(P', P')$  una forma lineal en  $\text{End}(P')$  la cual se anula en el radical  $\text{rad } \text{End}(P')$  y satisfaga  $f(\text{Id}_{P'}) = 1$  en  $k$ .

Ya que  $f$  es distinto de cero,  $w = \alpha_{P'}(f): P' \rightarrow \mathcal{U}P'$  es distinto de cero. Aplicando  $T^-$  al morfismo  $w$ , obtenemos el morfismo

$$T^-w: T^-P' \rightarrow T^- \mathcal{U}P'$$

distinto de cero.

Tomando el cono del morfismo  $T^-w$  obtenamos un triángulo

$$T^-P' \xrightarrow{T^-w} T^- \mathcal{U}P' \xrightarrow{u} C^*(T^-w) \xrightarrow{v} P'$$

Ahora, aplicando (TR2), obtenamos otro triángulo:

$$T^- \mathcal{U}P' \xrightarrow{u} C^*(T^-w) \xrightarrow{v} P' \xrightarrow{-w} \mathcal{U}P'$$

en donde  $T^- \mathcal{U}P'$ ,  $P'$  son inescindibles en  $D^b(A)$  y  $w \neq 0$ .

Además se afirma que este triángulo satisface que  $f \cdot w = 0$  para todo  $f: X' \rightarrow P'$  no retracto en  $D^b(A)$ . Lo cual demuestra que este triángulo es de Auslander-Reiten por (3.3).

Para demostrar nuestra afirmación, observa que si

$f: P \rightarrow \mathcal{O}_X$  es un morfismo arbitrario entonces  $f \circ f$  está en  $\text{rad End}(P)$  pues  $f \circ f$  no es invertible, ya que  $f$  no es retracts. Por tanto tenemos que

$$(f/f \cdot w) = (f/f | w) = \beta(w)(f/f) = f(f \cdot f) = 0. \text{ Luego,}$$

$$\beta(fw) = (- | fw) = 0. \text{ Como } \beta \text{ es iso } fw = 0. \quad \square$$

3.8 Por definición, los vértices del carcaj  $\Gamma := \Gamma(\mathcal{C})$  de una categoría Krull-Schmidt  $\mathcal{C}$  son las clases de isomorfía  $[X]$  de los objetos indecomponibles  $X$  de  $\mathcal{C}$ . El carcaj tiene una flecha  $[X] \rightarrow [Y]$  si existe un morfismo irreducible de  $X$  a  $Y$  en  $\mathcal{C}$ .

Corolario: Sea  $A$  una  $k$ -álgebra de dimensión finita de dimensión global finita. Entonces  $\Gamma(D^b(A))$  tiene estructura de carcaj de traslación (ver [R]).

### Demostración

Usando 4.9 del capítulo I sabemos que  $D^b(A)$  es equivalente triangular a  $K^b(A, \mathcal{P})$ . Así  $D^b(A)$  es categoría Krull-Schmidt. Sea  $P^*$  indecomponible en  $D^b(A)$ .

Definimos  $ZP^* := T^{-1}P^*$ . Se sigue de (3.6) que  $(\Gamma(D^b(A)), Z)$  es un carcaj de traslación estable (estable significa que la traslación  $Z$  está definida para todos los vértices).

Note que en nuestra situación  $Z$  es inducida por una equivalencia en  $\text{ind } D^b(A)$ . □

3.9 Proposición: Sea  $A$ - $k$ -álgebra de dimensión finita de dimensión global finita y  $X, Y \in D^b(A)$ . Entonces

$$D\text{Hom}_{D^b(A)}(T^{2i-1}X, Y) \cong \text{Hom}_{D^b(A)}(Y, \tau T^{2i}X) \text{ para todo } i \in \mathbb{Z}.$$

### Demostración

Sea  $P_1 \cong X^*$  y  $P_2 \cong Y^*$  con  $P_1, P_2 \in K^b(\text{Mod } A)$ . Claramente  $T$  conmuta con  $\tau$ . Así  $\tau T^{2i}X^* \cong \tau T^{2i}P_1^* = \tau T^{2i-1}P_1^*$ . Y el isomorfismo es inducido por la transformación invertible  $\alpha_{T^{2i-1}P_1^*}$  (compara 3.6.3).  $\square$

## §4 El carcaj de $D^b(k\bar{A})$

4.1 Sea  $A$  una  $k$ -álgebra de dimensión finita, básica y hereditaria (i.e. el algebra de trayectorias  $A = k\bar{A}$  de un carcaj finito sin ciclos orientados  $\bar{A}$ ). Determinaremos  $\Gamma(D^b(k\bar{A}))$  el cual sabemos es isomorfo a  $\Gamma(D^b(B))$  cuando  $B$  es equivalente por Tiltado a  $k\bar{A}$  (var (1.7)).

Lema. Sea  $X$  un objeto inascindible en  $D^b(k\bar{A})$ . Entonces  $X$  es isomorfo a un complejo concentrado a nivel  $i$ , para algún  $i \in \mathbb{Z}$ , con  $X^i$  inascindible en  $A$ -mod.

### Demostración

Dado que  $D^b(k\bar{A})$  es equivalente a  $k^b(\text{mod})$  es suficiente demostrar que cada objeto  $I^i$  de  $k^b(\text{mod})$  inascindible en  $D^b(k\bar{A})$  es isomorfo a alguno de la forma:

$$\dots \rightarrow 0 \rightarrow I^i \xrightarrow{\partial^i} I^{i+1} \rightarrow 0 \rightarrow \dots$$

donde  $\partial^i$  es suprayectivo (ya que este objeto es isomorfo al complejo  $\dots \rightarrow 0 \rightarrow k\bar{A} \xrightarrow{\partial^i} 0 \rightarrow \dots$  concentrado a nivel  $i$ ).

Sea  $I^i$  inascindible en  $k^b(k\bar{A})$ . Aplicando  $T$  si es necesario, podemos suponer que  $I^i$  tiene la siguiente forma:

$$\dots \rightarrow 0 \rightarrow I^0 \xrightarrow{\partial^0} I^1 \xrightarrow{\partial^1} I^2 \rightarrow \dots$$

con  $I^0 \neq 0$ .



Considera una factorización  $I^0 \xrightarrow{g} X \xrightarrow{h} I^1$  de  $\partial^0$  en  $k\bar{\Delta}$ -mod con  $g$  suprayectivo y  $h$  inyectivo.

Entonces  $X$  es un  $k\bar{\Delta}$ -módulo inyectivo,  $h$  es una sección. Por tanto tenemos un isomorfismo  $(h, u)^{-1} \circ \partial^0 \circ I^1$  en  $k\bar{\Delta}$ -mod. Dado que  $h \circ \partial^1 = 0$  obtenemos un isomorfismo de complejos

$$\begin{array}{ccccccc} \cdots & \rightarrow & 0 & \rightarrow & I^0 & \xrightarrow{\partial^0} & I^1 & \xrightarrow{\partial^1} & I^2 & \xrightarrow{\partial^2} & I^3 & \rightarrow & \cdots \\ & & \uparrow & & \uparrow & & \uparrow & & \uparrow & & \uparrow & & \\ \cdots & \rightarrow & 0 & \rightarrow & I^0 \oplus 0 & \xrightarrow{\begin{pmatrix} \partial^0 & 0 \\ 0 & u \end{pmatrix}} & X \oplus C & \rightarrow & 0 \oplus I^1 & \xrightarrow{\begin{pmatrix} 0 & \partial^1 \\ 0 & u \end{pmatrix}} & 0 \oplus I^2 & \rightarrow & \cdots \end{array}$$

Dado que  $I^1$  es inescindible concluimos que

$$\cdots \rightarrow 0 \rightarrow I^0 \xrightarrow{g} X \rightarrow 0 \rightarrow \cdots$$

o

$$\cdots \rightarrow 0 \rightarrow C \rightarrow I^1 \rightarrow I^2 \rightarrow \cdots$$

es cero en  $D^b(k\bar{\Delta})$ . (i.e. acíclico). En el segundo caso  $I^1$  es isomorfo a

$$\cdots \rightarrow 0 \rightarrow I^0 \xrightarrow{g} X \rightarrow 0 \rightarrow \cdots$$

en  $D^b(k\bar{\Delta})$ . Y en el primer caso, lo hemos reducido a un complejo de ancho menor.

**4.2 Corolario:** Sea  $X_0 \xrightarrow{f_0} X_1 \rightarrow \cdots \rightarrow X_{r-1} \xrightarrow{f_{r-1}} X_0$  un ciclo en  $D^b(k\bar{\Delta})$ . Entonces, cada  $X_i$  es isomorfo a  $T^n X_j$  para algún  $X_j \in k\bar{\Delta}$ -mod y algún  $n \in \mathbb{Z}$  fijo.  $\square$

4.3 Dividimos el cálculo de triángulos de Auslander-Reiten en  $D^b(A)$  en dos casos:

Primer caso: Si  $z = T^i z$  para algún  $i \in \mathbb{Z}$  y algún inyectivo  $z$  no proyectivo en  $kA$ -mod. Entonces tomamos la sucesión de Auslander-Reiten  $0 \rightarrow X \xrightarrow{u} Y \xrightarrow{v} Z \rightarrow 0$  en  $A$ -mod.

Sea  $w \in \text{Ext}_{kA}^1(Z, X) = \text{Hom}_{D^b(kA)}(Z, T^1 X)$  el elemento correspondiente a esta sucesión. Entonces

$$T^1 X \xrightarrow{T^1 u} T^1 Y \xrightarrow{T^1 v} T^1 Z \xrightarrow{T^1 w} T^1 X$$

el cual es triángulo tal que  $T^1 X, T^1 Y$  son inyectivos y  $T^1 w \neq 0$ .

Para ver que es un triángulo de Auslander-Reiten basta demostrar que exista  $f': W' \rightarrow T^1 Y$  tal que  $f' \circ T^1 v = f$  para cada  $f: W' \rightarrow Z$  no retracción.

Sea entonces  $f: W' \rightarrow Z$  no retracción el cual visualizamos a través del siguiente diagrama:

$$\begin{array}{ccccccc} \dots & \rightarrow & W^{i-1} & \rightarrow & W^i & \rightarrow & W^{i+1} & \rightarrow & W^{i+2} & \rightarrow & \dots \\ & & \downarrow & & \downarrow f^i & & \downarrow & & \downarrow & & \\ \dots & \rightarrow & 0 & \rightarrow & Z & \rightarrow & 0 & \rightarrow & 0 & \rightarrow & \dots \end{array}$$

donde  $f^j = 0$  si  $j \neq i$  y  $f^i: W^i \rightarrow Z$  no es retracción.

Luego existe  $h: W^i \rightarrow Y$  tal que  $h \circ \sigma = f^i$ . Sea entonces  $f': W' \rightarrow T^1 Y$  tal que

$$f'^j := \begin{cases} 0 & \text{si } j \neq i \\ h & \text{si } j = i \end{cases}$$

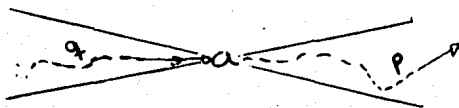
claramente  $f' \circ T^1 v = f$ . Por tanto  $(T^1 X, T^1 Y, T^1 Z, T^1 u, T^1 v, T^1 w)$

es triángulo de Auslander-Raitan en  $D^b(A)$ .

Segundo Caso : Sea  $Z = T^1 p(a)$  con  $i \in Z$  donde  $P(a)$  es el  $K\Delta^0$ -módulo proyectivo inascindible asociado con el punto  $a$  de  $\Delta^0$ ; por simplicidad suponemos que  $i=0$ .

Denotamos por  $E$  el siguiente  $K\Delta^0$ -módulo (considerado como representación covariante de  $\Delta^0$ ):  $E(x)$  es el espacio vectorial libremente generado por las trayectorias en  $\Delta^0$  de la forma  $p: x \rightarrow a$  o  $q: a \rightarrow x$  (así tenemos que  $E(x)=0$  si  $x$  no es comparable con  $a$  en el orden  $\leq$  definido por las flechas de  $\Delta^0$ ).

Si  $\alpha: x \rightarrow y$  es una flecha en  $\Delta^0$  y  $a \leq x$ ,  $E(\alpha): E(x) \rightarrow E(y)$  mapea a  $q$  en la composición de trayectorias  $q\alpha$ ; si  $x \leq a$ ,  $E(\alpha)$  mapea  $p$  en  $q'$  si  $p = \alpha q'$  y en 0 si no tiene esta forma.



Las trayectorias (resp. las trayectorias no triviales) que salen de  $a$  generan un submódulo de  $E$  el cual es identificado con el proyectivo inascindible  $P(a)$  asociado a  $a$  (respectivamente con el radical  $P(a)$  de  $P(a)$ ). El conúcleo de la inclusión  $P(a) \hookrightarrow E$  se identifica con el módulo generado por los caminos que terminan en  $a$  esto es el inyectivo inascindi-

bl a  $I(a)$ . El cociente  $I(a)/\text{soc } I(a)$  lo denotamos por  $\bar{I}(a)$ .

Sea  $p: E \rightarrow I(a)$  la proyección así definida. Denotamos por  $w$  la composición  $P(a) \xrightarrow{i} E \xrightarrow{p} I(a)$ . Correspondiente a la sucesión exacta  $P(a) \xrightarrow{i} E \xrightarrow{p} \bar{I}(a)$  (resp.  $\bar{P}(a) \xrightarrow{i} E \xrightarrow{p} I(a)$ ) tenemos un elemento  $\eta \in \text{Ext}_{\mathcal{L}}^1(\bar{I}(a), P(a)) \cong \text{Hom}_{D(A)}(\bar{I}(a), T P(a))$  (resp.  $\eta' \in \text{Ext}_{\mathcal{L}}^1(I(a), P(a)) \cong \text{Hom}_{D(A)}(I(a), T P(a))$ ).

Lema: La sextupla asociada con la sucesión

$$(*) \quad T I(a) \xrightarrow{[\eta, \eta']} T \bar{I}(a) \oplus P(a) \xrightarrow{[\eta]'} P(a) \xrightarrow{w} I(a)$$

es un triángulo de Auslander-Raitan.

### Demostración

Claramente  $I(a) = \nu P(a)$ . Por la prueba del teorema 3.6 el triángulo de Auslander-Raitan que parte de  $T P(a) = T \bar{I}(a)$  tiene a  $w$  como último morfismo. Así es suficiente verificar que la sextupla de nuestro lema es un triángulo. Esto se sigue directamente del siguiente diagrama, donde  $E$  denota un módulo arbitrario,  $P \subseteq E$  los submódulos de  $E$ ,  $I$  y  $\bar{I}$  los cocientes  $E/P$  y  $E/\bar{P}$  respectivamente; por  $[X-204]$  el complejo que se anula en grados distintos de 0 y 1 el cual tiene a  $X$  como 0-componenta y  $Y$  en la primera componenta;  $w = (P \hookrightarrow E \rightarrow I = E/P)$ .

$$\begin{array}{ccccccc}
 [0 \rightarrow P] & \xrightarrow{[0, w]} & [0 \rightarrow I] & \xrightarrow{[0, 1]} & [P \xrightarrow{w} I] & \xrightarrow{[1, 0]} & [P \rightarrow 0] \\
 & & \uparrow & & \uparrow & & \\
 & & [0, P] & & [P, P] & & \\
 & & \uparrow & & \uparrow & & \\
 [P \rightarrow E] & \xrightarrow{[E, i, 1]} & [P \oplus P \rightarrow E] & & & & 
 \end{array}$$

Por construcción la primera línea es un triángulo y los morfismos verticales son casi-isomorfismos en  $k^b(k^{\Delta^0}\text{-mod})$ .

Dado que  $[P \oplus P \rightarrow E]$  es casi-isomorfo a  $TP \oplus \bar{I}$ , la primera línea es isomorfa en  $D^b(k^{\Delta^0})$  a la siguiente sucesión:

$$P \xrightarrow{w} I \xrightarrow{[P, -\eta]} \bar{I} \oplus TP \xrightarrow{\begin{bmatrix} \eta \\ \tau \end{bmatrix}} TP$$

la afirmación se sigue de (TR2).  $\square$

El triángulo (\*) es llamado triángulo de Conexión observa la analogía con las sucesiones de conexión en la teoría de módulos de Tiltao [HR].

4.4 Usando los resultados de (3.5) es fácil derivar la estructura  $\Gamma(D^b(k^{\Delta^0}))$ . Sea  $\Gamma := k^{\Delta^0}$  el carcaj de Auslander-Raitan de  $k^{\Delta^0}$ . Denota por  $\Gamma_i$  una copia de  $\Gamma$  para  $i \in \mathbb{Z}$ , por  $\bar{\Gamma}$  el carcaj obtenido de la unión disjunta  $\coprod_{i \in \mathbb{Z}} \Gamma_i$ , agregando una flecha del módulo inyectivo  $I(b)$  en  $\Gamma_i$  al módulo proyectivo  $P(a)$  en  $\Gamma_{i+1}$  para cada flecha de  $b$  a  $a$  en  $\Delta$ .

Proposición:  $\Gamma(D^b(k^2)) \cong \tilde{\Gamma}$  como categorías de trans-  
lación.

### Demostración

Sea  $Y \in D^b(k^2)$  inascindible, entonces  $Y \cong T^l Y$  para alguna  $l \in \mathbb{Z}$ ,  $Y \in k^2\text{-mod}$ . Supongamos que  $Y$  no es proyectivo. Consideramos la sucesión de Auslander-Raitan  
 $0 \rightarrow Z \xrightarrow{u} E \xrightarrow{v} Y \rightarrow 0$  en  $k^2\text{-mod}$ , obtenamos el triángulo de Auslander-Raitan.

$$T^l Z \xrightarrow{T^l u} T^l E \xrightarrow{T^l v} T^l Y \rightarrow 0 \text{ en } D^b(k^2).$$

Sea  $E = \bigoplus_{j=1}^n X_j$  descomposición inascindible en  $k^2\text{-mod}$  y consideramos al morfismo  $T^l v = \begin{pmatrix} T^l v_1 \\ \vdots \\ T^l v_n \end{pmatrix}: \bigoplus_{j=1}^n T^l X_j \rightarrow T^l Y$ .

Es fácil probar que los morfismos  $T^l v_j: T^l X_j \rightarrow T^l Y$  son, hasta isomorfía, los morfismos irreducibles que terminan en  $T^l Y$ .

En el caso en que  $Y = P(a)$  es proyectivo en  $k^2\text{-mod}$ , al triángulo de Auslander-Raitan en  $D^b(k^2)$  resulta.

$$T^{l-1} I(b) \xrightarrow{\begin{pmatrix} T^{l-1} P \\ T^{l-1} T^l v_j \end{pmatrix}} T^{l-1} \tilde{I}(b) \oplus T^l P(a) \xrightarrow{\begin{pmatrix} T^{l-1} Y \\ T^l v_j \end{pmatrix}} T^l P(a) \xrightarrow{\omega} T^l I(b)$$

donde la notación es como en (9.3). Consideramos las descomposiciones inascindibles

$$P(a) = \bigoplus_{j=1}^{n_a} P(b_j) \quad \text{y} \quad \tilde{I}(b) = \bigoplus_{j=1}^{n_b} I(c_j), \text{ donde}$$



son todas las flechas que salen de  $a$  en  $\mathcal{D}$

y



son todas las flechas que entran en  $a$  en  $\mathcal{D}$

Consideramos los morfismos

$$T^{l-1} \eta = \begin{pmatrix} \eta^{(1)} \\ \vdots \\ \eta^{(m)} \end{pmatrix} : \bigoplus_{j=1}^{m_a} T^{l-1} I(c_j) \longrightarrow T^l P(a) \quad y$$

$$\zeta = \begin{pmatrix} T^l i_1 \\ \vdots \\ T^l i_{n_a} \end{pmatrix} : \bigoplus_{j=1}^{n_a} T^l P(b_j) \longrightarrow T^l P(a)$$

Luego, los morfismos  $\eta_j^{(l)} : T^{l-1} I(c_j) \rightarrow T^l P(a)$  y  $T^l i_j : T^l P(b_j) \rightarrow T^l P(a)$  son hasta isomorfía los irreducibles que terminan en  $T^l P(a)$ .

Definimos ahora  $f: \Gamma(\mathcal{O}_X^{\otimes l}) \rightarrow \mathcal{A}^l$  de la siguiente manera.

Si  $[Y, j] \in \Gamma(\mathcal{O}_X^{\otimes l})$ , con  $Y = T^l Y$ , para  $l \in \mathbb{Z}$ ,  $Y \in k^0\text{-mod}$ , entonces  $f([Y, j]) = ([Y, j], \ell) \in \mathcal{A}^l$ . Si  $\alpha: [X, j] \rightarrow [Y, j]$  es flecha en

$\Gamma(D^0(k\alpha))$ , distinguimos dos casos:

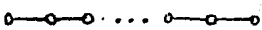
Si  $Y$  no es proyectivo, entonces  $\alpha = [T^e v_j] : [T^e x_j] \rightarrow [Y]$ , donde la notación es como antes. Así,  $[v_j] : [x_j] \rightarrow [Y]$  es flacha en  $\Gamma = \Gamma^0$ , ponamos  $f(\alpha) = ([v_j], \ell)$ . Si  $Y = P(a)$  y  $\alpha = [T^e i_j] : [T^e P(b_j)] \rightarrow [T^e P(a)]$ , entonces  $f(\alpha) = ([i_j], \ell)$  como antes. Si  $\alpha = [T^e i_j] : [T^e I(c_j)] \rightarrow [T^e P(a)]$ , entonces  $f(\alpha)$  es flacha de  $[I(c_j), \ell-1]$  en  $[P(a), \ell]$  en  $\Gamma$  correspondiente a la flacha  $c_j \rightarrow a$  en  $\mathbb{Z}$ .


Por construcción  $f$  es isomorfismo de carcajas, Además preserva la translación. En efecto, si  $Y' = T^e Y$  y  $Y$  no es proyectivo, entonces  $Z[Y'] = [T^e zY]$  y  $f(Z[Y']) = ([zY], \ell) = Z([Y], \ell)$  en  $\tilde{\Gamma}$ . Si  $Y' = T^e P(a)$ , entonces  $Z[Y'] = [T^e I(a)]$  y  $f(Z[Y']) = ([I(a)], \ell-1) = Z([P(a)], \ell) = Zf([Y])$ .

□

4.5 En esta sección ciertas graficas juegan un papel especial. Enseguida damos su descripción:

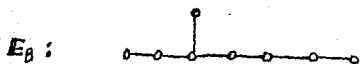
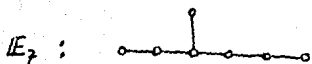
(i) Diagramas Dynkin.

$A_n$  :  (n+1 vértices)

$D_n$  :  (n vértices)

$E_6$  : 

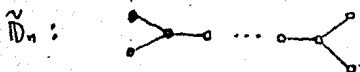




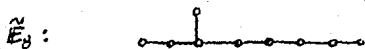
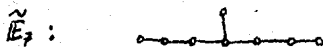
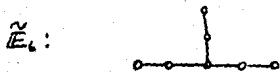
(ii) Diagramas afines



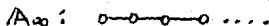
(n+1 vértices)  
(n ≥ 1)



(n+1 vértices)  
(n ≥ 3)



(iii) Diagrama infinito



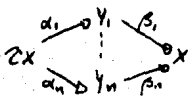
4.5.1 De la estructura de  $\Gamma_{\Delta^0}$  ([G2], [R:2], [R:3]) se sigue:

- Corolario:
- i) Si  $\Delta^0$  es un diagrama Dynkin entonces  $\Gamma(D^*(k\Delta^0)) \cong \mathbb{Z}\Delta^0$
  - ii) Si  $\Delta^0$  es un diagrama afín (i.e. es de tipo de representación morsa) entonces las componentes de  $\Gamma(D^*(k\Delta^0))$  son de la forma  $\mathbb{Z}\Delta^0$  y  $\mathbb{Z}A_{00}/r$  para algún  $r \in \mathbb{N}$ .
  - iii) Si  $\Delta^0$  es un carcaj no Dynkin ni afín (i.e.  $k\Delta^0$  es de representación salvaja) entonces las componentes de  $\Gamma(D^*(k\Delta^0))$  son de la forma  $\mathbb{Z}\Delta^0$  y  $\mathbb{Z}A_{00}$ .

□.

4.6 Sea  $\Delta^0$  un carcaj Dynkin y denota por  $k[\mathbb{Z}\Delta^0]$  la categoría malla de  $\mathbb{Z}\Delta^0$ , esto es:

Definimos  $k[\mathbb{Z}\Delta^0]$  la categoría malla  $k[\mathbb{Z}\Delta^0]/M$  donde  $k[\mathbb{Z}\Delta^0]$  es la categoría de caminos asociada a  $\mathbb{Z}\Delta^0$  y  $M$  el ideal generado por las sumas  $\sum_{i=1}^n \alpha_i \beta_i$  donde



en  $\mathbb{Z}\Delta^0$  es tal que  $\alpha_1, \dots, \alpha_n$  son todas las flechas que salen de  $x$  (ver [R]).

Proposición:  $\text{ind } D^b(k\tilde{\Delta}^0)$  es equivalente a  $k(\mathbb{Z}\tilde{\Delta}^0)$ .

Demostración

Sea  $f: \mathbb{Z}\tilde{\Delta}^0 \rightarrow \Gamma(D^b(k\tilde{\Delta}^0))$  el isomorfismo de carcasas de translación dado en (4.5 [2]).

Se define el funtor  $F: k(\mathbb{Z}\tilde{\Delta}^0) \rightarrow \text{ind } D^b(k\tilde{\Delta}^0)$  inducido por  $f$  y tal que preserve la translación de Auslander-Reiten.

Es fiel y pleno: Dado que  $F$  conmuta con  $\tau$  podemos suponer que  $F(x) = T^i P$  para  $i \in \mathbb{Z}$  y  $P$  algún proyectivo inascindible en  $k\tilde{\Delta}^0\text{-mod}$ . Supongamos que  $F(y) = T^j Y$  con  $Y$  inascindible en  $k\tilde{\Delta}^0\text{-mod}$ .

Mostraremos que  $F$  es pleno. Si  $i \neq j$ , entonces  $\text{Hom}_{D^b(k\tilde{\Delta}^0)}(F(x), F(y)) = 0$ . Podemos suponer que  $i = j$ ,

$\text{Hom}_{D^b(k\tilde{\Delta}^0)}(F(x), F(y)) \cong \text{Hom}_{D^b(k\tilde{\Delta}^0)}(P, Y) \cong \text{Hom}_{k\tilde{\Delta}^0}(P, Y)$ . Como  $\tilde{\Delta}^0$  es

Dynkin,  $\Gamma_{k\tilde{\Delta}^0}$  es una componente preproyectiva. Si  $f \in \text{Hom}_{k\tilde{\Delta}^0}(P, Y)$  entonces  $f = \sum_{i=1}^n \lambda_i \alpha_i^{(i)} \dots \alpha_n^{(i)}$ , donde  $\alpha_i^{(i)}$  es morfismo irreducible en  $k\tilde{\Delta}^0\text{-mod}$ .

Luego, existen flechas  $\beta_i^{(i)}$  en  $\mathbb{Z}\tilde{\Delta}^0$  tales que  $F(\beta_i^{(i)}) = \alpha_i^{(i)}$ . Entonces

$$F\left(\sum_{i=1}^n \lambda_i \beta_i^{(i)} \dots \beta_n^{(i)}\right) = f, \text{ con } \sum_{i=1}^n \lambda_i \beta_i^{(i)} \dots \beta_n^{(i)} \in \text{Hom}_{k(\mathbb{Z}\tilde{\Delta}^0)}(x, y).$$

Mostraremos ahora que  $F$  es fiel: podemos suponer que  $\text{Hom}_{k(\mathbb{Z}\tilde{\Delta}^0)}(x, y) \neq 0$ . En ese caso  $i = j$ . Por tanto

$$\text{Hom}_{D^b(k\tilde{\Delta}^0)}(F(x), F(y)) \cong \text{Hom}_{k\tilde{\Delta}^0}(P, Y) \cong \text{Hom}_{k(\mathbb{Z}\tilde{\Delta}^0)}(x, y).$$

(!) por ser  $\tau$  una equivalencia en  $k(\mathbb{Z}\tilde{\Delta}^0)$  (ver [R]).  $\square$

4.7 Si  $\tilde{\Delta}$  es un carcaj Dynkin, la característica de Euler  $\chi_{k\tilde{\Delta}}$  es positiva definida y el conjunto de raíces  $\mathcal{R} = \{x \in \mathbb{Z}^n : \chi_{k\tilde{\Delta}}(x) = 1\}$  es finito (ver por ejemplo [R:6]).

Un elemento distinto de cero  $x = (x_1, x_2, \dots, x_n) \in \mathbb{Z}^n$  es positivo si  $x_i \geq 0$  para todo  $i \in \{1, 2, \dots, n\}$ . Entonces dim induce una biyección entre  $\text{ind } k\tilde{\Delta}$  y  $\mathcal{R}^+ = \{x \in \mathcal{R} : x \text{ es positivo}\}$  [BGP], [51].

Sea  $T$  el funtor translación en la categoría  $\text{ind } D^b(k\tilde{\Delta})$ . Sea  $G$  el grupo cíclico de automorfismos  $k$ -lineales de  $\text{ind } D^b(k\tilde{\Delta})$  generado por  $T$ .

Observamos que  $G$  actúa libramante sobre  $\text{ind } D^b(k\tilde{\Delta})$  (en efecto, supongamos que  $T^{2n}X = X$  con  $n \geq 0$ . Como  $X$  es acotado, podemos suponer que  $X^0 \neq 0$  y  $X^m = 0$  si  $m < 0$  por tanto  $(T^{2n}X)^m = 0$  si  $m \leq 2n-1$  y  $(T^{2n}X)^{2n} \neq 0$ . Luego  $2n=0$  y  $n=0$ ) y la acción de  $G$  es localmente acotada (en efecto, supongamos que  $X, Y \in \text{ind } D^b(k\tilde{\Delta})$  y  $\text{Hom}_{D^b(k\tilde{\Delta})}(X, T^m Y) \neq 0$ . Sea  $f: D^b(k\tilde{\Delta}) \rightarrow D^b(k\tilde{\Delta})$  la equivalencia triangular dada en (cap I, 4.9). Luego  $0 \neq \text{Hom}_{D^b(k\tilde{\Delta})}(X, T^{2n} Y) \cong \text{Hom}_{D^b(k\tilde{\Delta})}(fX, T^{2n} fY)$ . Podemos suponer que

$(fX)^m = 0$  si  $m \notin \{i, i+1, \dots, j-1, j\}$  para números  $i, j \in \mathbb{Z}$ . Similarmente  $(fY)^m = 0$  si  $m \notin \{t, t+1, \dots, s-1, s\}$ . Entonces  $i \leq t+n \leq j$  o bien  $t \leq s+2n \leq j$  y sólo hay finitas  $n$  que satisfacen esta condición).

Por [53, 3.1], al cociente  $\text{ind } D^b(k\tilde{\Delta})/T^2$  está bien definido y es una categoría localmente de dimensión finita. Además la proyección  $\pi: \text{ind } D^b(k\tilde{\Delta}) \rightarrow \text{ind } D^b(k\tilde{\Delta})/T^2$  es una cubierta de Galois.

La categoría  $\mathcal{R}(k\tilde{\Delta}) = \text{ind } D^b(k\tilde{\Delta})/T^2$  se llama la categoría de raíces de  $\tilde{\Delta}$ .

Corolario. Sea  $\tilde{\Delta}$  un carcaj Dynkin. Entonces  $\dim$  induce una biyección entre los objetos  $\mathcal{R}(\tilde{\Delta})$  y  $\mathcal{R}$ .

### Demostración

Por 4.1 y la observación previa  $\chi_{k\alpha}(\dim X^*) = 1$  para  $X^* \in \text{ind } D^b(k\tilde{\Delta})$  consecuentemente  $\dim$  es un mapeo de  $\text{ind } D^b(k\tilde{\Delta})$  a  $\mathcal{R}$ . Como para  $X \in \mathcal{R}$  o bien  $X$  o  $-X$  es positivo,  $\dim$  es un mapeo suprayectivo. Como  $\dim T^2 X = \dim X^*$  entonces se induce un mapeo suprayectivo de  $\mathcal{R}(\tilde{\Delta})$  en  $\mathcal{R}$ .

Si  $\dim X^* = \dim Y^*$  con  $X^*, Y^* \in \text{ind } D^b(k\tilde{\Delta})$ . Por (4.1) podemos suponer que  $X^*$  está concentrado a nivel 0 y  $Y^*$  concentrado a nivel  $l$ . Como  $\dim X^* \geq 0$  entonces  $l$  es par, digamos  $l = 2k$ . Así,  $\dim X^* = \dim T^{-2k} Y^*$ . Por [BGP],  $X^* \cong T^{-2k} Y^*$ .

□

4.8 Sea  $\Delta$  una gráfica finita y  $\tilde{\Delta}_1, \tilde{\Delta}_2$  dos carcajes sin ciclos orientados y gráfica subyacente igual a  $\Delta$ . Si  $\tilde{\Delta}_1$  puede obtenerse de  $\tilde{\Delta}_2$  por una sucesión de reflexiones [BGP], [B2] y un isomorfismo de carcajes escribimos  $\tilde{\Delta}_1 \sim \tilde{\Delta}_2$ .

Proposición:  $\mathbb{Z}\tilde{\Delta}_1$  y  $\mathbb{Z}\tilde{\Delta}_2$  son isomorfos como carcajes de translación si y sólo si  $\tilde{\Delta}_1 \sim \tilde{\Delta}_2$ .

Antes de demostrar esta proposición, hagamos algunas consideraciones:

4.8.1 a) Sea  $\Delta$  un carcaj sin ciclos orientados, un conjunto de vértices  $X = \{x_1, x_2, \dots, x_n\}$  en  $\mathbb{Z}\Delta^0$  es llamado una rabanada si satisfaca las tres condiciones siguientes:

- i) Para cada vértice  $x \in \mathbb{Z}\Delta^0$ ,  $X$  contiene precisamente un punto de la órbita  $\{z^n x; n \in \mathbb{Z}\}$  de  $x$ .
- ii) Si  $y_0 \rightarrow y_1 \rightarrow \dots \rightarrow y_s$  es una trayectoria en  $\mathbb{Z}\Delta^0$ ,  $y_0, y_1, y_s$  pertenecen a  $X$ , entonces todos los  $y_i$  pertenecen a  $X$ .
- iii) Si  $x \rightarrow y$  es una flecha en  $\mathbb{Z}\Delta^0$  y  $x \in X$  entonces  $y \in X$  o  $zy \in X$ .

Sea  $(\bar{\Delta}, 0)$  el subcarcaj plano de  $\mathbb{Z}\Delta^0$  definido por

$$(\bar{\Delta}, 0)_0 := \{ (i, 0) : i \in \bar{\Delta} \}$$

$$(\bar{\Delta}, 0)_1 := \{ (\alpha, 0) \in (\mathbb{Z}\Delta^0)_1 : (\alpha, 0) : (i, 0) \rightarrow (j, 0) \text{ para}$$

cada  $\alpha : i \rightarrow j \in \Delta_1 \}$ .

Claramente  $(\bar{\Delta}, 0)$  es una rabanada de  $\mathbb{Z}\Delta^0$ , isomorfa a  $\bar{\Delta}$ .

4.8.2 b) En esta sección sea  $\Gamma$  una rabanada de  $\mathbb{Z}\Delta^0$ , tal que para cada  $(x, i) \in \Gamma$ ,  $i \geq 0$ .

Lema:  $(\bar{\Delta}, 0) \sim \Gamma$ .

Demostración

## Demostración

Sea  $w(\Gamma) := \sum_{(x,i) \in \Gamma} i$ . La demostración es por inducción sobre  $w(\Gamma)$ .

Si  $w(\Gamma) = 0$  entonces  $(\Delta, 0) = \Gamma$  y por tanto  $(\Delta, 0) \cap \Gamma = \emptyset$ .

Supongamos que  $w(\Gamma) = n$  y que para toda rabanada  $\Gamma'$  con  $w(\Gamma') < n$  tal que  $i \geq 0$  y  $w(\Gamma') \leq n-1$  entonces  $(\Delta, 0) \cap \Gamma' = \emptyset$ .

En primer lugar observamos que  $\Gamma$  tiene un pozo: Sea  $(y_1, i_1) \in \Gamma$ . Luego  $i_1 \geq 0$ . Si  $(y_1, i_1)$  no es pozo en  $\Gamma$ , exista  $\alpha_1: (y_1, i_1) \rightarrow (y_2, i_2) \in \Gamma$  flecha en  $\mathbb{Z}\Delta^0$ . Luego  $i_2 \geq i_1 \geq 0$ . Continuando de esta forma se debe llegar a un pozo. De otra forma encontramos un ciclo

$$(y_s, i_s) \xrightarrow{\alpha_s} (y_{s+1}, i_{s+1}) \rightarrow \dots \xrightarrow{\alpha_{n-1}} (y_n, i_n) \xrightarrow{\alpha_n} (y_s, i_s)$$

Luego  $i_s = i_{s+1} = \dots = i_n$ . Traduciendo con  $\mathbb{Z}^k$  obtenemos en  $(\Delta, 0)$  un ciclo.

$(\mathbb{Z}^k y_s, 0) \rightarrow (\mathbb{Z}^k y_{s+1}, 0) \rightarrow \dots \rightarrow (\mathbb{Z}^k y_n, 0) \rightarrow (\mathbb{Z}^k y_s, 0)$ , pero  $(\Delta, 0)$  es isomorfo a  $\Delta^0$  que no tiene ciclos. Contradicción.

Sea  $(z, j)$  un pozo en  $\Gamma$ . Como  $w(\Gamma) > 0$ , entonces  $j > 0$ . Definimos  $\Gamma'$  la imagen bajo el functor reflexión  $\sigma(z, j)$  en el pozo  $(z, j)$  de  $\mathbb{Z}\Delta^0$ . Así  $\Gamma' := \sigma(z, j)\Gamma$ .

Entonces  $\Gamma' = \{(x, i) \in \Gamma : x \neq z\} \cup \{(z, j-1)\}$ ,  $\Gamma'$  es una rabanada tal que para cada  $(y, i) \in \Gamma'$ ,  $i \geq 0$ .

$\Gamma'$  es rabanada.

i) Es claro que  $\Gamma'$  contiene exactamente un punto de cada órbita de  $\mathbb{Z}\Delta^0$ .

ii) Supongamos que  $y_0 \rightarrow y_1 \rightarrow \dots \rightarrow y_s$  es una trayectoria en  $\mathbb{Z}\Delta^0$  con  $y_0, y_s \in \Gamma'$ . Como  $(z, j-1)$  es fuente en  $\Gamma'$ ,  $(z, j-1) \neq y_i, 1 \leq i \leq s$ .

Si  $y_0 \neq (z, j-1)$ , entonces  $y_0, y_s \in \Gamma$  y por tanto  $y_i \in \Gamma, 0 \leq i \leq s$ . Luego también  $y_i \in \Gamma', 0 \leq i \leq s$ . Supongamos que  $y_0 = (z, j-1)$ . Como  $y_1 = (z, j) \in \Gamma$ , se trata que  $y_i \in \Gamma$  o bien  $z^{-1}y_i \in \Gamma$ . Pero por ser  $(z, j)$  pozo en  $\Gamma$ , entonces  $y_i \in \Gamma$ . Entonces  $y_i \in \Gamma', 1 \leq i \leq s$ . Así,  $y_i \in \Gamma', 0 \leq i \leq s$ .

iii) Supongamos que  $x \rightarrow y$  es flecha en  $\mathbb{Z}\Delta^0$  con  $x \in \Gamma'$ . Si  $x = (z, j-1)$ , entonces  $y = (z, j)$  es flecha en  $\mathbb{Z}\Delta^0$ . Luego  $y \in \Gamma$  o bien  $z^{-1}y \in \Gamma$ . Por ser  $(z, j)$  pozo en  $\Gamma$ ,  $y \in \Gamma$ , luego  $y \in \Gamma'$ .

Si  $x \neq (z, j-1)$ , entonces  $x \in \Gamma$ . Así  $y \in \Gamma$  o bien  $zy \in \Gamma$ . Si  $zy \in \Gamma$ , entonces  $zy \neq (z, j)$ , luego  $zy \in \Gamma'$ . Si  $y \in \Gamma$  pero  $y = (z, j)$ , entonces  $zy = (z, j-1) \in \Gamma'$ .

Así hemos mostrado que  $\Gamma'$  es una subred en  $\mathbb{Z}\Delta^0$  la cual por construcción satisfaca que para cada  $(x, i) \in \Gamma', i \geq 0$ , además  $w(\Gamma') \leq n-1$  por hipótesis de inducción tenemos que  $(\Delta, 0) \cap \Gamma'$ . Por tanto  $(\Delta, 0) \cap \Gamma'$ .

4.8.3 Sean  $\Delta_1$  y  $\Delta_2$  carcajes sin ciclos orientados con gráfica subyacente igual a  $\Delta$ .

Lema: Si  $\mathbb{Z}\Delta_1$  es isomorfo a  $\mathbb{Z}\Delta_2$  como carcajes de traslación entonces existe  $\Gamma'$  subred en  $\mathbb{Z}\Delta$  tal que para todo  $(x, i) \in \Gamma', i \geq 0$ .

Demostración



Sea  $\varphi: \mathbb{Z}\Delta_1 \rightarrow \mathbb{Z}\Delta_2$  un isomorfismo de cargajes de translación, así  $\varphi z_1 = z_2 \varphi$  donde  $z_1$  es la translación en  $\mathbb{Z}\Delta_1$ , y  $z_2$  es la translación en  $\mathbb{Z}\Delta_2$ .

Sea  $X = \{x_1, x_2, \dots, x_n\}$  una sucesión (+) admisible en  $\Delta_1$  (esto es  $x_i$  es peso en  $\Delta_1$ ,  $-1x_i \rightarrow x_i$  para  $i=1, \dots, n$ ).

Entonces  $(X, 0)$  es una rebanada de  $\mathbb{Z}\Delta_1$ , y  $(X, 0)$  es isomorfo a  $\Delta_1$ .

Sea  $Y = \varphi(X, 0)$  subcargaj de  $\mathbb{Z}\Delta_2$ .

$Y$  es rebanada en  $\mathbb{Z}\Delta_2$ . En efecto:

a) Sea  $z$  un vértice en  $\mathbb{Z}\Delta_2$ . Entonces  $\varphi^{-1}(z)$  es vértice en  $\mathbb{Z}\Delta_1$  y exista una única  $n$  tal que  $z_1^n \varphi^{-1}(z) \in (X, 0)$ . Así,  $z_2^n z = \varphi(z_1^n \varphi^{-1}(z)) \in Y$ .

b) Sea  $z_1 \rightarrow z_2$  en  $\mathbb{Z}\Delta_2$  con  $z_1 \in Y$ . Así  $\varphi^{-1}(z_1) \rightarrow \varphi^{-1}(z_2)$  en  $\mathbb{Z}\Delta_1$  con  $\varphi^{-1}(z_1) \in (X, 0)$ . Luego  $\varphi^{-1}(z_2) \in (X, 0)$  o  $z_2 \varphi^{-1}(z_1) \in (X, 0)$ . Equivalentemente,  $z_2 \in Y$  o  $z_2 z_1 \in Y$ .

c) Similarmente  $Y$  es cerrado bajo trayectorias.

#### 4.8.4. Demostración de la Proposición (4.8)

$\Rightarrow$ ) Sea  $\varphi: \mathbb{Z}\Delta_1 \rightarrow \mathbb{Z}\Delta_2$  un isomorfismo de cargajes de translación. Sea  $X = (\Delta_1, 0)$  rebanada en  $\Delta_1$ , isomorfa a  $\Delta_1$ . Entonces  $\varphi(X)$  es rebanada en  $\mathbb{Z}\Delta_2$ , y por (4.8.2),  $\varphi(X) \simeq \Delta_2$ . Entonces  $\Delta_1 \simeq \Delta_2$ .

$\Leftarrow$ ) La demostración es fácil: Se deja al lector.

4.9. Corolario: Si  $D^0(K_1)$  es equivalente triangular a  $D^0(K_2)$  entonces  $\Delta_1 \simeq \Delta_2$ .

### Demostración

Por 4.5 las componentes de  $\Gamma^*(D^0(k\mathbb{Z}^n))$  no isomorfas a  $\mathbb{Z}A_{100}$  o  $\mathbb{Z}A_{100}/r$  son isomorfas a  $\mathbb{Z}\mathbb{Z}^n$ . Así  $\mathbb{Z}\mathbb{Z}^n$  y  $\mathbb{Z}\mathbb{Z}^n$  son isomorfas como cargas de translación.

□.

## §5 Algebras Dynkin

5.1 Sea  $\Delta$  un carcaj Dynkin y  $A \text{ frin. } (\text{vert}(\Delta, s))$  sin ciclos orientados que tiene  $n$  vértices. El cuadrado del functor translación es un automorfismo en  $D^b(k\Delta)$ . La categoría de Raíces es por definición la categoría cociente de  $\text{ind } D^b(k\Delta)$  por  $T^2$ , definida en (4.7).

En lo siguiente usamos la misma notación para  $\mathcal{R}(\Delta)$  y su carcaj. Observe que  $\mathcal{R}(\Delta)$  no necesariamente es conexo. Llamamos a un vértice  $x \in \mathcal{R}(\Delta)$ , regular si  $x$  está contenido en una componente de la forma  $\mathbb{Z}A_{l,0}$  o  $\mathbb{Z}A_{l,0}/r$ , (compara (4.5)) todos los otros vértices son llamados vértices transactivos.

5.2 En (2.4) hemos definido el vector  $\underline{\dim} x^*$  para  $x^* \in D^b(k\Delta)$ .

Sea  $x \in \mathcal{R}(\Delta)$  y  $x^*, y^* \in \Pi^{-1}(x)$ ; Entonces  $\underline{\dim} x^* = \underline{\dim} y^*$ .

Definimos  $\underline{\dim} x$  como  $\underline{\dim} x^*$  para  $x \in \mathcal{R}(\Delta)$ , y  $x^* \in \Pi^{-1}(x)$ , y no depende de la elección de  $x^*$  en  $\Pi^{-1}(x)$ .

El vector  $\underline{\dim} x$  es llamado vector dimensión de  $x$ . Esto hace considerar dos subcategorías de  $\mathcal{R}(\Delta)$ . Sean  $\mathcal{R}^+(\Delta)$  y  $\mathcal{R}^-(\Delta)$  las subcategorías planas de  $\mathcal{R}(\Delta)$  consistentes en los  $x \in \mathcal{R}(\Delta)$  tal que  $\underline{\dim} x$  es positivo y negativo respectivamente. Claramente  $T\mathcal{R}^+(\Delta) = \mathcal{R}^-(\Delta)$ .

5.3 Para todo  $x \in \mathcal{R}(\Delta)$  definimos una función  $f_x: \mathcal{R}(\Delta) \rightarrow \mathbb{Z}$  por  $f_x(y) = \dim_k \text{Hom}_{\mathcal{R}(\Delta)}(x, y) - \dim_k \text{Hom}_{\mathcal{R}(\Delta)}(y, x)$ .

Lema:  $f_x(y) = \langle \underline{\dim} x, \underline{\dim} y \rangle$

Demostración

Sea  $x', y' \in \text{ind } D^i(k\bar{\Delta}^0)$  tal que  $\pi(x') = x$  y  $\pi(y') = y$ .  
Dado que  $\pi$  es funtor cubriente, obtenemos:

$$f_x(y) = \sum_{i \in \mathbb{Z}} \dim_k \text{Hom}_{D^i(k\bar{\Delta}^0)}(T^{2i}x', y') = \sum_{i \in \mathbb{Z}} \dim_k \text{Hom}_{D^{2i}(k\bar{\Delta}^0)}(y', T^{2i}x') =$$

$$(3.9) \quad = \sum_{i \in \mathbb{Z}} \dim_k \text{Hom}_{D^{2i}(k\bar{\Delta}^0)}(T^{2i}x', y') = \sum_{i \in \mathbb{Z}} \dim_k \text{Hom}_{D^{2i-1}(k\bar{\Delta}^0)}(T^{2i-1}x', y') =$$

$$(2.7) \quad = \langle \underline{\dim} x', \underline{\dim} y' \rangle = \langle \underline{\dim} x, \underline{\dim} y \rangle. \quad \square$$

5.4 Un subconjunto de vértices  $\mathcal{T} = \{t_1, \dots, t_n\}$  de  $\mathcal{Q}(\bar{\Delta}^0)$ , es llamado un conjunto de tiltos si las siguientes condiciones son satisfechas:

- i)  $\text{Hom}_{\mathcal{Q}(\bar{\Delta}^0)}(t_i, zt_j) = 0$  para todo  $i, j$
- ii)  $\underline{\dim} t_1, \dots, \underline{\dim} t_n$  forman una  $\mathbb{Z}$ -base de  $\mathbb{Z}^n$ .

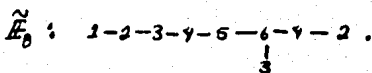
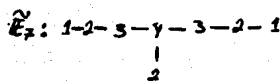
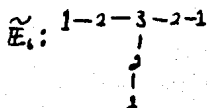
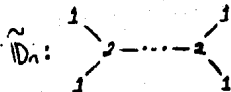
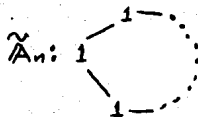
5.5 Sea  $\mathcal{T} = \{t_1, \dots, t_n\}$  un conjunto de tiltos. Sea  $\text{End } \mathcal{T}$  la  $k$ -álgebra formada por las matrices  $n \times n$ ,  $f = (f_{ij})$  tales que  $f_{ij} \in \text{Hom}_{\mathcal{Q}(\bar{\Delta}^0)}(t_i, t_j)$ . El álgebra  $\text{End } \mathcal{T}$  se llama una  $\mathbb{Z}$ -álgebra raíz.

La matriz de Cartan  $C_{\mathcal{T}}$  de  $\mathcal{T}$  tiene por coeficientes  $(C_{\mathcal{T}})_{ij} = \dim_k \text{Hom}_{\mathcal{Q}(\bar{\Delta}^0)}(t_i, t_j) = \langle \underline{\dim} t_i, \underline{\dim} t_j \rangle$

5.6 Lema: Sea  $\vec{\Delta}$  un carcaj afín. Sin ciclos orientados.  $\mathcal{T} = \{t_1, t_2, \dots, t_n\}$  un conjunto de tiltos de  $R(\vec{\Delta})$ . Entonces  $\mathcal{T}$  contiene un vértice transactivo.

### Demostración

Sea  $\vec{\Delta}$  un carcaj afín sin ciclos orientados. Es bien conocido [DR] que exista un vector  $z_0 \in \mathbb{N}^n$  tal que  $\langle z_0, z_i \rangle = 0$ . De hecho  $z_0$  está dado como sigue:



Si  $t_1, \dots, t_n$  son vértices regulares de  $R(\vec{\Delta})$  sabemos que  $\langle z_0, \dim t_i \rangle = 0$ ,  $i=1, \dots, n$ .

Así,  $t_i \in H = \{v : \langle z_0, v \rangle = 0\}$  hiperplano de dimensión  $n-1$ . Contradicción.  $\square$

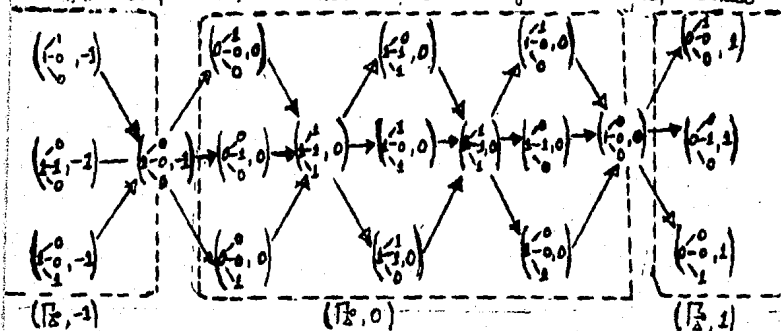
5.7 Llamamos a un conjunto de tiltos  $\mathcal{T}$  de  $R(\vec{\Delta})$  libre de ciclos si el carcaj de  $\text{End } \mathcal{T}$  no tiene ciclos orientados.

Vamos un ejemplo de un conjunto de tiltos que

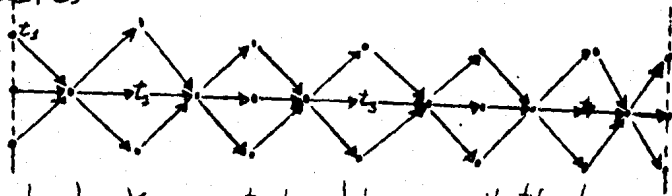
no es libre de ciclos.  
Consideremos

$$\Delta := \begin{array}{c} \circ \\ \swarrow \quad \searrow \\ \circ \end{array}$$

(o sea,  $\Delta = D_4$ ). En primer lugar calculamos  $Q(\mathbb{Z})$ . El carraje de  $\text{ind } D(\mathbb{Z})$  es  $\mathbb{Z}\Delta$ , y se obtiene de la siguiente manera; Recordamos que por la proposición (4.1) Cada complejo inascindible  $X$  en  $D(\mathbb{Z})$  es, de la forma  $T^i X$  con  $X \in \mathbb{Z}\text{-mod}$ . En esta diagrama  $T^i X$  está representado



por la pareja  $(\text{dim } X, i)$ , donde  $T(\text{dim } X, i) = (\text{dim } X, i-1)$ . Luego al carraje de  $Q(\mathbb{Z})$  es



donde las líneas verticales deban ser identificadas. Consideramos el conjunto  $\mathcal{Y} = \{z_1, z_2, z_3, z_4\}$  como se

indica en el dibujo. Probaremos que

(I)  $\mathcal{T}$  es conjunto de tiltos y

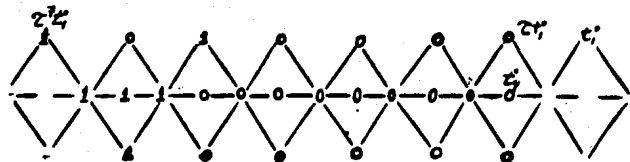
(II)  $\mathcal{T}$  no es libre de ciclos.

Para esto observamos que  $\pi: \text{ind } D^0(k\bar{\Delta}) \rightarrow \mathcal{R}(\bar{\Delta})$  es una cubriente de Galois dada por el grupo  $\mathcal{G}$  generado por  $\tau^6$ . En efecto, basta observar que  $\tau^2 = \tau^6$  en  $\text{ind } D^0(k\bar{\Delta})$ .

(I)  $\mathcal{T}$  es conjunto de tiltos.

Debemos demostrar que  $\text{Hom}_{\mathcal{R}(\bar{\Delta})}(t_i, \tau^j t_j) = 0$ , para todo  $i, j$ . Como  $\text{Hom}_{\mathcal{R}(\bar{\Delta})}(t_i, \tau^j t_j) = \coprod_{n \in \mathbb{Z}} \text{Hom}_{D^0(k\bar{\Delta})}(\tau^{6n+i} t_i, t_j)$  donde

$\pi(t_i) = t_i$ ,  $\pi(t_j) = t_j$ ; basta ver que  $\text{Hom}_{D^0(k\bar{\Delta})}(\tau^{6n+i} t_i, t_j) = 0$  para todo  $n \in \mathbb{Z}$ . Chequemos esto para  $i=1, j=4$  (los demás casos son similares)



Claramente,  $\text{Hom}_{D^0(k\bar{\Delta})}(\tau^7 t_1, t_4) = 0$ . En el diagrama se ha marcado la función  $\dim_k \text{Hom}_{D^0(k\bar{\Delta})}(\tau^7 t_1, -)$ . Similarmente  $\text{Hom}_{D^0(k\bar{\Delta})}(\tau^{6n+1} t_1, t_4) = 0$ .

$\{\dim t_i\}$  es base de  $\mathbb{Z}^6$ .

En efecto,

$$\dim t_1 = \dim t_1^* = 0 \begin{matrix} \swarrow 1 \\ \circ \\ \searrow 0 \end{matrix}, \dim t_2 = 1 \begin{matrix} \swarrow 1 \\ \circ \\ \searrow 1 \end{matrix}, \dim t_3 = 0 \begin{matrix} \swarrow 0 \\ \circ \\ \searrow 1 \end{matrix}, \dim t_4 = 1 \begin{matrix} \swarrow 0 \\ \circ \\ \searrow 1 \end{matrix}.$$

II) End  $T$  tiene ciclos.

En efecto, la siguiente cadena de morfismos en  $\text{ind } D^b(k\bar{\Delta})$  determina un ciclo en  $R(\bar{\Delta})$ .

$$\begin{array}{ccccccccccc} \tau_1 \left( \begin{smallmatrix} 0 \\ 0 \\ 0 \end{smallmatrix} \right) & & & & & & & & & & \tau_2 \left( \begin{smallmatrix} 0 \\ 1 \\ 1 \end{smallmatrix} \right) \\ \downarrow & & & & & & & & & & \\ \left( \begin{smallmatrix} 1 \\ 1 \\ 0 \end{smallmatrix} \right) & \rightarrow & \left( \begin{smallmatrix} 1 \\ 0 \\ 1 \end{smallmatrix} \right) & \rightarrow & \left( \begin{smallmatrix} 1 \\ 1 \\ 0 \end{smallmatrix} \right) & \rightarrow & \left( \begin{smallmatrix} 0 \\ 0 \\ 0 \end{smallmatrix} \right) & \rightarrow & \left( \begin{smallmatrix} 0 \\ 1 \\ 1 \end{smallmatrix} \right) & \rightarrow & \left( \begin{smallmatrix} 1 \\ 1 \\ 1 \end{smallmatrix} \right) & \rightarrow & \left( \begin{smallmatrix} 1 \\ 0 \\ 1 \end{smallmatrix} \right) & \rightarrow & \left( \begin{smallmatrix} 1 \\ 1 \\ 1 \end{smallmatrix} \right) \\ & & \tau_6 & & & & & & \tau_3 & & & & & & \square \end{array}$$

5.8 Sea  $A$  una  $k$ -álgebra de dimensión finita,  $(A, \tau, B)$  una terna de tildeo. Sean  $\mathcal{X}, \mathcal{Y}$  las subcategorías planas  $\mathcal{X} \in \mathcal{B}\text{-mod} : M \otimes \mathcal{X} = 0$  y  $\mathcal{Y} \in \mathcal{B}\text{-mod} : \text{Tor}_i^{\mathcal{B}}(M, \mathcal{Y}) = 0$  de  $\mathcal{B}\text{-mod}$  respectivamente.

En [HR] se demuestra que  $(\mathcal{X}, \mathcal{Y})$  es una teoría de torsión en  $\mathcal{B}\text{-mod}$ . Si cada  $\mathcal{B}$ -módulo está en  $\mathcal{X}_0$  y, decimos que la teoría de torsión se escinde.

Siendo a [AH] una  $k$ -álgebra de dimensión finita  $A$  es llamada álgebra iterada de tildeo si existe un corchaj finito  $\bar{\Delta}$  sin ciclos orientados y una sucesión de ternas de tildeo  $(A_i, A_i M_{i+1}, A_{i+1})$  o sism tal que la teoría de torsión asociada  $(\mathcal{X}_i, \mathcal{Y}_i)$  en  $A_{i+1}\text{-mod}$ , se escinde para  $i=0, \dots, m$  y  $A_0 = k\bar{\Delta}$  y  $A_m = A$ .



Este carcaj está unívocamente determinado hasta la relación  $\sim$  introducida en (4.8) y es llamado al tipo de  $A$ .

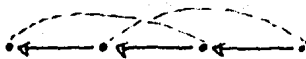
5.9 De interés especial son las álgebras iteradas de tilteo de tipo  $\tilde{D}$ , donde  $\tilde{D}$  es un carcaj Dynkin. Consideramos estas álgebras por el resto de la sección. Se demuestra en [AH] que estas álgebras son simplemente conexas. Por (1.7) y (2.8) inferimos que  $k_0(A)$  y  $k_0(k_0^2)$  son isométricos.

5.10 Teorema: Sea  $A$  una  $\tilde{D}$ -álgebra raíz simplemente conexa. Entonces  $A$  es una álgebra iterada de tilteo de tipo  $\tilde{D}$ .

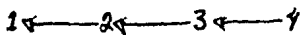
Este resultado forma parte del teorema (5.12) y será demostrado en la sección 6.

5.11 Damos en esta sección un ejemplo de una inclusión de  $\text{ind } A$  a  $\text{ind } D^{\text{alg}}(k^2)$  para una álgebra de tilteo de tipo  $\tilde{D}$ :

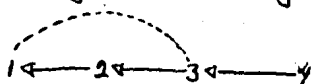
Consideramos al álgebra  $A$  definida por el carcaj con relaciones:



Esta es una álgebra iterada de tilteo de tipo  $A_4$ ; con la notación de 5.8 tenemos que  $m=2$ ; ...;  $A_0$  es el álgebra del carcaj:



y  $A_1$  es el álgebra del carcaj con relaciones:



$M^1$  es la suma directa de los  $A_0$ -módulos con vectores dimensión  $[1, 0, 0, 0]$ ,  $[0, 1, 1, 1]$ ,  $[0, 0, 1, 1]$ ,  $[0, 0, 0, 1]$ ;  $M^2$  es la suma de los  $A_1$ -módulos con vectores dimensión  $[0, 0, 0, 1]$ ,  $[1, 1, 0, 0]$ ,  $[0, 1, 1, 1]$  y  $[0, 0, 0, 1]$ .

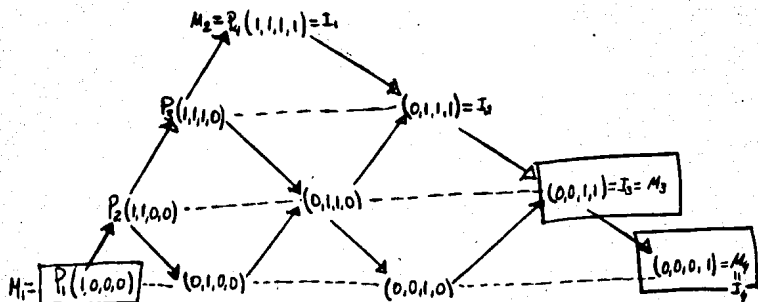
En lo siguiente demostramos (I) que  $(A_0, M^1, A_1)$  y  $(A_1, M^2, A_2)$  son ternas de tildeo y (II)  $A$  es una álgebra iterada de tildeo de tipo  $A_0$  (i.e. veremos que  $(\mathcal{X}_1, \mathcal{Y}_1)$  se ascinda: en  $A_1$ -mod y que  $(\mathcal{X}_2, \mathcal{Y}_2)$  se ascinda: en  $A_2$ -mod.)

(I)  $(A_0, M^1, A_1)$  es una terna de tildeo.

### Demostración

i)  $\text{Ext}_A^1(M^1, M^1) = 0$

En el carcaj de Auslander-Raitan de  $A_0$  (que se muestra abajo) localizamos a  $M_1, M_2, M_3$  y  $M_4$ , los  $A_0$ -módulos tal que  $\underline{\dim} M_1 = [1, 0, 0, 0]$ ,  $\underline{\dim} M_2 = [0, 1, 1, 1]$ ,  $\underline{\dim} M_3 = [0, 0, 1, 1]$  y  $\underline{\dim} M_4 = [0, 0, 0, 1]$ .



de donde podemos ver que  $M_1 = P_1$ ,  $M_2 = P_2 = I_1$ ,  $M_3 = I_3$  y  $M_4 = I_4$

$$\text{Por tanto } \text{Ext}_{A_0}^1(M^3, M^2) \cong \text{Ext}_{A_0}^2(M_3 \oplus M_4, M_3) \cong$$

$$\cong \text{Ext}_{A_0}^1(M_3, M_3) \oplus \text{Ext}_{A_0}^1(M_4, M_3) \cong D \text{Hom}_k(M_3, \mathcal{Z}M_3) \oplus D \text{Hom}_k(M_4, \mathcal{Z}M_3).$$

Claramente  $\dim_k \text{Hom}_k(M_3, \mathcal{Z}M_3) = \dim \mathcal{Z}M_3(1) = 0$  y  $\dim_k \text{Hom}_k(M_4, \mathcal{Z}M_3) = \dim \mathcal{Z}M_4(1) = 0$ .

$$\text{ii) } \text{proj-dim } M^2 \leq 1.$$

Ya que  $A_0$  es hereditaria.

$$\text{iii) } M^2\text{-Codim}(A_0) \leq 1$$

En [HR] Teorema 4.5, se demuestra que  $M^2$  es de tilde, si y sólo si  $\text{Ext}_{A_0}^1(M, M) = 0$  y el número de clases de isomorfía de sumandos directos indecomponibles es igual al número de clases de isomorfía de  $A$ -módulos simples. En virtud de esta teorema, sólo hay que demostrar que el número de clases de isomorfía de  $A$ -módulos simples

es igual a cuatro, lo cual es evidente pues los simples son:

$(1, 0, 0, 0)$ ,  $(0, 1, 0, 0)$ ,  $(0, 0, 1, 0)$  y  $(0, 0, 0, 1)$ .

Con esto concluimos la tarea de demostrar que  $M^2$  es un  $A_0$ -módulo de títalo.

5.11.1 En esta parte demostraremos que  $A_1 \cong \text{End}_k(M^2)$

En efecto, la matriz  $4 \times 4$ ,  $(\dim_k \text{Hom}_{A_0}(M_i, M_j))$   $i, j = 1, \dots, 4$  es

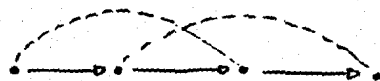
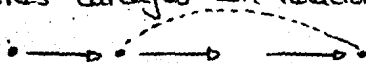
$$\begin{pmatrix} k & 0 & 0 & 0 \\ k & k & 0 & 0 \\ 0 & k & k & 0 \\ 0 & k & k & k \end{pmatrix}$$

que corres ponde al álgebra



(véase su gráfica de Auslander-Reiten en la siguiente página)

5.11.2 Como mencionamos en la sección 5.11,  $A_1, A_2$  son las  $k$ -álgebras de dimensión finita definidas por los siguientes carcajes con relaciones:



, respectivamente

Sea  $M = M^2$  el  $A_2$ -módulo definido por la suma directa de los  $A_2$ -módulos  $M_i$  con  $i \in \{1, 2, 3, 4\}$  y definidos por su vector dimensión:

$$\underline{\dim M_1} = [1, 0, 0, 0], \quad \underline{\dim M_2} = [1, 1, 0, 0], \quad \underline{\dim M_3} = [0, 1, 1, 1] \text{ y}$$

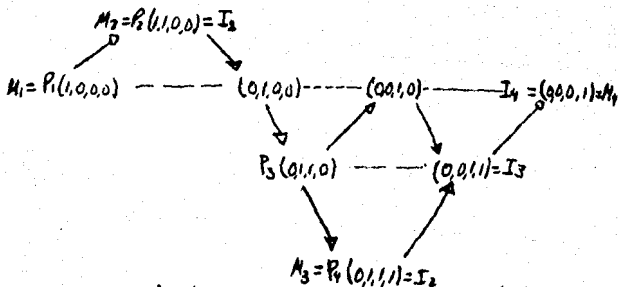
$$\underline{\dim M_4} = [0, 0, 0, 1].$$

Afirmamos que  $(A_2, A, M_{A_2}^A)$  es una terna de tilting.

i)  $M$  es un módulo tilting.

Del carcaj de Auslander-Reiten de  $A_2$  (aquí abajo).

$\Gamma_{A_2}$  :



podamos ver que tanto  $M_1, M_2$  como  $M_3$  tienen dimensión proyectiva menor o igual a 1 por ser  $A_2$ -módulos proyectivos. Y para  $M_4$  tenemos la siguiente presentación proyectiva:

$$0 \rightarrow P_3(0, 1, 1, 0) \rightarrow P_4(0, 1, 1, 1) \rightarrow M_4(0, 0, 0, 1) \rightarrow 0.$$

Por tanto  $\text{proj. dim } M \leq 1$ .

ii)  $\text{Ext}_A^1(M, M) = 0$

$\text{Ext}_A^1(M, M) \cong \text{Ext}_A^1(I_3, P_1) \oplus \text{Ext}_A^1(I_4, P_2)$  por ser  $M_1, M_2, M_3$   $A_1$ -mod. proyectivos. y por ser  $M_3, M_4$   $A_1$ -mod. inyectivos.

Para

$$\text{Ext}_A^1(I_3, P_1) \cong \text{DHom}(P_1, \tau I_3) = 0 \text{ y}$$

$$\text{Ext}_A^1(I_4, P_2) \cong \text{DHom}(P_2, \tau I_4) = 0.$$

por ser  $A_1$  una  $k$ -álgebra dirigida.

iii)  $\underline{M\text{-Codim } A} \leq 1$

Esto se sigue del Teorema (2.1) de [Bo3].

iv)  $A \cong \text{End}_k(M)$ .

Demostración

$$e_1 = \begin{pmatrix} 1 & 0 & 0 & 0 \\ 0 & 0 & 0 & 0 \\ 0 & 0 & 0 & 0 \\ 0 & 0 & 0 & 0 \end{pmatrix}, \quad e_2 = \begin{pmatrix} 0 & 0 & 0 & 0 \\ 0 & 1 & 0 & 0 \\ 0 & 0 & 0 & 0 \\ 0 & 0 & 0 & 0 \end{pmatrix}, \quad e_3 = \begin{pmatrix} 0 & 0 & 0 & 0 \\ 0 & 0 & 0 & 0 \\ 0 & 0 & 1 & 0 \\ 0 & 0 & 0 & 0 \end{pmatrix} \text{ y}$$

$e_4 = \begin{pmatrix} 0 & 0 & 0 & 0 \\ 0 & 0 & 0 & 0 \\ 0 & 0 & 0 & 0 \\ 0 & 0 & 0 & 1 \end{pmatrix}$  es un sistema completo de idempotentes ortogonales y primitivos de  $\text{End}_k(M) = \begin{pmatrix} k & 0 & 0 & 0 \\ 0 & k & 0 & 0 \\ 0 & 0 & k & 0 \\ 0 & 0 & 0 & k \end{pmatrix}$

por [BB] capítulo 3.

$$\text{rad End}(A_1) = \begin{pmatrix} 0 & k & 0 & 0 \\ 0 & 0 & k & 0 \\ 0 & 0 & 0 & k \\ 0 & 0 & 0 & 0 \end{pmatrix}$$

luego entonces.

$$\text{rad}^2 \text{End}(A_1) = \begin{pmatrix} 0 & 0 & 0 & 0 \\ 0 & 0 & 0 & 0 \\ 0 & 0 & 0 & 0 \\ 0 & 0 & 0 & 0 \end{pmatrix}$$

$$\chi \quad \frac{\text{rad End}(A_1)}{\text{rad}^2 \text{End}(A_1)} = \text{rad End}(A_1).$$

con lo cual hemos demostrado que el caracol de Gabriel de  $\text{End}_k(M)$  es.



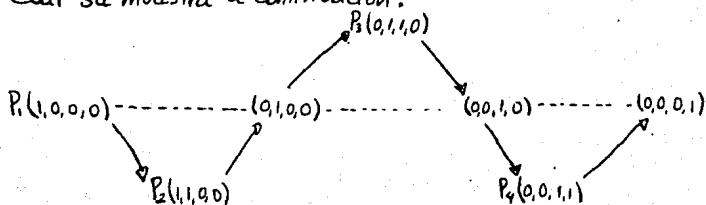
y esto significa que  $A \cong \text{End}_k(M)$ .

Por las secciones 5.11 - 5.11.2 los términos  $(A_0, M, A_1)$  y  $(A_1, M, A_2)$  son tarmas de tiltao.

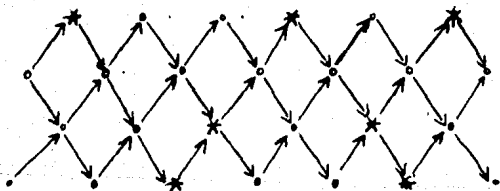
5.11.3 Sean  $(\mathcal{Y}_1, \mathcal{Y}_1)$  y  $(\mathcal{Y}_2, \mathcal{Y}_2)$  las teorías de torsión de las tarmas de tiltao  $(A_0, M, A_1)$  y  $(A_1, M, A_2)$  respectivamente. (ver 5.8). Demostraremos a continuación que se ascindan (ver 5.8).

Por el teorema 6.3 de [NR]  $(\mathcal{Y}_1, \mathcal{Y}_1)$  es una teoría de torsión ascindible. (Pues  $A_0$  es una  $k$ -álgebra hereditaria y  $M'$  un  $A_0$ -módulo de tiltao).

$(\mathcal{X}_2, \mathcal{Y}_2)$  es una teoría de torsión escindible en  $A$  pues  $\text{Tor}_A^1(M_2, X) = 0$  para todo  $X$  inescindible en  $A$ -mod. Esto puede verse fácilmente del carcaj de Auslander-Reiten de  $A$ , al cual se muestra a continuación:



Hasta traslación de  $T$ , existen diez clases de isomorfía de objetos inescindibles en  $D^b(A)$  (compara 5.13). La inclusión de  $\text{ind} A$  en  $\mathcal{Z}A$  se ilustra en la siguiente figura. Los vértices marcados por  $*$  corresponden a los  $A$ -módulos inescindibles.





5.12 Una  $k$ -álgebra de dimensión finita básica se llama álgebra Dynkin de tipo  $\tilde{\Delta}$  si  $A$  es simplemente conexa y existe un carcaj de tipo Dynkin  $\tilde{\Delta}$  de forma que  $k_0(A)$  y  $k_0(\tilde{A})$  son isométricos.

Teorema: Sea  $A$  una  $k$ -álgebra de dimensión finita y  $\tilde{\Delta}$  un carcaj de tipo Dynkin. Las siguientes afirmaciones son equivalentes:

- i)  $D^*(A)$  es equivalente triangular a  $D^*(k_0^{\tilde{\Delta}})$
- ii)  $A$  es una álgebra Dynkin de tipo  $\tilde{\Delta}$ .
- iii)  $A$  es una  $\tilde{\Delta}$ -álgebra raíz simplemente conexa.
- iv)  $A$  es una álgebra iterada de tildeo de tipo  $\tilde{\Delta}$ .
- v)  $A$  y  $k_0^{\tilde{\Delta}}$  son equivalentes por tildeo.

Indicaciones para la demostración.

- i)  $\Rightarrow$  iv) : lo mostraremos en 6.2
- ii)  $\Rightarrow$  iii) : será demostrado en 6.4
- iii)  $\Rightarrow$  iv) : es el contenido de 6.5 y 6.6
- iv)  $\Rightarrow$  v) : trivial.
- v)  $\Rightarrow$  i) : fue demostrado en 1.7

□

Corolario: Sea  $A$  una álgebra Dynkin de tipo  $\tilde{\Delta}$  y  $R_n = \{x \in \mathbb{Z}^n : \chi_0(x) = 1\}$ . Entonces  $\text{dim}$  induce una biyección entre  $\text{ind } D^*(A)/\mathbb{F}^2$  y  $R_n$ .

Demostración.

Por 5.12 existe una equivalencia  $F$  de categorías trianguladas de  $D^*(A)$  a  $D^*(k_0^{\tilde{\Delta}})$ . Por (2.8) obtenemos una isometría



## § 6. La demostración del teorema (5.12)

6.1 Sea  $A$  una  $k$ -álgebra de dimensión finita y de dimensión global finita.

Sea  $M$  un módulo de tildeo. Recordamos algunos conceptos que ya hemos usado antes y que pueden consultarse en [Ri].

a) Sea  $\mathcal{T}(M) = \{X \in A\text{-mod} : X \text{ es generado por } M\}$  y  $\mathcal{F}(M) = \{Y \in A\text{-mod} : \text{Hom}_A(M, Y) = 0\}$ . Entonces  $(\mathcal{T}(M), \mathcal{F}(M))$  define una teoría de torsión en  $A\text{-mod}$ . También se tiene que  $\mathcal{T}(M) = \{X \in A\text{-mod} : \text{Ext}_A^1(M, X) = 0\}$ .

b) Sea  $B = \text{End}_A(M)$ . Entonces  $M$  es  $A$ - $B$ -bimódulo, definimos  $\mathcal{Y}(M) = \{U \in B\text{-mod} : \text{Tor}_1^B(M, U) = 0\}$  y  $\mathcal{X}(M) = \{V \in B\text{-mod} : M \otimes_B V = 0\}$ . Entonces  $(\mathcal{X}(M), \mathcal{Y}(M))$  es una teoría de torsión en  $B\text{-mod}$ . Las siguientes funtores son equivalencias:

$$\text{Hom}_A(M, -) : \mathcal{T}(M) \rightarrow \mathcal{Y}(M) \text{ - con inverso } M \otimes_B -$$

$$\text{Ext}_A^1(M, -) : \mathcal{F}(M) \rightarrow \mathcal{X}(M) \text{ con inverso } \text{Tor}_1^B(M, -)$$

c) Si  $A$  es hereditaria y  $M$  es un módulo de tildeo, la teoría de torsión  $(\mathcal{X}(M), \mathcal{Y}(M))$  se ascinde.

Más en general se tiene el siguiente resultado:

Si  $M$  es módulo de tildeo y  $B = \text{End}_A(M)$ . Entonces  $(\mathcal{X}(M), \mathcal{Y}(M))$  se ascinde si y sólo si todo módulo  $X \in \mathcal{F}(M)$  satisface  $\dim_k \text{in}_A X \leq 1$ .

d) Supongamos que  $S$  es un  $A$ -módulo simple proyectivo y sean  $P_1 = S, P_2, \dots, P_n$  un conjunto completo

de proyectivos inescindibles de  $A$ . El módulo  $M(s) = e^{-1}s \oplus p_2 \oplus \dots \oplus p_n$  es módulo de tildeo llamado APR-módulo de tildeo y al álgebra  $B = \text{End}_A(M(s))$  se llama

para una APR-álgebra tildeada

Claramente,  $F(M(s)) = \text{add } S$  y  $(J(M(s)), F(M(s)))$  se escinda. Esta construcción fue introducida en [APR]

Si  $A$  es una álgebra de tipo finito, denotamos por  $n(A)$  al número de clases de isomorfía de  $A$ -módulos inescindibles.

Por lo anterior y (c) se obtiene la equivalencia de las siguientes afirmaciones:

- i)  $\dim \text{iny } S > 1$
- ii)  $B = \text{End}_A(M(s))$  es de tipo infinito ó bien  $n(B) > n(A)$ .

6.2 El siguiente teorema de [H3] prueba i)  $\Rightarrow$  iv) de (5.12).

Teorema: Sea  $\delta$  un carcaj de tipo Dynkin y  $A$  una álgebra tal que  $D^{\delta}(A)$  es equivalente triangular a  $D^{\delta}(k\delta)$ . Entonces existen ternas de tildeo  $(A_i, M_i, M_{i+1}, A_{i+1} = \text{End } M_i)$  ó  $i < m$  tales que  $A = A_0, k\delta = A_m$  y  $A_i M_i$  es un APR-módulo de tildeo.

Demostración

Primero observamos que en  $\Gamma_A$  no tiene ciclos dirigidos. En efecto, sea  $F: D^{\delta}(A) \rightarrow D^{\delta}(k\delta)$  la equivalencia triangular y supongamos que  $X_0 \xrightarrow{f_0} X_1 \rightarrow \dots \xrightarrow{f_{m-1}} X_m \xrightarrow{f_m} X_0$  es un ciclo de morfismos irreducibles en  $\Gamma_A$ . Luego.

$FX_0 \rightarrow FX_1 \rightarrow \dots \rightarrow FX_n \rightarrow FX_0$  es un ciclo entre inascindibles en  $D^b(k\mathbb{Z})$ . Por (4.2),  $FX_i = T^{m_i} Y_i$  con  $m_i$  fijo y  $Y_i \in k\mathbb{Z}$ -mod para todo  $i \in \{0, 1, \dots, n\}$ , luego  $Y_0 \rightarrow Y_1 \rightarrow \dots \rightarrow Y_n \rightarrow Y_0$  es un ciclo en  $\Gamma_{k\mathbb{Z}}$  lo cual es absurdo.

Luego, daba existir un simple proyectivo  $S \in A$ -mod. Entonces  $B = \text{End}(M(S))$  es de tipo. Por (1.7),  $D^b(B)$  es equivalente triangular a  $D^b(A)$ . Luego  $D^b(B)$  y  $D^b(k\mathbb{Z})$  son equivalentes triangulares. En particular  $B$  no tiene ciclos dirigidos. Es bien conocido que entonces  $B$  es de tipo de representación finito (ver [R1]). Si  $\dim_{\text{ing}} S > 1$ , entonces  $n(k\mathbb{Z}) \geq n(B) > n(A)$ .

Si  $A$  es hereditaria no hay nada que probar. Si  $A$  no es hereditaria exista un módulo simple  $S$  con  $\dim_{\text{ing}} S > 1$ . Esto es equivalente a que exista un inyactivo  $I_e$  con tal que  $\text{Hom}_A(I_e, \mathbb{Z}S) \neq 0$ . Además,  $d(I_e) := |\{x \in I_e\}|$ : no exista un camino  $x \mapsto I_e$  en  $\Gamma_A^+ \geq 1$ . Elijamos un simple proyectivo  $S' = P_a$  tal que  $I_e(a) \neq 0$  y supongamos que  $\dim_{\text{ing}} S' = 1$ . Formamos el APR-módulo de tipo  $M(S')$  y  $B = \text{End}(S')$ . Entonces  $n(B) = n(A)$ .

Observa que  $t \neq a$  (en efecto, como  $\text{Hom}_A(I_e, \mathbb{Z}x) \neq 0$ , exista un morfismo no cero y no invertible de  $I_e$  a algún inyactivo  $I_s$ . Luego  $\text{Hom}_A(P_s, P_e) \neq 0$  y  $P_e$  no es simple. Así  $t \neq a$ ).

Consideramos el funtor equivalencia,

$$F = \text{Hom}_A(M(S'), -) : \mathcal{J}(M(S')) \longrightarrow \mathcal{Y}(M(S'))$$

Como  $P_e \in \text{add } M(S')$ , entonces  $F(I_e)$  es inyactivo en  $B$ -mod [R1, p. 171]. Además  $F \in \mathcal{Y}(M(S'))$  es tal que  $F\mathbb{Z}S = \mathbb{Z}FS$  y  $\text{Hom}_B(FI_e, \mathbb{Z}FS) \neq 0$ . Lo que prueba que  $B$  no es hereditaria. Como se tiene  $S' = P_a \mapsto I_e$  en

$\Gamma_A$  pero no hay un camino  $F'S' \rightsquigarrow FIE$  en  $\Gamma$  ya que  $F'S'$  es simple inyectivo, entonces  $d(FIE) > d(F'S')$ .

De esto se sigue que hay una sucesión finita de temas  $(A_i, A_i M_i, A_{i+1} = \text{End}_{M_i}^{\text{básico}}, \text{tales que } A = A_0 \text{ y } A_i M_i \text{ es un APR-módulo de tildeo de la forma } M_i = M(S_i) \text{ con } \dim \text{any } S_i = 1 \text{ y } A_{i+1} \text{ tiene un simple proyectivo } S_{i+1} \text{ tal que } \dim \text{any } S_{i+1} > 1. \text{ Luego } n(\text{End}_{A_{i+1}}(M(S_{i+1}))) > n(A_{i+1}).$

Este proceso no pueda continuar indefinidamente y se detiene en  $k\bar{\alpha}$ .

□.

6.3 Sea  $\bar{\alpha}$  un carcaj de tipo Dynkin. Sea  $A$  una  $k$ -álgebra de dimensión finita simplemente conexa y básica tal que  $K_0(A)$  y  $K_0(k\bar{\alpha})$  son isomórficos l.i.e.  $A$  es una álgebra Dynkin de tipo  $\bar{\alpha}$ .

Sea  $f: K_0(A) \rightarrow K_0(k\bar{\alpha})$  la isometría y  $P_1, \dots, P_n$  un conjunto de representantes de las clases de isomorfía de los  $A$ -módulos indecomponibles proyectivos.

Por (5.2), existen únicos  $t_1, \dots, t_n \in \mathbb{Q}(\bar{\alpha})$  tales que  $\dim t_i = f(\dim P_i)$  ya que  $\chi_{k\bar{\alpha}}(f(\dim P_i)) = \chi_A(\dim P_i) = 1$ .

Lema:  $T = \{t_1, \dots, t_n\}$  es un conjunto de tildeo libre de ciclos en  $\mathbb{Q}(\bar{\alpha})$ .

### Demostración

Por construcción  $\dim t_1, \dots, \dim t_n$  es una base de  $K_0(k\bar{\alpha})$ . Además  $C_T = (\langle \dim t_i, \dim t_j \rangle)_{ij} = (\langle \dim P_i, \dim P_j \rangle)_{ij} = C_A$ .

Como  $A$  es simplemente conexa podemos suponer que  $C_A$  es triangular y luego  $T$  debe ser libre de ciclos.

Basta ver que  $T$  es conjunto de tildeo, esto es  $\text{Hom}_{\mathbb{Q}(\bar{\alpha})}(t_j, t_i) = 0; 1 \leq i, j \leq n$ .

Como  $A$  es de tipo finito,  $0 \leq (C_{\alpha})_{ij} \leq 1$ . Luego  $0 \leq \langle \dim t_i, \dim t_j \rangle \leq 1$ . Si  $\text{Hom}_{\mathbb{Q}(\mathbb{Z})}(t_i, t_j) = 0$ , entonces

$$0 \leq \langle \dim t_i, \dim t_j \rangle = -\dim_{\mathbb{Q}(\mathbb{Z})} \text{Hom}_{\mathbb{Q}(\mathbb{Z})}(t_j, t_i) \text{ y}$$

$\text{Hom}_{\mathbb{Q}(\mathbb{Z})}(t_j, t_i) = 0$ . Podemos así suponer que  $\text{Hom}_{\mathbb{Q}(\mathbb{Z})}(t_i, t_j) \neq 0$ .

Aplicando  $T$  y  $Z$  si es necesario podemos suponer que  $t_i \in \mathbb{R}^+(\mathbb{Z})$  y que es  $\mathbb{Z}$ -proyectivo. Entonces  $\text{Hom}_{\mathbb{Q}(\mathbb{Z})}(t_i, t_j) \neq 0$  implica que  $t_j \in \mathbb{R}^+(\mathbb{Z})$ . Como  $t_i \in \mathbb{R}^-(\mathbb{Z})$  entonces  $\text{Hom}_{\mathbb{Q}(\mathbb{Z})}(t_j, t_i) = 0$ .

□.

6.4 dem de ii)  $\Rightarrow$  iii): Sea  $A$  una algebra Dynkin de tipo  $\tilde{A}$ . Sea  $J = \{e_i \rightarrow e_j \text{ al}$

conjunto de tallas libra de ciclos en  $\mathbb{R}(\mathbb{Z})$  de finido an(6.3).

Sea triana  $C_J = C_A$  matriz triangular superior. Sea  $B = \text{End } J$ , desea demostrarse que  $A \cong B$ .

Consideramos el proyectivo  $P_n$  maximal en  $\Gamma_A$ .  
Sea  $R = \dim P_n$ . Entonces

$$C_A = \left( \begin{array}{c|c} C_A' & \dim R \\ \hline 0 & 1 \end{array} \right)$$

donde  $A' = A/A_{\text{an}} A$  y  $P_n = A_{\text{an}}$ . Luego,  $A = A'[\mathbb{R}]$  es extensión en un punto. Similarmente

$$C_B = \left( \begin{array}{c|c} C_B' & \dim T \\ \hline 0 & 1 \end{array} \right)$$

y  $B = B'[T]$  es extensión en un punto.

Como  $A$  es simplemente conexa, entonces  $A'$  lo es también  $[B \text{ y } T]$ .

Como  $C_A' = C_B'$ , por hipótesis de inducción  $A' \cong B'$ . Además

$\dim R = \dim T$  y como  $\Gamma$  es una componente proporcional,  $\dim R$  determina al módulo  $R$ . Así,  $R \cong T$  y  $A \cong B$ .  $\square$ .

6.5 Sea  $J = \{t_1, \dots, t_n\}$  un conjunto de tildao en  $\mathcal{R}(\tilde{\Delta})$  con  $\tilde{\Delta}$  un carcaj de tipo Dynkin. Supongamos que  $E = \text{End } J$  es una álgebra simplemente conexa.

Sea  $\pi: \text{ind } \mathcal{D}^0(k\tilde{\Delta}) \rightarrow \mathcal{R}(\tilde{\Delta})$  la cubierta de Galois definida en (5.1).

Por  $J$  denotamos la subcategoría plana de  $\mathcal{R}(\tilde{\Delta})$  cuyos objetos están en  $J$  por  $\pi^{-1}(J)$  la subcategoría plana de  $\text{ind } \mathcal{D}^0(k\tilde{\Delta})$  con objetos en  $\pi^{-1}(J)$ . Luego  $\pi: \pi^{-1}(J) \rightarrow J$  es una cubierta de Galois dada por la acción  $\{\tau^n; n \in \mathbb{Z}\}$ .

Como  $\text{End } J$  es simplemente conexa, las cubiertas conexas de Galois de  $J$  son triviales. Luego las componentes conexas de  $\pi^{-1}(J)$  se mapean isomórficamente por  $\pi$  en  $J$ . Sea  $E$  una de estas componentes conexas, sus objetos  $\tilde{J} = \{\tilde{t}_1, \dots, \tilde{t}_n\}$  forman un conjunto de tildao del carcaj  $\tilde{\Gamma}$  de  $\mathcal{D}^0(k\tilde{\Delta})$ , esto es, satisfacen:

$$i) \text{Hom}_{\mathcal{D}^0(k\tilde{\Delta})}(\tilde{t}_i, T^r \tilde{t}_j) = 0 \text{ para } r \neq 0, i, j.$$

$$ii) \dim \tilde{t}_1, \dots, \dim \tilde{t}_n \text{ es una base de } \mathbb{Z}^n$$

$$\text{Además, } \text{End } \tilde{J} = \bigoplus_{i,j} \text{Hom}_{\mathcal{D}^0(k\tilde{\Delta})}(\tilde{t}_i, \tilde{t}_j) \cong \text{End } J.$$

La implicación (ii)  $\Rightarrow$  (iv) del teorema (5.12) se sigue del siguiente

**Teorema:** Si  $\tilde{\Delta}$  es carcaj de tipo Dynkin y  $\tilde{J} = \{\tilde{t}_1, \dots, \tilde{t}_n\}$  es un conjunto de tildao de  $\tilde{\Gamma}$ , entonces  $\text{End } \tilde{J}$  es un álgebra iterada de tildao de tipo  $\tilde{\Delta}$ .



## Demostración

Cada elemento de  $\tilde{E} = \text{End } \tilde{\mathcal{F}}$  es una matriz con entrada  $(i, j)$  en  $\text{Hom}_{\mathbb{Z}}(\tilde{t}_i, \tilde{t}_j)$ . Luego cada  $x \in \mathcal{O}^*(k\tilde{\mathcal{F}})$  determina un  $\tilde{E}$  mod  $Cx$  que consiste de las columnas con entradas en  $\text{Hom}_{\mathbb{Z}}(\tilde{t}_j, X)$ ,  $j=1, \dots, n$ .

En particular, los objetos  $C\tilde{t}_i$  satisfacen

$$\text{Hom}_{\mathbb{Z}}(\tilde{t}_i, \tilde{t}_j) \cong \text{Hom}_{\tilde{E}}(C\tilde{t}_i, C\tilde{t}_j).$$

Si  $\tilde{\mathcal{F}}$  es una rabanada (= subconjunto conexo de  $\tilde{\mathcal{F}} = \mathbb{Z}\tilde{\mathcal{F}}$  que contenga un representante de cada  $\tilde{e}$ -órbita), entonces  $\tilde{E}$  es hereditaria. Si  $\tilde{\mathcal{F}}$  no es rabanada, deseamos encontrar un conjunto de títas  $\tilde{\mathcal{F}}'$  que sea "mejor" que  $\tilde{\mathcal{F}}$  y tal  $E' = \text{End } \tilde{\mathcal{F}}'$  sea APR-títada de  $A$ . Supongamos que  $\tilde{\mathcal{F}}$  no es una rabanada.

Sea  $t_{i_0}$  minimal en  $\tilde{\mathcal{F}}$  en el orden de las flechas de  $\tilde{\mathcal{F}} = \mathbb{Z}\tilde{\mathcal{F}}$ . Luego  $C\tilde{t}_{i_0}$  es simple proyectivo y no injectivo. Consideramos la sucesión que casi se divide

$$0 \rightarrow C\tilde{t}_{i_0} \xrightarrow{(C\tilde{t}_j)} \bigoplus_{j \neq i_0} C\tilde{t}_j \rightarrow V \rightarrow 0.$$

Entonces el  $\tilde{E}$ -módulo,  $k = C\tilde{t}_{i_0} \oplus \dots \oplus C\tilde{t}_{i_{n-1}} \oplus V \oplus C\tilde{t}_{i_1} \oplus \dots$

$\oplus \dots \oplus C\tilde{t}_n$  es un APR-módulo de títas en  $A\text{-mod}$ .

Para ver que  $\text{End } k$  está asociada a un conjunto de títas en  $\tilde{\mathcal{F}}$ , consideramos el triángulo en  $\mathcal{O}^*(k\tilde{\mathcal{F}})$  de la forma

$$\tilde{t}_{i_0} \xrightarrow{[u]} \bigoplus \tilde{t}_j \xrightarrow{v} t' \xrightarrow{w} T\tilde{t}_{i_0}.$$

En (6.6(a)) probamos que  $t'$  es inascindible, digamos  $t' \in \tilde{\mathcal{F}}$ .

Y que el conjunto  $\tilde{T}' = (\tilde{T} - \{\tilde{t}_i, \tilde{t}'\}) \cup \{\tilde{t}'\}$  es de títalo en  $\tilde{T}$ . Además,  $\text{End } \tilde{T}' \cong \text{End } k$ .

Finalmente, sea  $c(\tilde{T})$  la cardinalidad de la envelopa conaxa  $\langle \tilde{T} \rangle$  de  $\tilde{T}$  (= conjunto de vértices en caminos orientados en  $\tilde{T}$  cuyos extremos están en  $\tilde{T}$ ).

Mostraremos en (6.6 (b)) que podemos elegir  $\tilde{T}'$  de forma que  $n \leq c(\tilde{T}') < c(\tilde{T})$ , de forma que después de un número finito de pasos se alcanza un conjunto de títalo  $\tilde{T}_m$  con  $c(\tilde{T}_m) = n$ . Luego  $\tilde{T}_m$  es una rebanada y  $\text{End } \tilde{T}_m$  es un álgebra hereditaria. Esto prueba el teorema.  $\square$ .

6.6 a) La sucesión larga de homología en  $D^0(k\tilde{\alpha})$  nos da una sucesión exacta

$$c\tilde{t}_i \xrightarrow{c\tilde{t}_j} \bigoplus c\tilde{t}_j \xrightarrow{c_v} c\tilde{t}' \xrightarrow{c_u} cT\tilde{t}_i$$

Por ser  $\tilde{T}$  de títalo;  $cT\tilde{t}_i = 0$ . Luego,  $c\tilde{t}' = v$ .

Por el lema de Yoneda,  $\text{Hom}(\tilde{t}_i, X) \cong \text{Hom}(c\tilde{t}_i, cX)$  para toda  $i$ ,  $X \in D^0(k\tilde{\alpha})$ . También, si  $\text{Hom}(T\tilde{t}_i, X) = 0$  se tiene  $\text{Hom}(\tilde{t}', X) \cong \text{Hom}(c\tilde{t}', cX)$ . En efecto consideremos el diagrama inducido por los isomorfismos de Yoneda:

$$\begin{array}{ccccccc} 0 = \text{Hom}(T\tilde{t}_i, X) & \rightarrow & \text{Hom}(\tilde{t}', X) & \rightarrow & \bigoplus \text{Hom}(\tilde{t}_j, X) & \rightarrow & \text{Hom}(\tilde{t}_i, X) \\ & & \downarrow & & \downarrow \cong & & \downarrow ? \\ 0 & \rightarrow & \text{Hom}(c\tilde{t}', cX) & \rightarrow & \bigoplus \text{Hom}(c\tilde{t}_j, cX) & \rightarrow & \text{Hom}(c\tilde{t}_i, cX) \end{array}$$

En particular, para  $X = \tilde{t}_i$  o  $X = \tilde{t}'$ . Luego,

$\text{End } t' \cong \text{End } V$ . Así,  $t'$  es irreducible y  
 $\text{End } t' \cong \text{End } \tilde{V}$ . Claramente  $\text{Hom}(T^{-r}\tilde{e}_i, t'_j) = 0 = \text{Hom}(t'_j, T\tilde{e}_i)$ ,  
 luego también se tiene  $\text{Hom}(T^{-r}\tilde{e}_i, t') = 0$  para  $r \neq 0, i \neq i_0$ .  
 Considerase la sucesión exacta con  $r \neq 0$  y  $i \neq i_0$ :

$$\text{Hom}(\bigoplus T^j \tilde{e}_j, T^{-r}\tilde{e}_i) \cong \text{Hom}(T\tilde{e}_i, T^{-r}\tilde{e}_i) \rightarrow \text{Hom}(t', T^{-r}\tilde{e}_i) \rightarrow \text{Hom}(\bigoplus T^j \tilde{e}_j, T^{-r}\tilde{e}_i) = 0$$

con el morfismo  $\alpha = \text{Hom}([T_{U_p}], T^{-r}\tilde{e}_i) \cong \text{Hom}([C_{U_p}], C\tilde{e}_i)$  supra-  
 y activo. Luego,  $\text{Hom}(t', T^{-r}\tilde{e}_i) = 0$ .

En el caso  $i = i_0$  esta sucesión también muestra  
 que  $\text{Hom}(t', T^{-r}\tilde{e}_i) = 0$  si  $r \neq 1$  y  $\dim \text{Hom}(t', T\tilde{e}_i) = 1$ . Final-  
 mente la sucesión exacta

$$\bigoplus \text{Hom}(t', T^j \tilde{e}_j) \rightarrow \text{Hom}(t', t') \rightarrow \text{Hom}(t', T^{r+1}\tilde{e}_i),$$

muestra que  $\text{Hom}(t', T^r t') = 0$  si  $r \neq 0$ . Concluimos que  $\tilde{V}$  es  
 conjunto de títos.

b) Supongamos que  $\tilde{V}$  no es rebanada. Luego,  
 $z^{-1}\tilde{e}_i \in \langle \tilde{V} \rangle$  para alguna  $i$  y elegimos  $i_0$  tal que  $\tilde{e}_{i_0}$  sea  
 minimal en  $\tilde{V}$  con  $\tilde{e}_{i_0} \in \tilde{e}_i$  en  $\tilde{V}$ . Entonces  $z\tilde{e}_{i_0} \in \langle \tilde{V} \rangle - \{\tilde{e}_{i_0}\}$ .

Si hay un índice  $j \neq i_0$  tal que  $\text{Hom}(t', \tilde{e}_j) \neq 0$ , entonces  
 $t' \in \langle \tilde{V} \rangle - \{\tilde{e}_{i_0}\}$  y  $\langle \tilde{V}' \rangle \subset \langle \tilde{V} \rangle - \{\tilde{e}_{i_0}\}$  probando que  $c(\tilde{V}') \subset c(\tilde{V})$ .

Supongamos que  $\text{Hom}(t', \tilde{e}_j) = 0$  para todo  $j \neq i_0$ , entonces  
 $\langle \dim t', \dim \tilde{e}_j \rangle = 0 = \langle \dim \tilde{e}_j, \dim \tilde{e}_{i_0} \rangle = \langle \dim \tilde{e}_{i_0}, \dim z\tilde{e}_j \rangle =$

$$= -\langle \dim z^{-1}\tilde{e}_{i_0}, \dim \tilde{e}_j \rangle \text{ y } \langle \dim t', \dim \tilde{e}_{i_0} \rangle =$$

$= -\dim \text{Hom}(t', T\tilde{e}_{i_0}) = -1 = \langle \dim z^{-1}\tilde{e}_{i_0}, \dim \tilde{e}_{i_0} \rangle$ . Como  $\{\dim \tilde{e}_i\}$   
 es  $z$ -base de  $z^n$ , entonces  $\dim t' = \dim z^{-1}\tilde{e}_{i_0}$ . Esto es,  
 $t' = T^{-1}z^{-1}\tilde{e}_{i_0}$ .

Como  $\text{Hom}(\tilde{t}_i, \tilde{t}_j) \neq 0$ , entonces  $\text{Hom}(\tilde{t}_j, \tau T \tilde{t}_i) \cong$   
 $\cong D \text{Hom}(\tilde{t}_i, \tilde{t}_j) \neq 0$  por (3.8). Así,  $\tilde{t}_j$  está en la  
 envolvente conica  $\langle \tilde{t}_i, \tau T \tilde{t}_i \rangle$ . Similarmente,  $\tilde{t}'$  está  
 en  $\langle \tilde{t}_i, (\tau T)^2 \tilde{t}_i \rangle$  ya que  $\text{Hom}(\tilde{t}_j, \tilde{t}') \neq 0$ . Como  $\tilde{t}_i$  es  
 el único vértice de la forma  $T^{2r} \tilde{t}_i$  en  $\langle \tilde{t}_i, (\tau T)^2 \tilde{t}_i \rangle$ ,  
 se tiene  $\tilde{t}' = \tau^2 \tilde{t}_i$ . Luego  $\tilde{t}' \in \langle \tilde{t}_i \rangle = \tau^2 \tilde{t}_i$  y otra vez  
 $\langle \tilde{t}_i \rangle \subseteq \langle \tilde{t}' \rangle = \tau^2 \tilde{t}_i$ .

## BIBLIOGRAFIA

- [AH] ASSEM, I. and HAPPEL, D., Generalized tilted algebras of type  $A_n$ , *Comm. Algebra*, 9 (1981), 2101-2125
- [AB] AUSLANDER, M. and BRIDGER, M., *Stable Module Theory*, *Mem. Amer. Math. Soc.*, No. 94, Providence (1968)
- [AR] AUSLANDER, M. and REITEN, I., Representation theory of Artin Algebras III, VI, *Comm. Algebra* 3 (1975), 239-299, 5 (1977) 443-518.
- [APR] AUSLANDER, M., PLATZECK, M. I. and REITEN, I., Coxeter functors without diagrams, *Trans. Amer. Math. Soc.* 250 (1979), 1-46.
- [BLS] BAUTISTA, R., LARRIÓN, F. and SALMERÓN, L., On simply connected algebras, *J. London Math. Soc.*, Vol. 27, Part 2 (1983), 212-220
- [B1] BEILINSON, A. A., Cohariant sheaves on  $P^n$  and problems of linear algebra, *Func. Anal. and Appl.*, Vol. 12, No. 3, (1978) 214-216.
- [B2] BEILINSON, A. A., The derived category of Cohariant Sheaves on  $P^n$ , *Sov. Math. Surv.*, Vol. 3, No. 3, 1983/84, 233-237
- [BBD] BEILINSON, A. A., BERNSTEIN, J. and DELIGNE, P., *Faisceaux pervers*, *Astérisque* (100), 1982.

- [BGG] BERNSTEIN, I. N., GELFAND, I. M. and GELFAND, S. I., Algebraic bundles over  $P^n$  and problems of linear algebra, *Func. Anal. and Appl.*, Vol. 12, No. 3 212-214 (1978).
- [BGP] BERNSTEIN, I. N., GELFAND, I. M. and PONOMAREV, V. A., Coxeter functors and Gabriel's theorem, *Uspehi Mat. Nauk.* 28 (1973), translated in *Russian Math. Surveys* 28 (1973). 17-32.
- [Bo1] BONGARTZ, K., Tilted algebras, *Springer Lecture Notes* 903 (1980), 26-38.
- [Bo2] BONGARTZ, K., A criterion for finite representation type, *Math. Ann.* 269 (1984), 1-12.
- [BG] BONGARTZ, K. and GABRIEL, P., Covering spaces in representation theory, *Invent. Math.* 65 (1981), 331-378.
- [BB] BRENNER, S. and BUTLER, M. C. R., Generalization of the Bernstein-Gel'fand-Ponomarev reflection functors, *Springer Lecture Notes* 832 (1980), 103-169.
- [BrG] BRETSCHER, O. and GABRIEL, P., The standard form of a representation-finite algebra, *Bull. Soc. Math. France*, 111 (1983), 21-40.
- [DR] DLAB, V. and RINGEL, C. M., Indecomposable representations of graphs and algebras, *Mem. Amer. Math. Soc.*, No. 173, Providence (1973).

- [G1] GABRIEL, P., Unzerlegbare Darstellungen I, *Manuscripta Math.* 6 (1972), 71-102.
- [G2] GABRIEL, P. Auslander-Reiten sequencias and representation-finite algebras, *Springer Lecture Notes* 831 (1980), 1-71.
- [G3] GABRIEL, P. The universal cover of a representation-finite algebra, *Springer Lecture Notes* 903 (1981), 68-105.
- [Gr] GROTHENDIECK, A., Groupes des classes des catégories abéliennes et triangulées. Complexes parfait, in *SGA.5, Exposé VIII*, *Springer Lecture Notes* 589 (1977).
- [H] HAPPEL, D., On the derived category of a finite dimensional algebra, *Comment. Math. Helv.*, 62 (1987) 339-389.
- [H1] HAPPEL, D., Composition factors for indecomposables *Proc. Amer. Math. Soc.* 86 (1982), 29-31
- [H2] HAPPEL, D., Tilting sets on cylinders, *Proc. London Math. Soc.* (3) 51 (1985) 21-55.
- [H3] HAPPEL, D., Iterated tilted algebras of affine type, to appear *Comm. of Alg.*
- [H4] HAPPEL, D. Triangulated Categories in the Representation theory of finite Dimensional Algebras. *London Math. Soc. Lect. Notes* 119 (1988).
- [HR] HAPPEL, D. and RINGEL C.M. Tilted algebras, *Trans. Amer. Math. Soc.* 274(2), (1982) 399-443.
- [Ha] HARTSHORNE, R., Residues and Duality, *Springer Lecture Notes* 20 (1966).
- [He] HELLER, A., The loop-space functor in homological algebra. *Trans. Amer. Math. Soc.* 96 (1960) 382-394.
- [HS] HERLICH.

- [HW] HUGHES, D. and WASCHBÜSCH, J., Trivial extensions of tilted algebras, Proc. London Math. Soc. (3), 46 (1983), 347-364.
- [ML] Mac LANE, S., Categories for the working mathematician, Springer Verlag 1971.
- [Q] QUILLEN, D., Higher algebraic K-theory I, Springer Lecture Notes 341 (1973), 85-147
- [R] RIETDMANN, C., Algebren, Darstellungsköcher, Überlagerungen und zurück, Comm. Math. Helv. 55(1980), 199-224
- [Ri] RINGEL, C.M., Representations of K-species and bimodules, J. Algebra 41 (1976), 269-302.
- [Ri2] RINGEL, C.M., Finite dimensional hereditary algebras of wild representation type, Math. Z. 161 (1978), 235-255
- [Ri3] RINGEL, C.M., Report on the Brauer-Thrall Conjectures, Springer Lecture Notes 831 (1980), 104-136, and Tame algebras, same volume, 137-287.
- [Ri4] RINGEL, C.M., The rational invariants of the tame quivers, Invent. Math. 58 (1980), 217-239.
- [Ri5] RINGEL, C.M., Bricks in hereditary length categories, Resultata der Mathematik 6(1), (1983), 64-70.



- [Ri6] RINGEL, C.M., Tame algebras and integral quadratic forms, Springer Lecture Notes 1099 (1984).
- [Rt] ROTMAN J.J. An Introduction to homological algebra, Academic Press (1979).
- [TW] TACHIKAWA, H. and WAKAMATSU, T., Applications of reflection functors for selfinjective algebras, Proc. ICRA. IX, Carlton Lecture Notes 1984.
- [V] VERDIER, J.L., Catégories dérivées,  $dtat 0$ , Springer Lecture Notes 569 (1977), 262-311.